



FOLIA
Amazónica

Revista del Instituto de Investigaciones
de la Amazonía Peruana

CAPACIDAD ANTIOXIDANTE, FENOLES TOTALES Y POTENCIAL DE INHIBICIÓN ENZIMÁTICA DE PLANTAS AMAZÓNICAS: BANCO DE EXTRACTOS PARA FUTURAS APLICACIONES

Gabriel VARGAS-ARANA^{1,2*}, Claudia MERINO-ZEGARRA¹, Pedro PÉREZ-PEÑA¹, Ricardo ZÁRATE-GÓMEZ³, Mario J. SIMIRGIOTIS⁴

¹ Laboratorio de Química de Productos Naturales, Instituto de Investigaciones de la Amazonía Peruana. Av. Abelardo Quiñones km 2.5. Iquitos, Perú.

² Facultad de Industrias Alimentarias, Universidad Nacional de la Amazonía Peruana, Iquitos, Perú.

³ Dirección de Investigación en Sociedades Amazónicas (SOCIODIVERSIDAD), Instituto de Investigaciones de la Amazonía Peruana. Av. Abelardo Quiñones km 2.5. Iquitos, Perú.

⁴ Instituto de Farmacia, Facultad de Ciencias, Universidad Austral de Chile, Valdivia, Chile.

* Correo electrónico: gvargas@iiap.gob.pe

RESUMEN

La Amazonía peruana, uno de los ecosistemas más biodiversos del planeta, alberga numerosas especies vegetales aún poco estudiadas respecto a su potencial funcional. En el presente estudio se evaluó el contenido de fenoles totales, por el método de Folin-Ciocalteu, la capacidad antioxidante, mediante los ensayos de DPPH, ABTS y FRAP, y el potencial inhibidor frente a la α -glucosidasa y α -amilasa, enzimas relacionadas con la diabetes, de 428 extractos hidroalcohólicos preparados a partir de las hojas y corteza de 214 especies de plantas amazónicas, con el fin de identificar especies promisorias para su aprovechamiento farmacológico. Los extractos mostraron amplias variaciones en el contenido fenólico (18.47–507.53 mg GAE/g) y actividad antioxidante, DPPH (3.93-90.63 %), ABTS (2.10-91.51 %), Valor FRAP (0.01-1.61 %), y una buena inhibición enzimática a concentraciones bajas, con valores superiores al patrón de referencia. El análisis de componentes principales (ACP) identificó 28 extractos, pertenecientes a 25 especies de plantas, con alto potencial antioxidante y significativa inhibición enzimática en conjunto. De este grupo, las especies *Eugenia patrisii* y *Spondias mombin*, fueron las más destacadas. Estos resultados aportan evidencia científica para su potencial aplicación en

el desarrollo de productos con propiedades antidiabéticas y antioxidantes, contribuyendo al aprovechamiento sostenible de la biodiversidad amazónica.

PALABRAS CLAVE: Fenoles totales, antioxidantes, inhibición enzimática, biodiversidad, plantas amazónicas.

ANTIOXIDANT CAPACITY, TOTAL PHENOL AND ENZYMATIC INHIBITION POTENTIAL OF AMAZONIAN PLANTS: BANK OF EXTRACTS FOR FUTURE APPLICATIONS

ABSTRACT

The Peruvian Amazon, one of the most biodiverse ecosystems on the planet, is home to numerous plant species whose functional potential has yet to be fully studied. In the present study, the total phenol content was evaluated by the Folin-Ciocalteu method, the antioxidant capacity by the DPPH, ABTS and FRAP assays, and the inhibitory potential against α -glucosidase and α -amylase, enzymes related to diabetes, of 428 hydroalcoholic extracts prepared from leaves and bark of 214 species of Amazonian plants, in order to identify promising species for pharmacological use. The extracts showed wide variations in phenolic content (18.47–507.53 mg GAE/g) and antioxidant activity, DPPH (3.93–90.63%), ABTS (2.10–91.51%), FRAP value (0.01–1.61%), and good enzyme inhibition at low concentrations, with higher values than the reference standard. Principal component analysis (PCA) identified 28 extracts from 25 plant species with high antioxidant potential and significant overall enzyme inhibition. Of this group, the species *Eugenia patrisii* and *Spondias mombin* were the most notable. These results provide scientific evidence for their potential application in the development of products with antidiabetic and antioxidant properties, contributing to the sustainable use of Amazonian biodiversity.

KEYWORDS: Total phenols, antioxidants, enzyme inhibition, biodiversity, Amazonian plants.

INTRODUCCIÓN

El aumento de las enfermedades metabólicas en las últimas dos décadas se ha convertido en un importante problema de salud pública a nivel mundial (Chew *et al.*, 2023). Entre ellas destaca la diabetes, una enfermedad crónica que se caracteriza por niveles elevados de glucosa en la sangre y que puede provocar complicaciones cardiovasculares, renales, neurológicas y visuales. Actualmente, más de 580 millones de personas en el mundo viven con esta enfermedad, y se estima que para el año 2050 la cifra superará los 850 millones. La diabetes representa además un enorme impacto económico, con un costo global que supera el trillón de dólares anuales en gastos de salud, y causa más de 3.4 millones de muertes cada año (International Diabetes Federation, 2025). Asimismo, los tratamientos convencionales para reducir la hiperglucemia presentan efectos secundarios, lo que ha impulsado la búsqueda de nuevas alternativas de origen vegetal (Willcox *et al.*, 2021).

Una de las estrategias más prometedoras para el control de la diabetes consiste en inhibir las enzimas responsables de la hidrólisis de los carbohidratos, con el fin de retrasar la absorción de glucosa. Además, el uso de compuestos con actividad antioxidante puede ayudar a contrarrestar el estrés oxidativo asociado a esta enfermedad. En este sentido, las sustancias que combinan la capacidad de inhibir dichas enzimas con un potencial antioxidante representan una alternativa prometedora para el tratamiento de la diabetes (Indrianingsih *et al.*, 2015; Kashtoh & Baek, 2023; Liu *et al.*, 2014).

Por otra parte, los compuestos fenólicos, presentes en numerosas especies vegetales, son metabolitos secundarios con un notable potencial en la prevención y manejo de la diabetes, gracias a sus propiedades antioxidantes y su capacidad para modular el metabolismo de la glucosa (Rana *et al.*, 2022; Salau *et al.*, 2020). Estos compuestos

pueden mejorar la sensibilidad a la insulina e inhibir enzimas digestivas como la α -glucosidasa y la α -amilasa, responsables de la descomposición de los carbohidratos en el intestino, lo que reduce la absorción de glucosa y atenúa la respuesta glucémica postprandial (Aryal *et al.*, 2024).

La Amazonía peruana, considerada uno de los ecosistemas más biodiversos del planeta, alberga más de 10,000 especies de plantas. Dentro de esta extraordinaria riqueza vegetal se han identificado numerosas especies que contienen compuestos bioactivos, entre ellos los compuestos fenólicos, ampliamente reconocidos por su capacidad para neutralizar radicales libres y proteger frente al daño oxidativo en sistemas biológicos (Castro *et al.*, 2018; Tauchen *et al.*, 2016).

No obstante, gran parte del potencial funcional de las plantas amazónicas sigue siendo poco explorado, especialmente en lo que respecta a su composición química y sus actividades biológicas, lo que limita su valorización científica y su aprovechamiento comercial (Pico-Poma *et al.*, 2024).

Durante la última década, diversos estudios sobre especies vegetales amazónicas han reportado concentraciones significativas de compuestos fenólicos y una alta correlación positiva entre estos y la actividad antioxidante, así como efectos beneficiosos en la prevención o tratamiento de la diabetes. Estos hallazgos subrayan la importancia de continuar investigando las plantas amazónicas con el fin de desarrollar productos fitoterapéuticos y nutracéuticos seguros y eficaces frente a enfermedades relacionadas con el estrés oxidativo (Rojas-Ocampo *et al.*, 2021; Tauchen *et al.*, 2016; Vargas-Arana *et al.*, 2023).

En este contexto, las plantas de la Amazonía se perfilan como candidatas prometedoras para la búsqueda de antioxidantes naturales y como fuente de compuestos bioactivos con aplicaciones potenciales en los campos nutracéutico, cosmético y farmacológico (Burlando & Cornara, 2017; Rodríguez-Cortina & Hernández-Carrión,

2025). Sin embargo, es necesario profundizar en la caracterización cuantitativa de su contenido fenólico y en la evaluación de su capacidad inhibitoria enzimática y actividad antioxidante mediante métodos validados.

Por lo tanto, el presente estudio tiene como objetivo evaluar el contenido de fenoles totales, la actividad antioxidante y el potencial de inhibición frente a las enzimas α -glucosidasa y α -amilasa en 428 extractos hidroalcohólicos obtenidos de hojas y cortezas de 214 especies de plantas nativas de la Amazonía peruana. Con esta investigación se busca identificar candidatos con potencial para aplicaciones nutraceuticas, farmacológicas o alimentarias, contribuyendo así al conocimiento científico sobre la biodiversidad amazónica y al aprovechamiento sostenible de sus recursos vegetales.

MATERIALES Y MÉTODOS

COLECTA E IDENTIFICACIÓN BOTÁNICA

Las 428 muestras botánicas, hojas y corteza de 214 especies de plantas (137 géneros y 55 familias) (Tabla S1) fueron colectadas de agosto a diciembre del 2024 en la estación biológica José Álvarez Alonso, que se ubica dentro de la Reserva Nacional Allpahuayo Mishana, distrito de San Juan Bautista, provincia de Maynas, región Loreto, Perú (Figura 1), aproximadamente a 30 km de la ciudad de Iquitos. Las muestras de plantas fueron herborizadas (colecta, registro de datos, preservación, presando y secado) de acuerdo al procedimiento indicado por Sánchez-González (2007) y Judd *et al.*, (1999). Las especies fueron identificadas siguiendo las claves taxonómicas de bibliografía especializada (Spichiger *et al.*, (1990), Pennington, (1990), Gentry, (1993), Maas & Chatrou (1996), Ribeiro, (1999), Vásquez & Lleras (1997), Vásquez Martínez & Rojas Gonzáles (2004), Maas *et al.*, (2007), Werff,

(2008), Díaz (2013) y Gomez *et al.*, (2015)), y comparados con los especímenes e información de varios herbarios disponibles en línea (Plants of the World Online (<https://powo.science.kew.org/>), Species Link (<https://specieslink.net/search/>), Field Museum of Chicago (<https://plantidtools.fieldmuseum.org/en/rrc>) y Missouri Botanical Garden (<https://www.tropicos.org/>)). Y los ejemplares de referencia fueron depositados en el Herbario Herrense (HH) del Instituto de Investigaciones de la Amazonía Peruana.

PREPARACIÓN DE LOS EXTRACTOS

Las muestras vegetales fueron lavadas con agua para remover la suciedad y otras impurezas. Posteriormente, se cortaron en trozos pequeños y colocaron en un horno de aire caliente a 40°C durante 72 h. Las muestras secas se molieron con un molino eléctrico para obtener en forma de polvo. La extracción se realizó según Sagar & Pareek (2020), con algunas modificaciones menores. Se mezcló 10 g de muestra seca y molida con 100 mL de etanol:agua 1:1 v/v. Las muestras fueron sonicadas a una frecuencia de 37 kHz por 30 minutos a temperatura ambiente, luego se agitaron en vórtex durante 5 minutos. Seguidamente se centrifugó durante 10 minutos a 5000 rpm y 5°C utilizando una centrífuga refrigerada. A continuación, los sobrenadantes se recogieron y filtraron, se eliminó el etanol a presión reducida a 40°C, y el agua restante se liofilizó (-55°C, 0.021 mbar, 72 h). Los extractos hidroalcohólicos se conservaron a -20°C hasta su uso posterior.

CONTENIDO DE FENOLES TOTALES (TPC)

Se realizó utilizando el reactivo Folin-Ciocalteu, siguiendo el método descrito por Salih *et al.* (2021), con algunas modificaciones. Un volumen de 50 μ L del extracto a una concentración de 2 mg/mL se mezcló con 50 μ L del

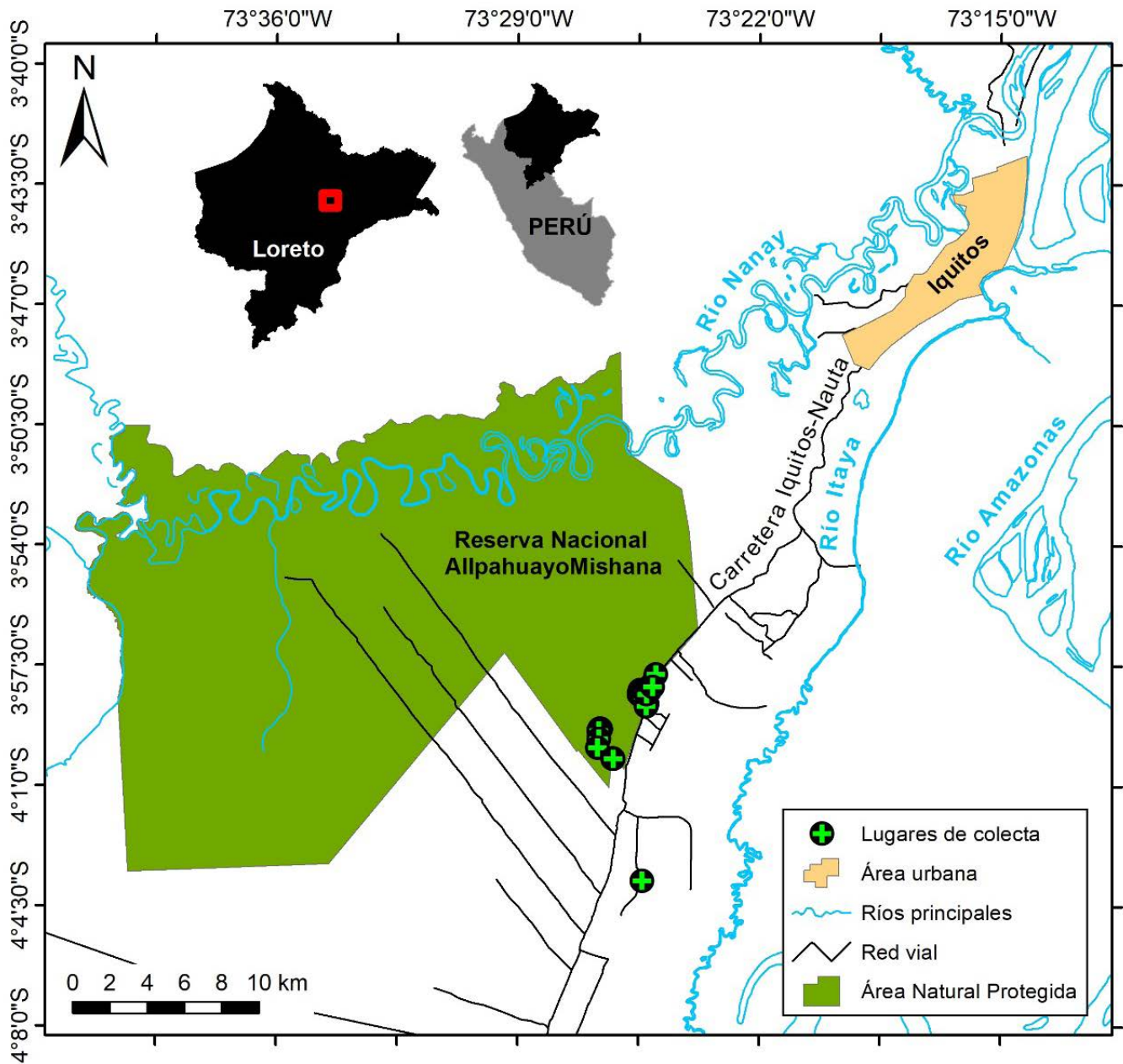


Figura 1. Puntos de colecta de las plantas amazónicas en la Reserva Nacional Allpahuayo Mishana, Loreto, Perú.

reactivo Folin-Ciocalteu y 1.5 mL de agua destilada; se agitó la mezcla y se dejó en reposo por 3 min. A continuación, se neutralizó con 50 μ L de solución de carbonato sódico (20%). La mezcla de reacción se incubó a una temperatura de 40°C durante 20 min. La absorbancia del color azul resultante se midió a 765 nm, utilizando un lector de microplaca (INNO-S). El contenido fenólico

total se estimó a partir de la ecuación lineal de una curva estándar preparada con ácido gálico a diferentes concentraciones (140, 280, 560, 840 y 1120 μ g/mL) ($y = 0.0016x - 0.0421$; $R^2 = 0.9985$). El contenido de compuestos fenólicos totales se expresó como mg de equivalente de ácido gálico GAE/g de extracto.

ACTIVIDAD ANTIOXIDANTE

Ensayo DPPH (2,2-difenil-1-picrilhidrazilo)

Se utilizó el método desarrollado por Sharma & Bhat (2009), con algunas modificaciones. Un volumen de 100 µL de extracto a una concentración de 200 µg/mL en metanol al 80%, se mezcló con 900 µL de metanol y 1 mL del radical DPPH (200 µM), la mezcla se homogeneizó y se dejó reposar en la oscuridad por 30 minutos a 25°C, luego se midió la absorbancia a 515 nm en un lector de microplaca (INNO-S). El % de inhibición del radical DPPH se calculó mediante la siguiente ecuación, donde; A_m es la absorbancia de la muestra, A_c la absorbancia del control (DPPH 200 µM (1 mL) + metanol (1mL)) y A_b es la absorbancia del blanco (metanol).

$$\% \text{Inhibición} = 100 - [(A_m - A_b) \times 100 / A_c]$$

Ensayo ABTS

El ensayo ABTS se realizó según el método de Re *et al.* (1999), se preparó un buffer PBS 0.01 M (pH 7.4) disolviendo 4.0 g de NaCl, 0.1 g de KCl, 0.72 g de $\text{Na}_2\text{HPO}_4 \cdot 7\text{H}_2\text{O}$ y 0.12 g de K_2HPO_4 en 400 mL de agua ultrapura. Se ajusta el pH a 7.4 y luego se completa el volumen a 500 mL con agua ultrapura. En paralelo, se prepara la solución madre de ABTS (7 mM) con persulfato de potasio (2.45 mM) en 10 mL de agua ultrapura, dejándola reposar 16 horas a 25°C en oscuridad. Luego, se prepara la solución final, ABTS (2 mL) + Buffer (PBS 0.01 M, 200 mL). Seguidamente, 20 µL del extracto, a una concentración de 200 µg/mL diluido en metanol al 80%, se mezcló con 1980 µL de la solución ABTS (7 mM) + Buffer (PBS 0.01 M), se homogeneizó y dejó reaccionar en oscuridad durante 7 min y luego se midió la absorbancia a 734 nm en un lector de microplacas INNO-S. Para calcular el % inhibición se aplica la siguiente ecuación donde A_m es la absorbancia

de la muestra, A_c es la absorbancia del control (2000 µL ABTS+Buffer) y A_b es la absorbancia del blanco (20 µL MeOH 80% + 1980 µL Buffer).

$$\% \text{Inhibición} = 100 - [(A_m - A_b) \times 100 / A_c]$$

Ensayo de poder reductor antioxidante reductor férrico (FRAP)

El ensayo FRAP se realizó según el método de Youn *et al.* (2019). El reactivo FRAP se preparó añadiendo tampón de acetato de sodio 300 mM (pH 3.6, 50 mL) a una solución de TPTZ 10 mM en ácido clorhídrico 40 mM (5 mL) y cloruro de hierro (III) 20 mM (5 mL). Veinte (20) µL del extracto, a una concentración de 200 µg/mL, se mezcló con 150 µL del reactivo FRAP. La absorbancia se determinó inmediatamente a 593 nm en un espectrofotómetro de microplacas INNO-S. El valor de FRAP se registró con la siguiente ecuación. A_c es la absorbancia del control positivo, reaccionado con ácido ascórbico (20 µL) a la misma concentración del extracto y el reactivo FRAP (150 µL). A_m es la absorbancia de la muestra. A_b es la absorbancia del blanco, que contiene agua destilada (20 µL) y reactivo FRAP (150 µL).

$$\text{FRAP valor (\%)} = [(A_m - A_b) / (A_c - A_b)] \times 2$$

POTENCIAL DE INHIBICIÓN ENZIMÁTICA

Ensayo de inhibición de la α-glucosidasa

Se realizó según el método de Vargas-Arana *et al.* (2025), con algunas modificaciones. Un volumen de 100 µL del extracto a una concentración de 50 µg/mL se combinaron con 600 µL de un tampón de fosfato de sodio (100 mM, pH 6.9) y 250 µL p-nitrofenil-α-D-glucopiranosido (p-NPG, 5 mM), se dejó incubar a 37°C por 5 min. Seguidamente se agregaron 50 µL de la enzima α-glucosidasa 0.5 U/mL, y se dejó incubar a 37°C

durante 15 min. Inmediatamente después se agregaron 1000 µL de una solución de Na₂CO₃ (200 mM) para parar la reacción. Se midió la absorbancia a 400 nm con un lector de microplacas (BioTek Instrument, Inc., Winooski, VT, EE. UU.). El % de inhibición se calculó con la siguiente fórmula:

$$\% \text{ Inhibición} = \frac{((A_c - A_b) - (A_m - A_b))}{(A_c - A_b)} \times 100$$

Donde:

A_c: Absorbancia del control, A_b: Absorbancia del blanco y A_m: Absorbancia de la muestra.

Ensayo de inhibición de la α-amilasa

Se realizó según el método de López-Martínez *et al.* (2014), con algunas modificaciones. Un volumen de 100 µL de extracto a una concentración de 30 µg/mL (diluida en un tampón de fosfato de sodio salino 20 mM, pH 6.9) se le mezcló con 100 µL de la enzima α-amilasa, diluida en el tampón de fosfato de sodio, y se incubó 10 min a 25°C. Seguidamente se agregaron 100 µL de sustrato de almidón al 0.5% y se incubó 10 min a 25°C. Posteriormente, se añadieron 200 µL de solución de reactivo DNS (ácido 3,5-dinitrosalicílico, 96 mM, NaK). La nueva mezcla se llevó a un baño de agua hirviendo aproximadamente 94°C durante 5 min, luego se dejó enfriar. Posteriormente, se añadieron 550 µL de agua desionizada y se midió la absorbancia a 540 nm con un lector de microplacas (BioTek Instrument, Inc., Winooski, VT, EE. UU.). El % de inhibición se calculó con la siguiente fórmula:

$$\% \text{ Inhibición} = \frac{((A_c - A_b) - (A_m - A_b))}{(A_c - A_b)} \times 100$$

Donde:

A_c: Absorbancia del control, A_b: Absorbancia del blanco y A_m: Absorbancia de la muestra.

ANÁLISIS ESTADÍSTICO

Todos los experimentos fueron realizados por triplicado y los resultados se expresaron

como promedio ± DE (desviación estándar). Los análisis de las relaciones entre la capacidad antioxidante y la inhibición enzimática de los extractos vegetales, fueron realizados con el Análisis de Componentes Principales (ACP) basado en una matriz de correlación. Este enfoque multivariado permitió integrar los resultados de los ensayos de DPPH, ABTS, FRAP, TPC, α-glucosidasa y α-amilasa, y visualizar los patrones de variación conjunta entre las variables. Estos análisis se realizaron utilizando el software Community Analysis Package (CAP) 4.0.

Para la correlación múltiple entre todas las variables, debido a que las mismas no presentaron una distribución normal, según las pruebas de normalidad realizadas, se utilizó la prueba de correlación de Spearman, realizada con el software SigmaPlot 14.0. Este coeficiente no paramétrico permitió estimar la fuerza y dirección de las relaciones entre las variables, garantizando una interpretación robusta y confiable de las asociaciones.

RESULTADOS Y DISCUSIÓN

CONTENIDO DE FENOLES TOTALES Y ACTIVIDAD ANTIOXIDANTE

En la Tabla 1 se muestra el contenido de fenoles totales (TPC) y la actividad antioxidante de 428 extractos hidroalcohólicos preparados a partir de las hojas y corteza de 214 muestras de especies de plantas Amazónicas. En el contenido de fenoles totales, los extractos hidroalcohólicos mostraron valores en un amplio rango desde 18.47 hasta 507.53 mg de GAE/g de extracto. La corteza de *Dacryodes cuspidata* (170C) fue la que presentó el valor más alto, seguido de las cortezas de *Rinorea guianensis* (46C) y *Protium stevensonii* (161C), con 498.68 y 485.03 mg GAE/g de extracto, respectivamente. La corteza de *Leonia glycyarpa* (71C) fue la que mostró el

Tabla 1. Rendimiento, contenido de fenoles totales, actividad antioxidante y anti-enzimática de 428 extractos hidroalcohólicos de plantas amazónicas.

Plantas	Código	% Rendimiento	TPC mg GAE/g	% Inhibición		Valor Frap (%)	% Inhibición	
				DPPH	ABTS		α-glucosidasa	α-amilasa
<i>Duguetia spixiana</i>	1H	7.85	138.47 ± 3.26	44.12 ± 1.93	35.16 ± 0.34	0.41 ± 0.02	61.95 ± 0.29	-2.56 ± 0.03
	1C	3.96	202.01 ± 2.60	53.27 ± 1.46	39.88 ± 0.36	0.53 ± 0.01	22.29 ± 0.62	-3.42 ± 0.04
<i>Micropholis egensis</i>	2H	18.41	167.64 ± 2.55	41.05 ± 1.85	35.97 ± 0.77	0.39 ± 0.02	28.89 ± 0.18	-13.03 ± 0.62
	2C	11.48	160.55 ± 3.16	37.52 ± 1.24	37.37 ± 0.71	0.41 ± 0.01	13.18 ± 0.45	-23.51 ± 0.86
<i>Minquartia guianensis</i>	3H	13.78	264.41 ± 2.48	69.72 ± 2.71	43.50 ± 0.97	0.70 ± 0.03	20.43 ± 0.49	-29.94 ± 1.32
	3C	12.85	192.64 ± 1.18	65.17 ± 3.06	40.25 ± 0.98	0.60 ± 0.02	29.20 ± 0.51	-14.23 ± 0.40
<i>Virola decorticans</i>	4H	12.19	148.78 ± 0.31	43.33 ± 0.51	32.06 ± 0.32	0.37 ± 0.01	41.08 ± 0.12	-26.87 ± 1.23
	4C	14.42	152.11 ± 0.90	41.35 ± 1.35	32.13 ± 1.05	0.40 ± 0.01	37.76 ± 0.22	-70.53 ± 1.31
<i>Rinorea guianensis</i>	5H	11.16	39.72 ± 0.54	17.38 ± 0.76	13.19 ± 0.43	0.06 ± 0.00	32.87 ± 0.19	-25.73 ± 0.90
	5C	6.35	31.80 ± 1.00	10.30 ± 0.21	13.25 ± 0.21	0.04 ± 0.00	-2.58 ± 0.12	-75.76 ± 2.49
<i>Otoba parvifolia</i>	6H	15.03	179.93 ± 1.18	42.67 ± 1.63	32.53 ± 1.23	0.51 ± 0.01	45.28 ± 0.29	-9.28 ± 0.42
	6C	14.52	202.43 ± 1.41	44.58 ± 2.00	32.32 ± 0.44	0.58 ± 0.01	10.81 ± 0.55	-4.95 ± 0.23
<i>Tachigali paniculata</i>	7H	10.69	145.55 ± 0.65	39.86 ± 1.72	30.68 ± 0.64	0.51 ± 0.02	15.07 ± 0.65	-11.1 ± 0.40
	7C	17.66	238.26 ± 3.13	63.41 ± 1.89	43.47 ± 0.74	0.78 ± 0.03	45.84 ± 0.57	-7.80 ± 0.29
<i>Ophiocaryon heterophyllum</i>	8H	4.71	198.57 ± 0.79	55.85 ± 2.77	40.59 ± 0.12	0.56 ± 0.01	40.47 ± 0.11	-40.82 ± 2.00
	8C	8.92	111.39 ± 1.78	27.18 ± 1.00	34.80 ± 1.15	0.28 ± 0.01	18.84 ± 0.73	-14.97 ± 0.71
<i>Eschweilera coriácea</i>	9H	18.06	345.34 ± 4.60	80.45 ± 3.13	60.67 ± 0.73	1.06 ± 0.04	15.20 ± 0.67	-41.89 ± 0.76
	9C	13.19	239.41 ± 1.36	50.11 ± 0.56	48.12 ± 0.64	0.73 ± 0.03	64.71 ± 0.08	-5.29 ± 0.20
<i>Rinorea lindeniana</i>	10H	18.39	182.01 ± 1.00	48.16 ± 1.35	31.24 ± 1.39	0.54 ± 0.02	30.56 ± 0.26	-24.01 ± 1.14
	10C	12.79	222.64 ± 1.48	46.93 ± 1.57	40.91 ± 1.68	0.67 ± 0.03	12.97 ± 0.27	-64.43 ± 1.82
<i>Tetrathylacium macrophyllum</i>	11H	16.27	76.59 ± 0.83	5.40 ± 0.10	15.82 ± 0.54	0.11 ± 0.00	6.72 ± 0.31	-75.37 ± 2.26
	11C	11.43	46.39 ± 0.48	3.93 ± 0.10	13.8 ± 0.22	0.06 ± 0.00	-1.65 ± 0.08	-76.66 ± 3.22
<i>Theobroma obovatum</i>	12H	14.17	200.34 ± 1.74	46.71 ± 1.28	42.92 ± 0.65	0.59 ± 0.02	48.28 ± 0.44	-59.37 ± 2.19
	12C	12.22	235.97 ± 1.13	44.4 ± 1.58	44.57 ± 1.63	0.70 ± 0.01	24.76 ± 0.87	-59.82 ± 1.26
<i>Vatairea erythrocarpa</i>	13H	18.19	98.47 ± 0.84	28.79 ± 1.06	38.01 ± 0.21	0.18 ± 0.00	24.95 ± 0.75	-14.18 ± 0.63
	13C	9.37	155.34 ± 4.33	12.04 ± 0.51	33.38 ± 0.56	0.44 ± 0.02	25.96 ± 0.69	-38.66 ± 1.79
<i>Virola duckei</i>	14H	20.91	220.45 ± 1.18	55.63 ± 1.64	38.5 ± 0.97	0.59 ± 0.01	43.87 ± 0.69	-98.53 ± 1.64
	14C	13.98	134.51 ± 0.65	26.56 ± 0.80	32.12 ± 0.42	0.34 ± 0.01	25.51 ± 0.87	-64.55 ± 1.09
<i>Guarea guentheri</i>	15H	14.33	41.59 ± 0.63	5.21 ± 0.19	14.03 ± 0.21	0.07 ± 0.00	-2.74 ± 0.12	-29.77 ± 0.69
	15C	8.09	31.39 ± 0.65	7.06 ± 0.24	12.06 ± 0.49	0.03 ± 0.00	-5.32 ± 0.18	-83.96 ± 1.55
<i>Warszewiczia coccinea</i>	16H	12.97	141.91 ± 1.62	36.68 ± 2.14	46.91 ± 0.42	0.35 ± 0.00	29.48 ± 0.14	2.34 ± 0.08
	16C	10.33	118.36 ± 0.18	22.08 ± 0.89	27.27 ± 0.79	0.33 ± 0.02	3.53 ± 0.12	-22.21 ± 0.83
<i>Otoba glycyarpa</i>	17H	15.02	214.30 ± 1.00	65.25 ± 2.25	54.06 ± 0.24	0.60 ± 0.00	43.06 ± 0.49	-24.59 ± 0.71
	17C	12.26	177.11 ± 0.48	64.24 ± 1.91	43.51 ± 0.48	0.44 ± 0.00	17.81 ± 0.71	-25.03 ± 0.73

Tabla 1. Continúa.

Plantas	Código	% Rendimiento	TPC mg GAE/g	% Inhibición		Valor Frap (%)	% Inhibición	
				DPPH	ABTS		α-glucosidasa	α-amilasa
<i>Ampelocera edéntula</i>	18H	16.19	57.95 ± 0.65	56.23 ± 0.28	21.86 ± 0.64	0.11 ± 0.00	-6.36 ± 0.30	-23.67 ± 1.17
	18C	15.64	49.09 ± 0.31	9.64 ± 0.41	19.08 ± 0.94	0.10 ± 0.00	3.04 ± 0.14	-13.44 ± 0.67
<i>Virola flexuosa</i>	19H	16.00	139.61 ± 2.62	53.99 ± 0.96	32.97 ± 1.52	0.37 ± 0.01	12.86 ± 0.61	-9.52 ± 0.37
	19C	12.76	128.47 ± 1.95	34.00 ± 1.66	27.10 ± 0.58	0.35 ± 0.00	5.84 ± 0.24	-13.84 ± 0.68
<i>Virola pavonis</i>	20H	18.68	215.55 ± 2.22	56.23 ± 2.02	48.97 ± 0.44	0.75 ± 0.02	13.23 ± 0.64	-1.59 ± 0.00
	20C	14.48	155.76 ± 1.78	40.49 ± 0.15	35.39 ± 0.13	0.48 ± 0.01	10.96 ± 0.47	-26.35 ± 1.16
<i>Duguetia spixiana</i>	21H	10.91	189.93 ± 2.22	27.52 ± 1.43	37.00 ± 0.46	0.50 ± 0.02	-1.61 ± 0.05	-9.17 ± 0.37
	21C	9.46	113.16 ± 2.19	45.54 ± 0.52	33.19 ± 0.46	0.27 ± 0.01	0.30 ± 0.01	-13.31 ± 0.60
<i>Trichilia poeppigii</i>	22H	14.45	248.36 ± 0.79	60.42 ± 1.18	40.16 ± 0.76	0.78 ± 0.03	42.73 ± 0.38	-18.69 ± 0.79
	22C	26.64	438.36 ± 0.95	89.15 ± 0.53	79.13 ± 0.81	1.58 ± 0.05	79.30 ± 0.09	-9.56 ± 0.45
<i>Guarea purusana</i>	23H	11.83	170.03 ± 2.25	51.10 ± 0.92	38.04 ± 0.69	0.45 ± 0.01	32.25 ± 0.37	-14.46 ± 0.35
	23C	10.08	111.18 ± 0.65	32.31 ± 1.27	26.81 ± 1.04	0.25 ± 0.01	27.76 ± 1.11	-17.32 ± 0.59
<i>Sterculia pruriens</i>	24H	12.12	173.36 ± 1.00	46.95 ± 1.42	45.79 ± 0.35	0.41 ± 0.01	14.19 ± 0.52	-5.73 ± 0.08
	24C	8.20	117.74 ± 0.65	31.04 ± 1.21	22.76 ± 0.46	0.26 ± 0.01	14.65 ± 0.66	3.04 ± 0.13
<i>Tetrastylidium peruvianum</i>	25H	26.11	328.26 ± 0.48	77.67 ± 0.58	51.72 ± 1.64	0.89 ± 0.02	51.20 ± 0.32	-12.83 ± 0.63
	25C	9.02	279.20 ± 1.78	76.04 ± 0.45	50.67 ± 0.44	0.79 ± 0.04	58.33 ± 0.17	0.53 ± 0.00
<i>Cassipourea peruviana</i>	26H	26.33	125.66 ± 1.74	33.58 ± 0.32	40.32 ± 0.53	0.20 ± 0.01	13.43 ± 0.58	-7.98 ± 0.20
	26C	8.48	135.34 ± 1.36	35.46 ± 1.74	35.54 ± 1.18	0.27 ± 0.01	9.53 ± 0.20	-79.64 ± 1.13
<i>Siparuna decipiens</i>	27H	8.44	75.03 ± 2.44	25.58 ± 1.07	24.84 ± 0.98	0.27 ± 0.01	5.28 ± 0.15	0.66 ± 0.00
	27C	3.65	50.76 ± 1.54	16.79 ± 0.59	15.31 ± 0.70	0.16 ± 0.00	-11.59 ± 0.54	-12.82 ± 0.59
<i>Protium nodulosum</i>	28H	10.47	178.68 ± 0.79	56.99 ± 2.12	42.06 ± 1.01	0.49 ± 0.00	13.85 ± 0.31	-49.45 ± 0.64
	28C	6.78	187.64 ± 1.00	54.68 ± 0.33	41.11 ± 1.12	0.48 ± 0.01	28.62 ± 0.47	-13.13 ± 0.41
<i>Meliosma herbertii</i>	29H	12.94	230.24 ± 1.00	70.41 ± 1.80	49.42 ± 0.46	0.56 ± 0.02	28.92 ± 0.67	-9.56 ± 0.42
	29C	4.14	107.53 ± 1.51	31.08 ± 0.88	25.00 ± 1.03	0.26 ± 0.01	36.02 ± 0.30	-2.47 ± 0.10
<i>Licania micrantha</i>	30H	12.78	187.01 ± 0.95	58.99 ± 2.83	38.27 ± 0.70	0.44 ± 0.01	21.44 ± 0.49	-5.56 ± 0.25
	30C	6.69	235.76 ± 7.99	80.87 ± 0.50	50.29 ± 0.50	0.65 ± 0.00	34.37 ± 0.39	-13.3 ± 0.62
<i>Pseudolmedia laevis</i>	31H	8.36	166.07 ± 2.69	46.33 ± 1.03	37.29 ± 0.75	0.48 ± 0.02	44.39 ± 0.18	-2.79 ± 0.13
	31C	5.56	254.61 ± 1.41	76.53 ± 0.54	50.11 ± 1.11	0.78 ± 0.02	23.69 ± 0.27	-1.50 ± 0.07
<i>Perebea xanthochyma</i>	32H	8.32	158.47 ± 1.65	52.54 ± 1.52	34.24 ± 1.11	0.43 ± 0.02	16.59 ± 0.25	-3.92 ± 0.12
	32C	7.29	180.86 ± 1.30	51.73 ± 1.46	44.28 ± 0.89	0.50 ± 0.02	34.48 ± 0.17	-1.45 ± 0.07
<i>Eugenia discreta</i>	33H	13.02	234.20 ± 1.72	66.48 ± 3.58	46.49 ± 0.92	0.74 ± 0.03	43.84 ± 0.04	5.71 ± 0.25
	33C	27.23	294.30 ± 1.57	66.36 ± 1.42	52.84 ± 0.22	0.98 ± 0.02	22.69 ± 0.45	0.34 ± 0.01
<i>Strychnos schunkei</i>	34H	18.17	81.80 ± 1.26	7.61 ± 0.27	17.71 ± 0.71	0.15 ± 0.01	-13.26 ± 0.23	-14.08 ± 0.45
	34C	10.41	69.09 ± 1.65	14.26 ± 0.35	15.91 ± 0.35	0.15 ± 0.00	-7.56 ± 0.23	-15.87 ± 0.74

Tabla 1. Continúa.

Plantas	Código	% Rendimiento	TPC mg GAE/g	% Inhibición		Valor Frap (%)	% Inhibición	
				DPPH	ABTS		α -glucosidasa	α -amilasa
<i>Hebepetalum humiriifolium</i>	35H	13.18	66.28 \pm 0.63	11.42 \pm 0.42	20.59 \pm 0.73	0.13 \pm 0.00	8.80 \pm 0.20	-11.55 \pm 0.45
	35C	3.31	56.07 \pm 1.57	10.47 \pm 0.21	15.76 \pm 0.23	0.09 \pm 0.00	23.84 \pm 0.95	-9.10 \pm 0.45
<i>Protium opacum</i>	36H	21.08	257.84 \pm 1.95	88.70 \pm 0.44	56.64 \pm 2.83	0.80 \pm 0.01	81.26 \pm 0.10	20.98 \pm 1.02
	36C	8.86	271.59 \pm 1.56	81.18 \pm 0.40	56.64 \pm 1.33	0.75 \pm 0.02	11.62 \pm 0.11	-6.78 \pm 0.21
<i>Siparuna pachyantha</i>	37H	17.56	135.66 \pm 1.13	46.19 \pm 0.80	33.43 \pm 0.23	0.38 \pm 0.00	9.38 \pm 0.26	-7.59 \pm 0.33
	37C	8.26	58.16 \pm 0.56	13.79 \pm 0.63	19.55 \pm 0.86	0.16 \pm 0.00	3.59 \pm 0.12	-13.96 \pm 0.65
<i>Trichilia poeppigii</i>	38H	21.17	111.59 \pm 0.63	37.48 \pm 0.79	35.40 \pm 1.70	0.22 \pm 0.01	7.20 \pm 0.18	-6.32 \pm 0.23
	38C	18.71	350.14 \pm 4.70	87.61 \pm 1.24	60.53 \pm 0.73	0.89 \pm 0.04	42.81 \pm 0.28	-1.66 \pm 0.08
<i>Andira inermis</i>	39H	9.94	123.05 \pm 1.41	36.60 \pm 0.43	30.76 \pm 0.76	0.24 \pm 0.01	10.04 \pm 0.16	-7.24 \pm 0.32
	39C	13.46	95.76 \pm 0.90	13.07 \pm 0.51	32.06 \pm 0.33	0.07 \pm 0.00	6.00 \pm 0.12	-13.77 \pm 0.39
<i>Protium goudotianum</i>	40H	17.86	215.34 \pm 1.13	77.71 \pm 0.22	51.7 \pm 0.66	0.58 \pm 0.02	46.23 \pm 0.33	-6.03 \pm 0.17
	40C	11.35	237.43 \pm 0.90	86.00 \pm 0.39	55.02 \pm 1.23	0.70 \pm 0.03	50.51 \pm 0.40	-3.67 \pm 0.13
<i>Allophylus loretensis</i>	41H	16.82	194.20 \pm 1.48	52.62 \pm 0.16	48.74 \pm 0.13	0.51 \pm 0.02	41.69 \pm 0.33	-2.58 \pm 0.13
	41C	9.59	160.76 \pm 0.48	42.57 \pm 1.92	46.43 \pm 0.22	0.35 \pm 0.00	22.81 \pm 0.55	-6.67 \pm 0.27
<i>Iryanthera laevis</i>	42H	15.02	228.05 \pm 1.60	65.68 \pm 0.72	41.30 \pm 0.90	0.64 \pm 0.02	86.65 \pm 0.12	31.29 \pm 1.12
	42C	9.74	183.78 \pm 3.52	62.05 \pm 0.36	41.95 \pm 0.98	0.47 \pm 0.02	52.80 \pm 0.27	-7.66 \pm 0.32
<i>Neea verticillata</i>	43H	11.38	65.24 \pm 0.36	16.22 \pm 0.80	17.18 \pm 0.78	0.10 \pm 0.00	13.49 \pm 0.51	-7.57 \pm 0.10
	43C	11.07	57.74 \pm 0.18	13.64 \pm 0.20	20.19 \pm 0.46	0.10 \pm 0.00	7.14 \pm 0.33	-14.85 \pm 0.55
<i>Palicourea sp.</i>	44H	20.12	332.22 \pm 2.71	89.17 \pm 0.24	76.53 \pm 0.91	0.81 \pm 0.04	87.13 \pm 0.07	-17.2 \pm 0.29
	44C	7.05	228.68 \pm 1.10	68.69 \pm 0.53	52.04 \pm 1.77	0.54 \pm 0.01	56.05 \pm 0.17	-8.54 \pm 0.09
<i>Trichilia poeppigii</i>	45H	11.20	53.68 \pm 0.65	12.08 \pm 0.44	16.11 \pm 0.79	0.10 \pm 0.00	12.70 \pm 0.34	-16.3 \pm 0.40
	45C	9.22	80.45 \pm 2.03	18.97 \pm 0.41	21.65 \pm 0.25	0.19 \pm 0.01	0.70 \pm 0.03	-13.73 \pm 0.25
<i>Rinorea guianensis</i>	46H	19.97	285.34 \pm 1.56	84.24 \pm 0.90	55.32 \pm 1.03	0.80 \pm 0.01	38.27 \pm 0.87	17.95 \pm 0.23
	46C	26.51	498.68 \pm 1.78	89.68 \pm 0.62	88.85 \pm 0.67	1.61 \pm 0.04	47.2 \pm 0.62	4.28 \pm 0.15
<i>Sloanea eichleri</i>	47H	12.29	48.36 \pm 0.72	10.78 \pm 0.48	19.39 \pm 0.22	0.06 \pm 0.00	-13.55 \pm 0.34	5.99 \pm 0.12
	47C	5.96	26.18 \pm 1.10	7.65 \pm 0.29	14.94 \pm 0.33	0.02 \pm 0.00	-12.41 \pm 0.45	6.85 \pm 0.29
<i>Zygia macbridei</i>	48H	13.86	248.57 \pm 1.57	76.91 \pm 3.08	55.34 \pm 1.10	0.68 \pm 0.03	73.39 \pm 0.49	20.16 \pm 0.77
	48C	6.71	89.20 \pm 0.48	24.06 \pm 1.12	25.44 \pm 0.44	0.17 \pm 0.01	4.30 \pm 0.18	12.37 \pm 0.52
<i>Pseudolmedia laevis</i>	49H	10.26	238.89 \pm 2.08	70.09 \pm 3.41	47.08 \pm 1.84	0.59 \pm 0.02	22.15 \pm 0.83	7.13 \pm 0.33
	49C	6.03	242.01 \pm 0.65	61.86 \pm 2.41	43.93 \pm 0.67	0.64 \pm 0.03	18.41 \pm 0.89	4.39 \pm 0.21
<i>Siparuna cristata</i>	50H	14.78	72.64 \pm 0.90	18.54 \pm 0.58	26.10 \pm 1.22	0.24 \pm 0.00	4.43 \pm 0.16	-1.34 \pm 0.06
	50C	12.70	64.30 \pm 0.79	18.69 \pm 0.75	16.08 \pm 0.33	0.11 \pm 0.01	-3.16 \pm 0.05	0.13 \pm 0.01
<i>Pouteria cuspidata</i>	51H	19.27	166.91 \pm 2.19	51.66 \pm 2.54	35.89 \pm 0.13	0.51 \pm 0.01	56.5 \pm 2.83	9.81 \pm 0.18
	51C	11.32	168.16 \pm 3.01	45.41 \pm 1.78	35.01 \pm 1.67	0.45 \pm 0.00	21.49 \pm 1.01	-4.36 \pm 0.13

Tabla 1. Continúa.

Plantas	Código	% Rendimiento	TPC mg GAE/g	% Inhibición		Valor Frap (%)	% Inhibición	
				DPPH	ABTS		α -glucosidasa	α -amilasa
<i>Sterculia pruriens</i>	52H	12.79	305.24 ± 0.95	62.27 ± 2.88	37.77 ± 1.80	0.68 ± 0.01	43.52 ± 1.35	4.81 ± 0.21
	52C	5.95	152.84 ± 1.74	51.23 ± 2.00	32.98 ± 1.19	0.39 ± 0.00	16.97 ± 0.78	5.32 ± 0.27
<i>Cordia nodosa</i>	53H	9.01	144.41 ± 0.63	39.18 ± 1.53	28.11 ± 0.12	0.41 ± 0.01	87.21 ± 0.12	12.7 ± 0.52
	53C	3.53	141.91 ± 1.36	25.45 ± 1.16	23.18 ± 0.69	0.38 ± 0.00	4.40 ± 0.20	16.57 ± 0.65
<i>Guarea pterorhachis</i>	54H	20.72	257.11 ± 1.57	70.18 ± 0.19	53.08 ± 0.33	0.68 ± 0.00	21.26 ± 1.02	12.84 ± 0.41
	54C	7.31	239.09 ± 1.62	68.32 ± 0.49	45.78 ± 0.33	0.52 ± 0.01	44.93 ± 1.33	13.04 ± 1.20
<i>Siparuna cuspidata</i>	55H	10.91	115.03 ± 1.56	35.47 ± 0.57	28.33 ± 0.75	0.31 ± 0.01	-2.22 ± 0.11	-0.52 ± 0.02
	55C	7.63	145.03 ± 1.13	31.60 ± 1.00	26.82 ± 0.97	0.41 ± 0.01	5.20 ± 0.21	6.32 ± 0.29
<i>Swartzia peruviana</i>	56H	7.21	88.57 ± 0.72	17.39 ± 0.37	19.46 ± 0.77	0.22 ± 0.00	-3.80 ± 0.13	-0.90 ± 0.04
	56C	6.77	38.78 ± 1.36	17.39 ± 0.28	15.88 ± 0.66	0.08 ± 0.00	0.86 ± 0.04	4.53 ± 0.20
<i>Conceveiba rhytidocarpa</i>	57H	25.39	383.26 ± 0.90	89.90 ± 0.71	57.22 ± 0.21	1.10 ± 0.03	88.15 ± 0.08	6.32 ± 0.23
	57C	9.68	264.51 ± 1.78	17.34 ± 0.62	18.24 ± 0.81	0.65 ± 0.02	59.47 ± 1.15	1.45 ± 0.06
<i>Guarea purusana</i>	58H	12.29	159.20 ± 0.65	32.44 ± 0.58	29.72 ± 1.40	0.43 ± 0.02	11.77 ± 0.40	2.44 ± 0.06
	58C	10.43	99.51 ± 0.79	42.42 ± 1.69	29.10 ± 0.52	0.21 ± 0.00	20.64 ± 0.64	3.35 ± 0.09
<i>Brosimum lactescens</i>	59H	16.67	190.45 ± 1.10	57.74 ± 2.40	39.53 ± 0.71	0.51 ± 0.00	21.47 ± 0.58	0.56 ± 0.02
	59C	9.65	249.41 ± 2.05	15.78 ± 0.57	17.02 ± 0.31	0.72 ± 0.00	12.87 ± 0.53	-1.94 ± 0.08
<i>Calophyllum longifolium</i>	60H	22.76	211.28 ± 1.65	67.18 ± 1.96	51.68 ± 0.21	0.48 ± 0.01	22.07 ± 0.73	4.35 ± 0.14
	60C	12.17	244.30 ± 2.39	82.26 ± 1.03	48.52 ± 0.78	0.63 ± 0.01	41.00 ± 0.54	-1.34 ± 0.06
<i>Jacqueshuberia lorentensis</i>	61H	24.07	186.28 ± 3.26	66.27 ± 1.55	51.48 ± 1.44	0.64 ± 0.01	39.76 ± 0.61	-6.17 ± 0.26
	61C	20.99	342.74 ± 4.98	82.51 ± 1.28	66.03 ± 1.37	1.27 ± 0.01	79.50 ± 0.09	0.30 ± 0.01
<i>Dendropanax umbellatus</i>	62H	17.07	104.30 ± 1.60	27.53 ± 1.33	20.93 ± 0.48	0.26 ± 0.01	10.27 ± 0.49	-6.07 ± 0.27
	62C	8.61	60.66 ± 4.20	15.16 ± 0.76	15.57 ± 0.25	0.01 ± 0.00	10.84 ± 0.25	-8.89 ± 0.04
<i>Dicymbe uaiparuensis</i>	63H	13.77	241.70 ± 2.51	55.18 ± 0.47	39.73 ± 0.64	0.60 ± 0.02	39.58 ± 0.34	0.34 ± 0.01
	63C	16.76	311.70 ± 4.25	89.23 ± 0.24	57.92 ± 0.86	0.84 ± 0.04	73.21 ± 0.28	6.22 ± 0.29
<i>Caraipa utilis</i> R.Vásquez	64H	20.29	222.01 ± 2.19	60.18 ± 0.36	42.86 ± 0.44	0.64 ± 0.02	73.65 ± 0.11	-5.43 ± 0.22
	64C	6.42	270.45 ± 2.62	69.23 ± 1.72	50.82 ± 0.37	0.75 ± 0.01	42.53 ± 0.44	-7.11 ± 0.32
<i>Sloanea spathulata</i>	65H	18.50	367.95 ± 7.76	73.95 ± 0.75	58.49 ± 0.21	1.00 ± 0.01	90.78 ± 0.58	-10.61 ± 0.18
	65C	15.16	348.36 ± 3.25	83.26 ± 0.18	61.12 ± 0.12	0.89 ± 0.02	73.59 ± 0.58	-5.09 ± 0.22
<i>Pachira brevipes</i>	66H	10.95	161.70 ± 1.88	39.06 ± 1.78	30.06 ± 0.89	0.37 ± 0.01	28.73 ± 0.54	-7.40 ± 0.32
	66C	9.59	347.95 ± 2.51	70.36 ± 1.04	63.11 ± 0.49	1.02 ± 0.02	25.31 ± 1.06	-8.88 ± 0.41
<i>Leptobalanus latus</i>	67H	14.64	191.18 ± 2.80	45.51 ± 0.38	38.68 ± 1.14	0.60 ± 0.00	40.67 ± 1.30	-10.42 ± 0.21
	67C	10.55	301.59 ± 4.10	73.72 ± 2.89	57.29 ± 0.51	0.83 ± 0.01	53.04 ± 1.19	-0.99 ± 0.04
<i>Macrolobium suaveolens</i>	68H	26.37	388.47 ± 3.99	83.33 ± 0.32	57.73 ± 2.83	1.14 ± 0.01	55.61 ± 4.06	-2.77 ± 0.11
	68C	11.67	259.41 ± 0.94	62.57 ± 0.30	42.20 ± 0.38	0.71 ± 0.04	33.52 ± 1.05	-5.03 ± 0.23

Tabla 1. Continúa.

Plantas	Código	% Rendimiento	TPC mg GAE/g	% Inhibición		Valor Frap (%)	% Inhibición	
				DPPH	ABTS		α -glucosidasa	α -amilasa
<i>Rudgea lanceifolia</i>	69H	26.78	40.97 \pm 0.54	13.28 \pm 0.38	14.14 \pm 0.51	0.05 \pm 0.00	12.76 \pm 1.01	-8.39 \pm 0.41
	69C	15.29	40.86 \pm 0.36	11.17 \pm 0.53	14.43 \pm 0.67	0.06 \pm 0.00	15.69 \pm 0.32	-5.48 \pm 0.22
<i>Macrolobium microcalyx</i>	70H	14.50	185.66 \pm 1.65	64.51 \pm 0.62	41.10 \pm 0.38	0.45 \pm 0.01	47.81 \pm 0.52	-8.29 \pm 0.4
	70C	12.26	184.09 \pm 2.72	46.07 \pm 1.10	40.81 \pm 0.67	0.49 \pm 0.01	18.25 \pm 0.42	-7.46 \pm 0.34
<i>Leonia glycyarpa</i>	71H	9.04	41.18 \pm 0.36	8.42 \pm 0.40	15.29 \pm 0.66	0.06 \pm 0.00	19.89 \pm 0.91	-8.15 \pm 0.39
	71C	8.14	18.47 \pm 0.00	6.31 \pm 0.24	11.80 \pm 0.12	0.01 \pm 0.00	4.59 \pm 0.19	-6.27 \pm 0.27
<i>Ilex petiolaris</i>	72H	13.86	64.82 \pm 0.65	15.48 \pm 0.51	16.46 \pm 0.21	0.13 \pm 0.00	13.42 \pm 0.62	-4.84 \pm 0.18
	72C	16.25	84.82 \pm 2.37	16.48 \pm 0.49	19.75 \pm 0.41	0.17 \pm 0.01	18.61 \pm 0.36	-5.58 \pm 0.17
<i>Protium trifoliolatum</i>	73H	12.90	182.74 \pm 1.60	45.89 \pm 0.35	38.96 \pm 0.12	0.45 \pm 0.02	26.22 \pm 1.24	-1.34 \pm 0.06
	73C	10.58	185.76 \pm 0.79	43.79 \pm 1.68	31.14 \pm 0.97	0.52 \pm 0.01	42.85 \pm 0.46	0.75 \pm 0.03
<i>Simira rubescens</i>	74H	17.97	109.41 \pm 1.36	12.52 \pm 0.48	14.61 \pm 0.36	0.27 \pm 0.02	12.99 \pm 0.21	0.10 \pm 0.00
	74C	4.91	100.76 \pm 1.10	33.36 \pm 1.01	25.31 \pm 0.41	0.11 \pm 0.00	9.83 \pm 0.27	-1.53 \pm 0.06
<i>Virola calophylla</i>	75H	22.91	225.55 \pm 5.34	46.59 \pm 0.88	34.22 \pm 1.13	0.57 \pm 0.02	26.21 \pm 0.95	-3.66 \pm 0.13
	75C	18.15	285.66 \pm 2.36	78.81 \pm 0.58	53.49 \pm 0.70	0.78 \pm 0.02	20.65 \pm 0.57	4.39 \pm 0.21
<i>Matisia malacocalyx</i>	76H	11.59	46.07 \pm 0.18	9.42 \pm 0.36	11.31 \pm 0.45	0.08 \pm 0.00	-11.67 \pm 0.18	-6.13 \pm 0.24
	76C	15.90	34.51 \pm 0.72	9.32 \pm 0.37	10.95 \pm 0.45	0.05 \pm 0.00	13.06 \pm 0.26	-2.66 \pm 0.13
<i>Ecclinusa guianensis</i>	77H	21.68	283.57 \pm 2.35	74.10 \pm 0.53	53.12 \pm 0.33	0.99 \pm 0.02	51.22 \pm 0.51	-5.71 \pm 0.25
	77C	25.32	442.64 \pm 5.91	83.88 \pm 2.25	66.02 \pm 0.43	1.36 \pm 0.05	45.60 \pm 0.19	-4.29 \pm 0.19
<i>Swartzia polyphylla</i>	78H	28.03	110.24 \pm 0.65	20.70 \pm 0.63	16.96 \pm 0.70	0.26 \pm 0.01	4.51 \pm 0.18	-11.10 \pm 0.24
	78C	20.60	98.05 \pm 3.34	20.74 \pm 0.78	26.75 \pm 0.33	0.20 \pm 0.00	19.23 \pm 0.36	-9.71 \pm 0.46
<i>Neea divaricata</i>	79H	8.36	65.03 \pm 1.43	14.35 \pm 0.59	13.70 \pm 0.55	0.14 \pm 0.00	9.82 \pm 0.42	-8.40 \pm 0.36
	79C	11.41	249.51 \pm 0.95	42.19 \pm 1.02	27.04 \pm 0.13	0.42 \pm 0.01	-0.70 \pm 0.02	-2.14 \pm 0.09
<i>Dendrobangia multinervia</i>	80H	22.44	59.61 \pm 1.26	12.38 \pm 0.47	14.87 \pm 0.65	0.12 \pm 0.00	9.02 \pm 0.14	-5.57 \pm 0.15
	80C	8.38	32.32 \pm 0.48	5.39 \pm 0.22	12.18 \pm 0.52	0.04 \pm 0.00	7.79 \pm 0.22	-4.81 \pm 0.21
<i>Inga capitata</i>	81H	21.59	418.78 \pm 3.79	86.90 \pm 0.42	49.85 \pm 0.26	0.97 \pm 0.01	88.83 \pm 0.05	-3.30 \pm 0.11
	81C	21.01	288.16 \pm 1.08	71.80 \pm 0.93	49.18 \pm 0.34	0.67 \pm 0.01	67.91 \pm 0.09	-10.21 \pm 0.19
<i>Curupira tefeensis</i>	82H	16.95	91.70 \pm 0.18	30.06 \pm 1.10	21.00 \pm 0.79	0.25 \pm 0.00	11.60 \pm 0.31	-6.36 \pm 0.30
	82C	12.81	123.99 \pm 1.41	27.15 \pm 1.30	29.45 \pm 0.56	0.27 \pm 0.00	11.40 \pm 0.42	-12.26 \pm 0.21
<i>Guarea gomma</i>	83H	15.97	96.28 \pm 0.83	37.97 \pm 1.75	26.31 \pm 0.85	0.22 \pm 0.01	21.53 \pm 0.34	-9.41 \pm 0.15
	83C	10.21	134.2 \pm 1.41	26.09 \pm 0.84	20.33 \pm 0.26	0.26 \pm 0.01	18.45 \pm 0.29	-6.83 \pm 0.22
<i>Trichilia pallida</i>	84 H	15.38	87.43 \pm 0.65	17.93 \pm 0.65	17.93 \pm 0.37	0.11 \pm 0.01	17.35 \pm 0.53	-8.72 \pm 0.41
	84 C	13.72	61.49 \pm 1.57	7.84 \pm 0.25	12.66 \pm 0.56	0.05 \pm 0.00	12.87 \pm 0.32	-7.46 \pm 0.35
<i>Protium calendulinum</i>	85 H	17.61	180.55 \pm 0.48	49.04 \pm 2.14	39.59 \pm 1.34	0.42 \pm 0.01	22.66 \pm 0.48	-11.58 \pm 0.26
	85 C	15.21	210.24 \pm 2.39	55.46 \pm 1.30	43.60 \pm 0.44	0.56 \pm 0.01	44.25 \pm 0.11	-9.22 \pm 0.41

Tabla 1. Continúa.

Plantas	Código	% Rendimiento	TPC mg GAE/g	% Inhibición		Valor Frap (%)	% Inhibición	
				DPPH	ABTS		α -glucosidasa	α -amilasa
<i>Gustavia longifolia</i>	86 H	12.23	143.89 ± 1.48	43.12 ± 1.08	27.99 ± 1.04	0.38 ± 0.02	91.14 ± 0.03	-0.23 ± 0.01
	86 C	10.27	95.55 ± 0.95	19.86 ± 0.76	21.73 ± 0.73	0.21 ± 0.00	24.58 ± 0.30	-11.75 ± 0.31
<i>Guatteria decurrens</i>	87 H	24.57	224.72 ± 2.72	75.53 ± 0.83	46.20 ± 0.63	0.68 ± 0.03	73.86 ± 0.09	2.11 ± 0.09
	87 C	12.25	195.66 ± 1.95	41.17 ± 1.22	30.10 ± 1.48	0.49 ± 0.02	45.52 ± 0.54	-9.72 ± 0.13
<i>Quiina florida</i>	88 H	18.12	292.95 ± 0.79	72.71 ± 1.03	43.95 ± 1.24	0.78 ± 0.03	57.37 ± 0.06	0.44 ± 0.02
	88 C	12.19	307.32 ± 1.78	87.59 ± 1.01	58.7 ± 0.45	0.96 ± 0.03	81.26 ± 1.99	12.02 ± 0.53
<i>Rinorea lindeniana</i>	89 H	12.12	178.68 ± 1.83	44.62 ± 1.07	35.07 ± 0.25	0.46 ± 0.00	37.15 ± 0.12	-7.45 ± 0.14
	89 C	10.18	227.53 ± 2.25	57.37 ± 1.22	38.91 ± 0.70	0.60 ± 0.00	38.20 ± 0.36	13.73 ± 0.18
<i>Mezilaurus opaca</i>	90 H	9.51	283.99 ± 2.69	81.24 ± 0.93	48.77 ± 0.45	0.68 ± 0.03	57.86 ± 0.47	16.98 ± 0.84
	90C	11.98	266.49 ± 3.25	62.04 ± 1.09	51.52 ± 1.03	0.68 ± 0.03	52.04 ± 0.36	16.14 ± 0.83
<i>Diclinanona tessmannii</i>	91H	19.51	171.70 ± 0.48	32.78 ± 1.46	32.46 ± 1.27	0.42 ± 0.02	-1.34 ± 0.04	-6.76 ± 0.32
	91C	11.57	188.68 ± 2.08	34.52 ± 1.51	30.58 ± 0.58	0.40 ± 0.02	13.06 ± 0.33	-14.43 ± 0.70
<i>Swartzia simplex</i>	92H	24.94	48.05 ± 1.30	16.21 ± 0.66	21.01 ± 0.75	0.04 ± 0.00	-21.08 ± 0.11	-26.99 ± 0.74
	92C	10.86	89.41 ± 4.23	15.82 ± 0.19	17.68 ± 0.55	0.17 ± 0.00	-32.11 ± 0.92	-32.07 ± 1.22
<i>Eugenia patrisii</i>	93H	20.74	363.57 ± 3.08	82.73 ± 0.16	67.24 ± 0.65	1.07 ± 0.05	98.50 ± 0.04	83.44 ± 0.16
	93C	17.81	305.24 ± 2.89	78.44 ± 0.53	55.75 ± 1.19	0.82 ± 0.01	91.60 ± 0.02	-0.79 ± 0.02
<i>Oxandra sp.</i>	94H	10.58	54.61 ± 0.36	14.08 ± 0.46	13.58 ± 0.57	0.10 ± 0.01	-11.51 ± 0.24	-14.58 ± 0.67
	94C	9.39	62.53 ± 1.13	14.62 ± 0.35	18.53 ± 0.57	0.18 ± 0.01	-15.78 ± 0.54	-16.37 ± 0.38
<i>Simaba polyphylla</i>	95H	1.12	20.24 ± 0.36	5.74 ± 0.21	11.42 ± 0.37	0.01 ± 0.00	-3.04 ± 0.08	-19.74 ± 0.57
	95C	3.22	33.78 ± 0.31	9.53 ± 0.31	15.88 ± 0.66	0.11 ± 0.01	2.33 ± 0.03	-30.51 ± 1.25
<i>Leonia crassa</i>	96H	8.87	60.03 ± 1.43	20.75 ± 0.73	7.47 ± 0.33	0.04 ± 0.00	-10.00 ± 0.45	-19.88 ± 0.98
	96C	14.92	183.78 ± 0.31	50.55 ± 1.78	34.91 ± 1.29	0.51 ± 0.02	21.51 ± 0.38	-22.02 ± 0.82
<i>Fusaea longifolia</i>	97H	16.38	163.68 ± 0.65	37.74 ± 1.02	35.49 ± 0.13	0.30 ± 0.02	2.37 ± 0.04	-22.27 ± 0.24
	97C	16.09	252.84 ± 0.63	55.38 ± 1.84	61.03 ± 0.71	0.48 ± 0.01	42.99 ± 0.22	-1.02 ± 0.02
<i>Tapura acreana</i>	98H	12.10	174.41 ± 1.13	26.21 ± 1.16	26.62 ± 0.83	0.58 ± 0.02	-11.06 ± 0.28	-14.21 ± 0.53
	98C	5.40	84.61 ± 1.98	11.38 ± 0.48	22.76 ± 0.88	0.26 ± 0.00	16.53 ± 0.50	-12.96 ± 0.51
<i>Pseudosenefeldera inclinata</i>	99H	20.19	277.22 ± 0.63	58.44 ± 2.79	51.00 ± 0.27	0.65 ± 0.02	14.36 ± 0.41	-16.28 ± 0.17
	99C	20.44	252.11 ± 0.18	41.01 ± 1.71	46.91 ± 0.27	0.49 ± 0.02	24.8 ± 0.45	-11.41 ± 0.29
<i>Unonopsis spectabilis</i>	100H	14.06	230.45 ± 2.66	42.82 ± 2.13	40.28 ± 0.80	0.51 ± 0.01	-1.02 ± 0.04	-19.95 ± 0.55
	100C	9.18	194.82 ± 4.03	27.31 ± 0.77	36.19 ± 0.35	0.39 ± 0.01	-7.89 ± 0.19	-13.76 ± 0.64
<i>Hevea brasiliensis</i>	101H	16.38	75.97 ± 0.31	20.48 ± 0.82	19.60 ± 0.49	0.15 ± 0.00	0.41 ± 0.02	-9.23 ± 0.42
	101C	9.15	120.34 ± 3.01	48.28 ± 1.22	32.33 ± 1.17	0.26 ± 0.00	-9.91 ± 0.43	-13.74 ± 0.48
<i>Homalolepis cavalcantei</i>	102H	9.88	158.47 ± 0.31	36.99 ± 3.59	38.27 ± 0.48	0.43 ± 0.01	17.52 ± 0.14	-12.96 ± 0.64
	102C	5.19	82.01 ± 3.86	5.11 ± 0.20	24.07 ± 0.61	0.19 ± 0.00	-24.68 ± 1.16	-21.5 ± 0.52

Tabla 1. Continúa.

Plantas	Código	% Rendimiento	TPC mg GAE/g	% Inhibición		Valor Frap (%)	% Inhibición	
				DPPH	ABTS		α -glucosidasa	α -amilasa
<i>Emmotum floribundum</i>	103H	36.43	306.49 \pm 2.08	78.39 \pm 0.12	54.63 \pm 0.23	0.67 \pm 0.03	68.70 \pm 0.27	19.32 \pm 0.37
	103C	12.70	301.91 \pm 0.63	80.07 \pm 0.47	61.96 \pm 0.53	0.80 \pm 0.02	58.53 \pm 0.72	5.00 \pm 0.10
<i>Ternstroemia klugiana</i>	104H	21.44	166.18 \pm 3.55	37.4 \pm 1.73	35.11 \pm 0.74	0.41 \pm 0.01	5.99 \pm 0.18	-30.57 \pm 0.57
	104C	11.35	204.93 \pm 1.54	53.77 \pm 1.28	49.23 \pm 1.19	0.41 \pm 0.01	13.17 \pm 0.39	-22.95 \pm 0.75
<i>Adiscanthus fusciflorus</i>	105H	16.93	63.99 \pm 0.36	13.62 \pm 0.42	22.22 \pm 1.01	0.11 \pm 0.00	-15.51 \pm 0.54	-21.80 \pm 0.90
	105C	9.33	75.45 \pm 3.98	18.44 \pm 0.69	24.31 \pm 0.40	0.14 \pm 0.00	-14.99 \pm 0.59	-16.42 \pm 0.58
<i>Macrolobium bifolium</i>	106H	18.60	233.47 \pm 1.56	59.85 \pm 0.92	40.37 \pm 0.85	0.54 \pm 0.01	39.76 \pm 0.61	-23.13 \pm 0.54
	106C	13.56	234.09 \pm 2.44	72.84 \pm 0.95	48.34 \pm 0.53	0.60 \pm 0.03	79.50 \pm 0.09	-9.21 \pm 0.48
<i>Alchornea triplinervia</i>	107H	29.00	303.47 \pm 2.72	77.87 \pm 2.86	59.33 \pm 0.36	0.60 \pm 0.02	10.27 \pm 0.49	3.81 \pm 0.42
	107C	21.20	267.64 \pm 2.01	75.76 \pm 0.71	53.03 \pm 0.42	0.77 \pm 0.01	10.84 \pm 0.52	40.69 \pm 0.82
<i>Ocotea aciphylla</i>	108H	15.87	260.24 \pm 1.54	73.26 \pm 0.47	50.86 \pm 0.67	0.63 \pm 0.02	39.58 \pm 0.34	-29.08 \pm 0.56
	108C	18.06	196.70 \pm 1.10	42.13 \pm 0.16	35.40 \pm 0.42	0.44 \pm 0.01	73.21 \pm 0.28	-31.80 \pm 0.57
<i>Brosimum utile</i>	109H	15.49	181.91 \pm 1.65	59.11 \pm 0.50	38.41 \pm 1.37	0.50 \pm 0.02	73.65 \pm 0.11	-35.00 \pm 0.59
	109C	7.19	103.89 \pm 0.36	36.64 \pm 1.49	22.80 \pm 0.36	0.25 \pm 0.00	42.53 \pm 0.44	-32.85 \pm 0.58
<i>Ficus ursina</i>	110H	15.66	45.55 \pm 0.36	17.58 \pm 0.78	14.68 \pm 0.44	0.11 \pm 0.01	90.78 \pm 0.58	-29.73 \pm 0.57
	110C	8.03	55.97 \pm 0.15	14.91 \pm 0.67	16.84 \pm 0.65	0.10 \pm 0.00	73.59 \pm 0.58	-31.56 \pm 0.57
<i>Tovomita carinata</i>	111H	21.27	92.43 \pm 4.55	26.03 \pm 1.28	18.62 \pm 0.33	0.16 \pm 0.01	28.73 \pm 0.54	-30.17 \pm 0.57
	111C	10.90	156.7 \pm 2.30	45.97 \pm 1.52	27.4 \pm 0.33	0.38 \pm 0.02	25.47 \pm 0.86	-30.39 \pm 0.57
<i>Dendropanax arboreus</i>	112H	15.21	79.61 \pm 1.30	20.86 \pm 1.00	21.48 \pm 0.43	0.20 \pm 0.01	40.67 \pm 1.30	-39.57 \pm 0.61
	112C	5.54	50.34 \pm 0.54	9.98 \pm 0.48	15.05 \pm 0.57	0.08 \pm 0.00	53.04 \pm 1.19	-37.39 \pm 0.60
<i>Hirtella racemosa</i>	113H	14.31	235.55 \pm 2.43	62.66 \pm 0.52	52.46 \pm 1.43	0.88 \pm 0.04	55.61 \pm 2.01	3.17 \pm 0.15
	113C	9.84	219.72 \pm 1.08	54.91 \pm 0.63	56.17 \pm 1.07	0.53 \pm 0.01	33.52 \pm 1.05	-17.95 \pm 0.51
<i>Dendrobangia boliviana</i>	114H	19.41	85.86 \pm 0.48	22.61 \pm 0.59	18.12 \pm 0.54	0.19 \pm 0.01	12.76 \pm 0.54	-37.42 \pm 0.60
	114C	8.67	110.55 \pm 1.00	41.46 \pm 1.17	29.19 \pm 0.74	0.30 \pm 0.01	15.69 \pm 0.78	-36.68 \pm 0.60
<i>Casearia sylvestris</i>	115H	16.60	79.61 \pm 1.26	10.44 \pm 0.34	16.15 \pm 0.45	0.09 \pm 0.00	47.81 \pm 0.52	-40.98 \pm 0.61
	115C	6.68	58.68 \pm 0.90	11.82 \pm 0.50	17.22 \pm 0.33	0.12 \pm 0.00	18.25 \pm 0.64	-21.64 \pm 0.53
<i>Protium grandifolium</i>	116H	17.18	301.39 \pm 2.08	67.05 \pm 0.32	46.49 \pm 1.19	0.77 \pm 0.03	19.89 \pm 0.91	-25.20 \pm 0.55
	116C	13.37	239.51 \pm 2.60	71.41 \pm 0.76	49.00 \pm 1.84	0.63 \pm 0.01	4.59 \pm 0.09	-32.03 \pm 0.58
<i>Caryodaphnopsis fosteri</i>	117H	10.40	162.53 \pm 1.95	47.27 \pm 1.16	33.65 \pm 0.69	0.35 \pm 0.02	13.42 \pm 0.40	-22.83 \pm 0.54
	117C	10.23	188.68 \pm 1.48	53.88 \pm 0.48	37.16 \pm 0.75	0.52 \pm 0.01	18.61 \pm 0.36	-27.75 \pm 0.56
<i>Vantanea guianensis</i>	118H	8.28	158.99 \pm 1.00	53.97 \pm 0.88	39.75 \pm 1.31	0.52 \pm 0.01	26.22 \pm 1.24	7.89 \pm 0.30
	118C	10.85	278.05 \pm 1.26	68.05 \pm 2.69	49.72 \pm 1.37	0.93 \pm 0.03	42.85 \pm 0.46	35.20 \pm 0.28
<i>Ocotea sp.</i>	119H	24.12	181.59 \pm 2.78	35.09 \pm 1.87	36.71 \pm 0.82	0.5 \pm 0.01	12.99 \pm 0.57	-34.04 \pm 0.58
	119C	17.39	267.53 \pm 1.36	69.94 \pm 1.70	57.11 \pm 2.57	0.63 \pm 0.03	9.83 \pm 0.47	-30.49 \pm 0.57

Tabla 1. Continúa.

Plantas	Código	% Rendimiento	TPC mg GAE/g	% Inhibición		Valor Frap (%)	% Inhibición	
				DPPH	ABTS		α-glucosidasa	α-amilasa
<i>Ocotea bofo</i>	120H	23.57	251.28 ± 5.96	54.44 ± 1.02	48.28 ± 0.76	0.67 ± 0.02	26.21 ± 0.95	-33.93 ± 0.58
	120C	16.50	259.41 ± 2.19	57.77 ± 1.13	52.23 ± 0.25	0.60 ± 0.03	20.65 ± 0.57	-35.85 ± 0.59
<i>Iryanthera macrophylla</i>	121H	24.27	265.76 ± 6.57	50.92 ± 0.44	39.22 ± 1.74	0.49 ± 0.02	65.55 ± 0.47	-5.43 ± 0.15
	121C	14.50	158.05 ± 1.78	42.19 ± 0.34	30.53 ± 0.99	0.29 ± 0.01	22.7 ± 1.07	-13.24 ± 0.49
<i>Malmea manausensis</i>	122H	19.66	108.36 ± 1.72	22.27 ± 0.86	22.05 ± 0.90	0.21 ± 0.01	17.06 ± 0.26	-2.69 ± 0.13
	122C	12.16	72.53 ± 0.54	11.04 ± 0.40	16.31 ± 0.22	0.12 ± 0.01	-10.45 ± 0.46	-9.19 ± 0.28
<i>Adenocalymma cladotrichum</i>	123H	11.79	86.07 ± 0.65	6.63 ± 0.17	15.88 ± 0.75	0.08 ± 0.00	-3.58 ± 0.08	-20.98 ± 0.53
	123C	14.17	90.86 ± 1.30	13.01 ± 0.31	11.46 ± 0.35	0.16 ± 0.01	0.67 ± 0.03	-17.95 ± 0.51
<i>Naucleopsis macrophylla</i>	124H	13.62	106.07 ± 2.73	20.96 ± 0.88	20.14 ± 0.69	0.18 ± 0.00	6.97 ± 0.25	-35.43 ± 0.59
	124C	10.76	59.51 ± 0.79	10.20 ± 0.46	12.96 ± 0.46	0.11 ± 0.00	-12.26 ± 0.25	-1.17 ± 0.04
<i>Brosimum utile</i>	125H	14.11	141.18 ± 3.28	27.24 ± 0.48	21.06 ± 0.46	0.28 ± 0.01	12.51 ± 0.56	-11.43 ± 0.49
	125C	12.83	183.05 ± 5.16	32.18 ± 0.49	26.5 ± 0.12	0.38 ± 0.01	21.89 ± 0.51	-7.20 ± 0.27
<i>Pentagonia macrophylla</i>	126H	15.92	162.95 ± 2.30	40.78 ± 1.98	30.44 ± 1.27	0.32 ± 0.02	59.17 ± 0.25	-4.47 ± 0.16
	126C	16.67	117.32 ± 2.08	22.10 ± 0.95	18.06 ± 0.23	0.22 ± 0.01	14.05 ± 0.58	-28.96 ± 0.56
<i>Chrysochlamys membranacea</i>	127H	18.88	139.51 ± 0.65	27.08 ± 1.29	20.14 ± 0.46	0.25 ± 0.01	13.75 ± 0.54	-7.78 ± 0.27
	127C	11.59	222.32 ± 2.30	65.82 ± 0.79	33.80 ± 0.69	0.56 ± 0.03	65.95 ± 0.27	-8.07 ± 0.37
<i>Platymiscium pinnatum</i>	128H	15.40	72.32 ± 0.95	11.24 ± 0.31	19.47 ± 0.22	0.18 ± 0.00	-10.07 ± 0.45	-26.27 ± 0.55
	128C	9.98	97.22 ± 1.90	14.38 ± 0.51	27.57 ± 0.33	0.30 ± 0.00	-6.60 ± 0.28	-16.08 ± 0.51
<i>Compsonera capitellata</i>	129H	13.22	127.32 ± 0.79	29.67 ± 1.07	26.34 ± 0.50	0.28 ± 0.00	8.30 ± 0.24	-32.94 ± 0.58
	129C	11.27	173.26 ± 3.48	33.17 ± 1.12	33.29 ± 0.63	0.36 ± 0.02	16.85 ± 0.26	-34.06 ± 0.58
<i>Swartzia benthamiana</i>	130H	7.40	90.86 ± 1.83	22.02 ± 1.07	26.78 ± 0.66	0.21 ± 0.00	70.13 ± 0.07	-5.01 ± 0.06
	130C	6.08	81.91 ± 5.14	13.83 ± 0.62	22.51 ± 0.43	0.15 ± 0.01	6.86 ± 0.23	-31.39 ± 0.57
<i>Aspidosperma parvifolium</i>	131H	15.29	56.91 ± 1.13	10.40 ± 0.33	18.39 ± 0.22	0.06 ± 0.00	-14.63 ± 0.49	-30.24 ± 0.57
	131C	16.14	42.22 ± 0.31	8.36 ± 0.27	15.64 ± 0.13	0.05 ± 0.00	-15.57 ± 0.34	-25.05 ± 0.55
<i>Tapura amazónica</i>	132H	15.79	201.18 ± 1.26	41.43 ± 1.07	32.87 ± 0.25	0.48 ± 0.00	42.67 ± 0.23	-31.09 ± 0.57
	132C	3.02	125.55 ± 0.72	29.07 ± 1.41	24.09 ± 0.22	0.36 ± 0.01	1.20 ± 0.05	-15.32 ± 0.50
<i>Inga ciliata</i>	133H	13.32	196.49 ± 2.26	48.39 ± 0.27	38.26 ± 0.45	0.49 ± 0.01	83.97 ± 0.10	-29.82 ± 0.57
	133C	14.57	336.8 ± 3.44	71.32 ± 0.54	53.59 ± 0.66	0.82 ± 0.01	92.16 ± 0.08	14.73 ± 0.37
<i>Vitex triflora</i>	134H	8.87	71.91 ± 0.31	10.24 ± 0.28	12.07 ± 0.25	0.13 ± 0.00	-3.61 ± 0.10	-37.69 ± 0.6
	134C	13.27	87.74 ± 0.72	12.59 ± 0.33	13.30 ± 0.37	0.14 ± 0.00	-2.72 ± 0.08	-37.05 ± 0.6
<i>Talisia clathrata</i>	135H	24.73	334.41 ± 6.23	67.10 ± 0.95	48.48 ± 0.57	0.70 ± 0.01	76.34 ± 0.18	-3.71 ± 0.05
	135C	14.18	276.49 ± 3.73	52.58 ± 0.84	41.64 ± 1.93	0.57 ± 0.01	47.29 ± 0.18	-21.92 ± 0.53
<i>Symphonia globulifera</i>	136H	19.80	242.53 ± 2.98	42.78 ± 1.46	41.43 ± 0.97	0.46 ± 0.02	25.54 ± 0.74	2.83 ± 0.05
	136C	9.03	150.45 ± 1.00	29.62 ± 1.31	35.60 ± 0.45	0.28 ± 0.01	18.77 ± 0.24	-18.43 ± 0.74

Tabla 1. Continúa.

Plantas	Código	% Rendimiento	TPC mg GAE/g	% Inhibición		Valor Frap (%)	% Inhibición	
				DPPH	ABTS		α -glucosidasa	α -amilasa
<i>Nealchornea yapurensis</i>	137H	25.11	229.41 ± 6.46	49.26 ± 1.09	37.90 ± 0.57	0.6 ± 0.02	77.33 ± 1.06	-0.43 ± 0.02
	137C	8.53	151.80 ± 1.60	30.07 ± 0.66	22.79 ± 0.99	0.37 ± 0.01	33.47 ± 0.31	-13.74 ± 0.51
<i>Neea divaricata</i>	138H	8.87	83.05 ± 3.44	15.04 ± 0.02	17.54 ± 0.12	0.14 ± 0.00	-12.92 ± 0.27	-18.72 ± 0.74
	138C	6.12	121.39 ± 2.13	20.10 ± 0.92	22.43 ± 0.62	0.21 ± 0.01	-11.90 ± 0.39	-31.69 ± 0.82
<i>Ruptiliocarpon caracolito</i>	139H	47.05	390.76 ± 3.62	90.63 ± 0.40	56.39 ± 1.19	1.04 ± 0.03	79.31 ± 0.29	-31.72 ± 0.82
	139C	13.73	327.11 ± 5.14	69.94 ± 1.12	62.29 ± 1.51	0.86 ± 0.01	56.11 ± 0.10	-37.76 ± 0.86
<i>Pouteria torta</i>	140H	9.46	199.72 ± 4.67	51.96 ± 0.79	41.07 ± 0.33	0.52 ± 0.00	76.59 ± 0.14	-81.64 ± 1.13
	140C	6.89	183.68 ± 2.01	38.56 ± 1.19	31.64 ± 0.57	0.37 ± 0.00	32.59 ± 0.38	-89.74 ± 1.18
<i>Protium goudotianum</i>	141H	18.15	192.64 ± 1.10	38.51 ± 1.08	35.01 ± 1.04	0.38 ± 0.00	20.53 ± 0.30	-104.33 ± 1.27
	141C	11.89	234.09 ± 5.03	48.89 ± 1.61	41.07 ± 0.38	0.46 ± 0.00	29.83 ± 0.25	-116.14 ± 1.34
<i>Trigynaea cinnamomea</i>	142H	17.11	63.57 ± 1.18	12.21 ± 0.33	16.95 ± 0.22	0.08 ± 0.00	-25.01 ± 0.29	-127.39 ± 1.41
	142C	9.35	63.26 ± 0.36	12.31 ± 0.47	18.49 ± 0.58	0.09 ± 0.00	8.36 ± 0.26	-52.83 ± 0.95
<i>Calliandra trinervia</i>	143H	23.46	293.78 ± 10.78	59.61 ± 1.16	43.78 ± 0.91	0.63 ± 0.03	89.19 ± 0.15	-10.84 ± 0.39
	143C	16.69	216.59 ± 2.36	10.28 ± 0.40	36.54 ± 0.77	0.39 ± 0.01	-17.37 ± 0.50	-30.03 ± 0.81
<i>Calliandra trinervia</i>	144H	23.01	311.70 ± 3.62	59.12 ± 1.16	43.78 ± 0.13	0.63 ± 0.03	94.81 ± 0.05	-14.43 ± 1.33
	144C	17.44	191.49 ± 7.41	31.69 ± 1.29	34.71 ± 0.38	0.32 ± 0.01	-11.61 ± 0.18	-25.75 ± 0.78
<i>Dilkea cuneata</i>	145H	16.85	21.70 ± 15.88	7.88 ± 0.26	16.7 ± 0.21	0.05 ± 0.00	-19.18 ± 0.56	-125.91 ± 1.4
	145C	6.42	91.70 ± 4.13	12.98 ± 0.64	20.99 ± 0.21	0.17 ± 0.01	-3.44 ± 0.07	-117.77 ± 1.35
<i>Siparuna cristata</i>	146H	11.81	116.70 ± 1.54	19.87 ± 0.99	32.05 ± 0.69	0.19 ± 0.01	8.31 ± 0.15	-116.78 ± 1.35
	146C	12.16	151.91 ± 15.58	30.62 ± 1.26	31.05 ± 0.57	0.22 ± 0.01	-17.15 ± 0.69	-57.49 ± 0.98
<i>Licaria macrophylla</i>	147H	7.89	71.07 ± 13.77	12.74 ± 0.58	17.77 ± 0.77	0.10 ± 0.00	4.52 ± 0.09	-90.62 ± 1.19
	147C	6.68	89.51 ± 11.56	19.63 ± 0.88	17.77 ± 0.21	0.13 ± 0.00	-19.13 ± 0.52	-33.89 ± 0.83
<i>Iryanthera paraensis</i>	148H	17.15	248.16 ± 2.67	63.43 ± 0.32	42.68 ± 0.33	0.61 ± 0.02	15.52 ± 0.76	-105.06 ± 1.27
	148C	11.96	214.51 ± 0.90	59.33 ± 1.05	43.68 ± 0.21	0.54 ± 0.00	34.88 ± 0.31	-101.44 ± 1.25
<i>Garcinia macrophylla</i>	149H	17.30	247.11 ± 3.25	62.17 ± 1.08	45.47 ± 0.35	0.56 ± 0.02	36.85 ± 1.39	-91.17 ± 1.19
	149C	11.21	220.14 ± 2.55	64.86 ± 0.32	45.84 ± 1.02	0.53 ± 0.01	17.38 ± 0.53	-25.05 ± 0.78
<i>Iryanthera hostmannii</i>	150H	15.72	280.34 ± 3.17	71.76 ± 0.66	48.42 ± 0.47	0.65 ± 0.03	25.16 ± 0.57	-75.03 ± 1.09
	150C	13.00	225.45 ± 1.72	50.73 ± 0.66	38.28 ± 0.68	0.53 ± 0.01	-0.65 ± 0.03	-90.22 ± 1.18
<i>Myrcia plicata</i>	151H	21.97	308.26 ± 4.27	74.13 ± 0.18	49.17 ± 0.39	1.02 ± 0.04	80.83 ± 0.19	-6.05 ± 0.12
	151C	12.15	374.82 ± 2.30	81.55 ± 0.34	50.76 ± 0.45	1.09 ± 0.03	84.67 ± 0.03	-6.01 ± 0.22
<i>Iryanthera tessmannii</i>	152H	22.12	191.59 ± 1.13	67.64 ± 0.16	47.66 ± 1.07	0.47 ± 0.01	46.96 ± 0.76	-4.58 ± 0.11
	152C	10.71	192.53 ± 1.62	58.00 ± 1.03	39.79 ± 0.13	0.48 ± 0.01	41.42 ± 0.25	-7.38 ± 0.29
<i>Piparea multiflora</i>	153H	19.36	182.84 ± 1.56	35.44 ± 1.03	36.09 ± 1.02	0.33 ± 0.02	25.38 ± 0.27	-5.31 ± 0.14
	153C	6.29	56.18 ± 0.95	13.77 ± 0.63	17.80 ± 0.38	0.10 ± 0.00	1.37 ± 0.05	-13.95 ± 0.19

Tabla 1. Continúa.

Plantas	Código	% Rendimiento	TPC mg GAE/g	% Inhibición		Valor Frap (%)	% Inhibición	
				DPPH	ABTS		α -glucosidasa	α -amilasa
<i>Heisteria duckei</i>	154H	19.89	181.07 \pm 3.21	37.21 \pm 1.63	34.51 \pm 0.26	0.48 \pm 0.01	20.15 \pm 0.97	-17.53 \pm 0.51
	154C	15.10	310.34 \pm 2.86	66.90 \pm 0.37	53.06 \pm 0.44	1.01 \pm 0.01	48.84 \pm 0.24	-13.21 \pm 0.65
<i>Huerteia glandulosa</i>	155H	32.98	282.84 \pm 1.90	74.32 \pm 0.12	49.96 \pm 0.38	0.86 \pm 0.01	93.63 \pm 0.07	-8.07 \pm 0.28
	155C	8.87	286.91 \pm 1.65	70.66 \pm 0.64	44.49 \pm 0.34	0.77 \pm 0.02	82.09 \pm 0.20	11.49 \pm 0.48
<i>Mouriri vernicosa</i>	156H	9.70	104.20 \pm 0.48	22.44 \pm 0.96	22.46 \pm 0.22	0.21 \pm 0.01	46.77 \pm 0.32	1.12 \pm 0.05
	156C	7.25	234.09 \pm 1.25	59.34 \pm 0.63	45.52 \pm 1.38	0.66 \pm 0.02	59.96 \pm 0.28	-7.47 \pm 0.28
<i>Protium rhoifolium</i>	157H	15.44	226.49 \pm 1.00	51.70 \pm 0.97	36.06 \pm 0.64	0.60 \pm 0.02	20.97 \pm 0.30	-12.7 \pm 0.61
	157C	13.08	301.28 \pm 1.43	73.09 \pm 0.66	39.31 \pm 0.59	0.82 \pm 0.02	36.18 \pm 0.45	-14.12 \pm 0.68
<i>Heisteria nitida</i>	158H	20.40	188.36 \pm 2.95	46.17 \pm 0.83	36.11 \pm 0.57	0.51 \pm 0.01	83.97 \pm 0.09	-22.58 \pm 0.95
	158C	13.08	258.99 \pm 1.72	52.54 \pm 0.34	39.19 \pm 0.23	0.75 \pm 0.01	40.06 \pm 0.25	-16.11 \pm 0.69
<i>Sorocea pubivena</i>	159H	13.99	43.99 \pm 0.18	12.32 \pm 0.41	15.77 \pm 0.23	0.05 \pm 0.00	23.93 \pm 1.02	-5.27 \pm 0.11
	159C	7.41	57.74 \pm 0.90	12.33 \pm 0.41	17.19 \pm 0.69	0.08 \pm 0.00	22.48 \pm 0.75	-13.51 \pm 0.58
<i>Rinorea flavescens</i>	160H	13.75	45.34 \pm 1.90	13.27 \pm 0.46	13.89 \pm 0.26	0.07 \pm 0.00	4.29 \pm 0.08	-38.52 \pm 1.07
	160C	6.63	62.43 \pm 1.54	13.51 \pm 0.19	12.84 \pm 0.39	0.07 \pm 0.00	3.14 \pm 0.06	-32.3 \pm 1.02
<i>Protium stevensonii</i>	161H	20.88	253.47 \pm 1.43	51.91 \pm 0.25	61.49 \pm 0.60	0.73 \pm 0.01	18.72 \pm 0.74	-14.73 \pm 0.69
	161C	23.01	485.03 \pm 2.05	87.13 \pm 0.42	38.89 \pm 1.36	1.52 \pm 0.02	57.25 \pm 0.19	-2.98 \pm 0.05
<i>Zygia basijuga</i>	162H	11.30	82.84 \pm 1.43	21.35 \pm 0.90	19.33 \pm 0.74	0.19 \pm 0.01	18.25 \pm 0.19	-3.63 \pm 0.08
	162C	10.57	59.30 \pm 0.36	11.74 \pm 0.36	16.46 \pm 0.45	0.11 \pm 0.00	-0.08 \pm 0.00	-9.50 \pm 0.43
<i>Annona montana</i>	163H	15.23	107.11 \pm 0.18	17.36 \pm 0.78	20.04 \pm 0.69	0.18 \pm 0.00	1.10 \pm 0.05	-15.63 \pm 0.49
	163C	9.36	94.61 \pm 0.79	19.36 \pm 0.83	37.94 \pm 0.33	0.18 \pm 0.01	-55.21 \pm 0.94	-35.62 \pm 1.05
<i>Theobroma speciosum</i>	164H	9.30	220.55 \pm 0.95	50.93 \pm 1.06	32.42 \pm 0.94	0.59 \pm 0.01	29.75 \pm 0.67	-17.96 \pm 0.71
	164C	12.29	156.49 \pm 0.18	39.21 \pm 1.03	28.20 \pm 1.18	0.42 \pm 0.01	38.24 \pm 0.42	-34.89 \pm 1.04
<i>Lindackeria paludosa</i>	165H	22.39	119.82 \pm 0.18	34.68 \pm 1.08	28.56 \pm 0.86	0.30 \pm 0.01	38.97 \pm 0.32	-19.64 \pm 0.92
	165C	17.78	142.32 \pm 0.18	30.24 \pm 1.22	24.77 \pm 0.45	0.35 \pm 0.01	12.23 \pm 0.28	-6.65 \pm 0.32
<i>Duguetia spixiana</i>	166H	19.64	250.86 \pm 1.91	63.81 \pm 2.73	42.02 \pm 1.29	0.69 \pm 0.01	40.87 \pm 0.49	-30.66 \pm 0.70
	166C	8.13	281.39 \pm 4.15	47.96 \pm 0.72	37.25 \pm 1.11	0.65 \pm 0.01	41.82 \pm 0.81	-48.01 \pm 0.80
<i>Micropholis egensis</i>	167H	22.44	281.39 \pm 2.39	53.46 \pm 1.10	47.55 \pm 0.43	0.73 \pm 0.02	15.98 \pm 0.60	-49.65 \pm 0.81
	167C	4.96	187.64 \pm 1.57	43.23 \pm 0.82	36.67 \pm 1.76	0.50 \pm 0.01	12.56 \pm 0.57	-34.74 \pm 0.72
<i>Chionanthus sp.</i>	168H	12.79	170.45 \pm 1.78	31.35 \pm 0.57	31.84 \pm 1.47	0.28 \pm 0.00	15.9 \pm 0.42	-47.48 \pm 0.79
	168C	7.36	139.82 \pm 12.81	28.72 \pm 1.08	28.17 \pm 0.45	0.32 \pm 0.01	2.55 \pm 0.12	-59.87 \pm 0.86
<i>Caryodendron orinocense</i>	169H	14.71	80.55 \pm 0.65	9.32 \pm 0.29	15.34 \pm 0.43	0.09 \pm 0.00	0.78 \pm 0.03	-45.32 \pm 0.78
	169C	11.76	73.57 \pm 0.18	8.87 \pm 0.18	13.69 \pm 0.54	0.07 \pm 0.00	-7.35 \pm 0.30	-58.59 \pm 0.85
<i>Dacryodes cuspidata</i>	170H	24.95	314.82 \pm 1.78	66.27 \pm 1.01	53.67 \pm 0.33	1.00 \pm 0.01	79.56 \pm 0.18	-24.93 \pm 0.67
	170C	11.90	507.53 \pm 2.71	85.80 \pm 0.59	73.84 \pm 0.54	1.49 \pm 0.05	39.07 \pm 1.17	-56.34 \pm 0.84

Tabla 1. Continúa.

Plantas	Código	% Rendimiento	TPC mg GAE/g	% Inhibición		Valor Frap (%)	% Inhibición	
				DPPH	ABTS		α -glucosidasa	α -amilasa
<i>Heisteria acuminata</i>	171H	24.38	242.95 \pm 2.62	40.33 \pm 1.35	42.3 \pm 1.03	0.55 \pm 0.02	4.11 \pm 0.18	-45.04 \pm 0.78
	171C	19.46	210.55 \pm 1.10	41.99 \pm 2.05	64.07 \pm 0.33	0.41 \pm 0.02	77.72 \pm 0.67	-44.62 \pm 0.78
<i>Caryocar glabrum</i>	172H	24.59	383.05 \pm 2.55	76.79 \pm 1.83	56.38 \pm 0.88	1.21 \pm 0.05	64.96 \pm 0.18	-44.16 \pm 0.78
	172C	20.65	379.51 \pm 2.08	78.36 \pm 0.45	91.50 \pm 0.45	0.87 \pm 0.04	10.67 \pm 0.47	-35.58 \pm 0.73
<i>Matisia bracteolosa</i>	173H	12.87	205.55 \pm 0.48	51.73 \pm 0.45	34.39 \pm 1.45	0.59 \pm 0.02	-4.05 \pm 0.07	-43.50 \pm 0.77
	173C	8.75	69.93 \pm 0.72	11.38 \pm 0.38	17.91 \pm 0.45	0.12 \pm 0.00	3.00 \pm 0.09	-50.13 \pm 0.81
<i>Naucleopsis oblongifolia</i>	174H	17.54	65.66 \pm 0.54	58.24 \pm 0.33	52.67 \pm 1.07	0.84 \pm 0.01	20.56 \pm 0.23	-44.65 \pm 0.78
	174C	8.75	120.76 \pm 1.72	24.16 \pm 0.76	24.23 \pm 1.20	0.26 \pm 0.01	11.78 \pm 0.54	-43.62 \pm 0.77
<i>Pouteria</i> sp.	175H	18.09	228.47 \pm 5.42	51.81 \pm 0.85	41.06 \pm 1.29	0.73 \pm 0.01	58.23 \pm 0.88	-46.67 \pm 0.79
	175C	8.76	277.01 \pm 1.26	56.60 \pm 0.58	41.13 \pm 0.65	0.79 \pm 0.01	54.34 \pm 0.54	-25.37 \pm 0.68
<i>Tachigali setifera</i>	176H	13.78	163.26 \pm 1.10	38.65 \pm 0.63	31.49 \pm 0.21	0.44 \pm 0.02	30.34 \pm 0.41	-28.11 \pm 0.69
	176C	7.82	150.97 \pm 1.36	23.11 \pm 0.75	25.53 \pm 0.37	0.33 \pm 0.01	6.56 \pm 0.28	-38.53 \pm 0.75
<i>Protium guacayanum</i>	177H	9.61	183.57 \pm 0.18	34.74 \pm 0.93	32.27 \pm 1.25	0.54 \pm 0.03	-1.63 \pm 0.08	-33.77 \pm 0.72
	177C	5.02	163.05 \pm 2.53	36.56 \pm 1.69	30.21 \pm 0.56	0.42 \pm 0.02	28.14 \pm 0.61	-41.06 \pm 0.76
<i>Leonia cymosa</i>	178H	17.01	46.91 \pm 0.63	11.67 \pm 0.48	17.16 \pm 0.49	0.09 \pm 0.00	23.71 \pm 0.81	-52.06 \pm 0.82
	178C	6.60	34.41 \pm 0.31	6.57 \pm 0.19	13.65 \pm 0.60	0.04 \pm 0.00	-8.17 \pm 0.38	-28.82 \pm 0.69
<i>Matisia</i> sp.	179H	11.38	53.05 \pm 1.00	11.67 \pm 0.35	14.75 \pm 0.65	0.09 \pm 0.00	-0.54 \pm 0.02	-49.01 \pm 0.80
	179C	10.57	35.86 \pm 0.79	10.73 \pm 0.38	12.18 \pm 0.46	0.04 \pm 0.00	-4.20 \pm 0.14	-26.65 \pm 0.68
<i>Protium ferrugineum</i>	180H	13.79	206.8 \pm 0.79	50.55 \pm 0.09	39.82 \pm 1.16	1.26 \pm 0.04	44.04 \pm 0.39	-62.86 \pm 0.88
	180C	17.13	282.43 \pm 0.90	84.12 \pm 0.32	56.46 \pm 0.22	0.83 \pm 0.02	16.67 \pm 0.80	-49.78 \pm 0.81
<i>Croton lechleri</i>	181H	19.26	163.68 \pm 0.95	36.8 \pm 0.64	31.36 \pm 0.33	0.48 \pm 0.02	46.50 \pm 0.42	8.30 \pm 0.41
	181C	17.13	223.89 \pm 3.08	47.10 \pm 1.56	41.65 \pm 0.33	0.74 \pm 0.03	41.04 \pm 0.87	-8.79 \pm 0.31
<i>Cedrela odorata</i>	182H	25.81	183.57 \pm 2.51	45.21 \pm 0.82	37.13 \pm 1.08	0.54 \pm 0.01	29.74 \pm 1.21	-10.98 \pm 0.46
	182C	9.61	250.34 \pm 1.36	58.29 \pm 1.03	44.13 \pm 0.88	0.71 \pm 0.04	38.39 \pm 1.62	-7.33 \pm 0.21
<i>Ficus maxima</i>	183H	17.17	61.49 \pm 0.48	9.25 \pm 0.38	13.93 \pm 0.55	0.05 \pm 0.00	1.83 \pm 0.08	-18.13 \pm 0.79
	183C	3.70	27.74 \pm 0.36	5.58 \pm 0.26	11.16 \pm 0.38	0.02 \pm 0.00	0.84 \pm 0.03	-17.67 \pm 0.79
<i>Qualea multiflora</i>	184H	14.78	130.55 \pm 1.10	23.69 \pm 0.73	32.20 \pm 1.09	0.22 \pm 0.01	18.44 \pm 0.74	-12.13 \pm 0.57
	184C	10.33	231.49 \pm 7.06	59.29 \pm 0.57	41.44 \pm 0.22	0.62 \pm 0.03	45.80 \pm 1.32	-6.77 \pm 0.17
<i>Conceveiba martiana</i>	185H	13.77	236.59 \pm 0.83	58.91 \pm 0.56	44.61 \pm 0.56	0.69 \pm 0.01	72.78 \pm 0.70	-24.01 \pm 0.83
	185C	8.45	291.18 \pm 1.48	56.5 \pm 1.17	46.16 \pm 1.12	0.81 \pm 0.01	72.23 \pm 0.61	-12.19 \pm 0.54
<i>Allophylus divaricatus</i>	186H	10.84	50.55 \pm 0.48	9.54 \pm 0.34	13.44 \pm 0.56	0.08 \pm 0.00	12.43 \pm 0.57	-9.95 \pm 0.42
	186C	7.12	49.20 \pm 0.48	11.03 \pm 0.28	15.22 \pm 0.71	0.09 \pm 0.00	6.23 \pm 0.20	-11.98 \pm 0.57
<i>Vochysia venulosa</i>	187H	14.87	70.97 \pm 0.83	12.02 \pm 0.39	23.78 \pm 0.68	0.10 \pm 0.00	-6.90 \pm 0.22	-13.73 \pm 0.64
	187C	3.89	38.68 \pm 1.98	6.48 \pm 0.3	12.85 \pm 0.44	0.07 \pm 0.00	-1.41 \pm 0.05	-14.97 \pm 0.66

Tabla 1. Continúa.

Plantas	Código	% Rendimiento	TPC mg GAE/g	% Inhibición		Valor Frap (%)	% Inhibición	
				DPPH	ABTS		α-glucosidasa	α-amilasa
<i>Tapirira guianensis</i>	188H	26.61	235.66 ± 2.05	51.05 ± 0.92	36.6 ± 0.44	0.74 ± 0.04	21.32 ± 0.81	-4.43 ± 0.12
	188C	17.95	270.66 ± 1.56	55.23 ± 0.33	37.59 ± 0.61	0.84 ± 0.04	79.86 ± 0.26	0.35 ± 0.01
<i>Himatanthus tarapotensis</i>	189H	16.64	89.82 ± 2.90	18.68 ± 0.69	18.62 ± 1.20	0.21 ± 0.00	13.81 ± 0.23	-1.29 ± 0.05
	189C	16.82	72.53 ± 6.08	15.72 ± 0.64	17.35 ± 0.44	0.14 ± 0.01	15.10 ± 0.61	-16.46 ± 0.78
<i>Piper aduncum</i>	190H	11.77	95.66 ± 15.16	17.17 ± 0.65	18.55 ± 0.74	0.16 ± 0.01	3.68 ± 0.09	-4.05 ± 0.08
	190C	6.91	83.05 ± 0.18	12.60 ± 0.41	16.29 ± 0.32	0.16 ± 0.01	6.37 ± 0.27	-10.61 ± 0.43
<i>Senna reticulata</i>	191H	16.02	84.09 ± 1.13	12.72 ± 0.53	22.21 ± 1.90	0.15 ± 0.00	5.06 ± 0.12	-12.83 ± 0.58
	191C	10.81	114.82 ± 0.65	19.15 ± 0.78	31.10 ± 0.49	0.20 ± 0.01	19.66 ± 0.89	-17.24 ± 0.79
<i>Garcinia madruno</i>	192H	13.78	91.18 ± 0.48	15.74 ± 0.55	17.98 ± 0.68	0.13 ± 0.00	9.26 ± 0.42	-3.42 ± 0.09
	192C	12.02	151.28 ± 2.98	29.61 ± 0.6	33.11 ± 0.98	0.27 ± 0.01	26.44 ± 0.84	-9.25 ± 0.34
<i>Inga edulis</i>	193H	17.02	269.72 ± 1.74	56.75 ± 1.03	40.77 ± 0.33	0.76 ± 0.04	11.26 ± 0.32	-18.87 ± 0.80
	193C	12.56	246.39 ± 1.00	54.28 ± 2.06	43.4 ± 0.12	0.87 ± 0.01	65.32 ± 1.03	-4.76 ± 0.11
<i>Genipa americana</i>	194H	22.27	72.01 ± 0.18	17.51 ± 0.67	18.43 ± 0.33	0.14 ± 0.00	-2.75 ± 0.09	-6.63 ± 0.07
	194C	9.25	38.78 ± 0.31	13.62 ± 0.66	13.75 ± 0.44	0.08 ± 0.00	-6.72 ± 0.19	-21.86 ± 0.82
<i>Hymenaea oblongifolia</i>	195H	13.88	215.24 ± 1.00	38.41 ± 1.79	30.91 ± 0.21	0.55 ± 0.01	32.3 ± 0.65	-19.23 ± 0.80
	195C	8.90	294.82 ± 0.72	67.64 ± 0.38	47.16 ± 0.54	0.75 ± 0.02	55.72 ± 1.77	3.62 ± 0.06
<i>Herrania nycterodendron</i>	196H	10.10	97.64 ± 0.36	18.68 ± 0.67	21.13 ± 0.85	0.24 ± 0.01	2.55 ± 0.03	-8.18 ± 0.37
	196C	5.34	55.66 ± 0.00	10.83 ± 0.35	16.30 ± 0.54	0.12 ± 0.00	0.14 ± 0.01	-4.31 ± 0.12
<i>Pouteria caimito</i>	197H	12.15	105.14 ± 1.83	26.67 ± 1.28	21.35 ± 0.58	0.27 ± 0.00	52.98 ± 0.29	-7.89 ± 0.39
	197C	12.12	215.55 ± 1.83	49.58 ± 1.16	37.18 ± 1.26	0.51 ± 0.01	32.91 ± 0.50	-7.02 ± 0.33
<i>Cecropia sciadophylla</i>	198H	25.17	203.26 ± 1.83	44.96 ± 1.02	37.55 ± 0.13	0.51 ± 0.01	2.02 ± 0.05	-7.21 ± 0.34
	198C	8.34	75.24 ± 1.48	18.41 ± 0.86	14.38 ± 0.00	0.15 ± 0.00	-13.31 ± 0.43	-5.36 ± 0.22
<i>Abuta grandifolia</i>	199H	10.23	102.95 ± 1.83	18.15 ± 0.77	17.50 ± 0.33	0.20 ± 0.01	-17.76 ± 0.37	-9.26 ± 0.46
	199C	11.02	149.82 ± 0.79	33.95 ± 0.52	32.03 ± 0.00	0.30 ± 0.01	-12.95 ± 0.54	-12.03 ± 0.54
<i>Vismia tomentosa</i>	200H	15.34	222.95 ± 2.08	53.87 ± 0.62	37.76 ± 1.28	0.50 ± 0.01	20.03 ± 0.44	-4.92 ± 0.19
	200C	6.16	217.64 ± 6.89	42.05 ± 0.28	30.86 ± 0.63	0.50 ± 0.02	35.14 ± 0.34	-17.52 ± 0.80
<i>Jacaranda copaia</i>	201H	21.65	129.61 ± 1.30	23.38 ± 0.92	24.51 ± 0.72	0.23 ± 0.01	-6.91 ± 0.32	-21.01 ± 0.83
	201C	21.84	59.30 ± 2.01	9.79 ± 0.33	13.48 ± 0.51	0.07 ± 0.00	-8.33 ± 0.41	-21.65 ± 0.83
<i>Ficus insípida</i>	202H	17.27	87.01 ± 1.18	24.69 ± 0.41	23.56 ± 0.77	0.19 ± 0.01	1.16 ± 0.02	-23.16 ± 0.84
	202C	5.39	40.55 ± 0.36	9.20 ± 0.16	15.11 ± 0.62	0.05 ± 0.00	-8.57 ± 0.19	-28.76 ± 0.88
<i>Solanum kioniotrichum</i>	203H	24.23	157.64 ± 2.01	25.76 ± 1.01	23.76 ± 0.31	0.32 ± 0.00	36.85 ± 0.41	-23.44 ± 0.84
	203C	13.04	79.30 ± 1.26	16.66 ± 0.54	15.11 ± 0.31	0.15 ± 0.00	-9.20 ± 0.16	-4.25 ± 0.14
<i>Bellucia pentámera</i>	204H	30.89	365.76 ± 4.49	78.13 ± 0.76	54.76 ± 0.31	0.92 ± 0.03	55.39 ± 0.31	-9.03 ± 0.35
	204C	31.95	280.66 ± 1.43	65.37 ± 0.53	48.08 ± 0.31	0.64 ± 0.02	40.53 ± 0.73	-13.51 ± 0.57

Tabla 1. Continúa.

Plantas	Código	% Rendimiento	TPC mg GAE/g	% Inhibición		Valor Frap (%)	% Inhibición	
				DPPH	ABTS		α-glucosidasa	α-amilasa
<i>Couma macrocarpa</i>	205H	19.82	229.82 ± 1.10	68.66 ± 0.89	50.88 ± 0.24	0.66 ± 0.03	53.91 ± 0.69	-16.96 ± 0.8
	205C	15.35	221.07 ± 1.78	57.89 ± 0.12	43.25 ± 0.94	0.58 ± 0.02	45.78 ± 0.45	-14.44 ± 0.39
<i>Cedrelinga cateniformis</i>	206H	16.44	32.84 ± 1.36	6.74 ± 0.18	19.33 ± 0.35	0.03 ± 0.00	-36.63 ± 0.72	-20.57 ± 0.82
	206C	8.34	274.41 ± 3.79	80.73 ± 1.23	77.31 ± 0.12	0.88 ± 0.01	55.01 ± 0.17	-13.60 ± 0.66
<i>Simarouba amara</i>	207H	24.54	370.55 ± 5.67	87.34 ± 0.28	61.50 ± 0.24	0.97 ± 0.04	71.11 ± 0.14	-19.10 ± 0.81
	207C	6.20	165.34 ± 0.54	46.48 ± 0.92	38.89 ± 1.13	0.44 ± 0.01	28.02 ± 1.32	-23.84 ± 0.85
<i>Spondias mombin</i>	208H	20.51	172.11 ± 0.18	45.79 ± 0.88	41.95 ± 1.05	0.42 ± 0.02	24.53 ± 0.74	-15.93 ± 0.79
	208C	19.05	330.24 ± 10.74	86.65 ± 0.38	53.60 ± 0.31	0.93 ± 0.04	93.98 ± 0.10	43.17 ± 1.21
<i>Aniba rosaeodora</i>	209H	18.87	194.30 ± 0.65	41.30 ± 1.11	41.00 ± 0.54	0.43 ± 0.01	22.01 ± 0.28	-21.41 ± 0.83
	209C	10.79	239.09 ± 16.20	51.82 ± 0.43	51.62 ± 0.41	0.52 ± 0.01	0.09 ± 0.00	-19.54 ± 0.82
<i>Parkia multijuga</i>	210H	17.34	295.76 ± 3.93	66.81 ± 0.71	69.14 ± 0.33	0.83 ± 0.03	61.47 ± 0.21	-11.61 ± 0.37
	210C	23.19	318.26 ± 3.43	70.49 ± 0.59	64.26 ± 0.33	0.89 ± 0.01	58.81 ± 0.20	-21.60 ± 0.83
<i>Bertholletia excelsa</i>	211H	19.39	230.66 ± 3.01	62.86 ± 0.41	45.05 ± 0.33	0.70 ± 0.03	71.78 ± 0.36	0.58 ± 0.02
	211C	20.26	333.57 ± 6.60	86.31 ± 0.47	62.66 ± 0.22	1.07 ± 0.02	84.92 ± 0.15	2.21 ± 0.07
<i>Handroanthus incanus</i>	212H	12.79	65.55 ± 1.00	13.63 ± 0.51	17.83 ± 0.45	0.13 ± 0.00	2.34 ± 0.10	1.61 ± 0.02
	212C	14.22	35.55 ± 0.36	9.56 ± 0.31	14.34 ± 0.33	0.05 ± 0.00	6.62 ± 0.32	-5.01 ± 0.08
<i>Virola sebifera</i>	213H	18.05	242.95 ± 2.35	64.49 ± 0.15	48.33 ± 0.25	0.65 ± 0.01	40.46 ± 0.37	-20.39 ± 0.87
	213C	9.87	283.16 ± 6.90	46.71 ± 0.55	33.92 ± 1.28	0.65 ± 0.03	26.97 ± 1.00	-15.03 ± 0.63
<i>Cespedesia spathulata</i>	214H	13.78	159.61 ± 2.19	74.45 ± 0.15	50.87 ± 1.03	0.37 ± 0.01	61.23 ± 0.08	4.01 ± 0.09
	214C	11.40	338.68 ± 2.39	84.81 ± 0.38	57.12 ± 0.45	0.83 ± 0.03	65.23 ± 0.63	2.72 ± 0.07
Ácido ascórbico #		-	-	86.07 ± 0.08	39.18 ± 0.15	-	-	-
Acarbosa #		-	-	-	-	-	7.44 ± 0.21	52.18 ± 2.21

Compuesto estándar

valor más bajo. Asimismo, 21 extractos de plantas presentaron valores igual o mayor a los 340 mg de GAE/g de extracto. Estos valores son superiores a lo reportado por Tauchen *et al.* (2016), para diferentes especies de plantas medicinales y comestibles colectadas en fincas aledañas a la ciudad de Pucallpa en la Amazonía peruana. También son valores superiores a los reportados para frutos amazónicos, entre ellos el camu camu (*Myrciaria dubia*), la guanábana (*Anona muricata*), el ubos (*Spondias mombin*) y el caimito (*Pouteria caimito*) (Fernandez *et al.*, 2018), y para especies de plantas nativas de la provincia de Guayas del Ecuador (María *et al.*, 2018). El contenido de fenoles de muchas de las especies es notablemente superior al reportado comúnmente para la flora amazónica, posicionándolas como fuentes excepcionalmente ricas en estos compuestos.

En el ensayo de DPPH, los valores de porcentaje de inhibición oscilaron desde 3.93 % hasta 90.63 %, de los cuales 32 extractos mostraron un buen potencial inhibidor con un porcentaje mayor al 80 %, similar al mostrado por el ácido ascórbico, utilizado como patrón de referencia, con un 86.07 %. El extracto hidroalcohólico de las hojas de *Ruptiliocarpon caracolito* (139H) fue el que presentó el mayor porcentaje de inhibición, seguido de las hojas de *Conceveiba rhytidocarpa* (57H) y la corteza de *R. guianensis* (46C) con 89.90 % y 89.68 %, respectivamente. De la corteza de *R. caracolito* se ha aislado una familia inusual de triterpenoides con potentes propiedades anti-alimentarias para los insectos (Asim *et al.*, 2010), los cuales podrían estar relacionados con el buen efecto antioxidante de esta especie (Daraban *et al.*, 2022). Mencionar que, todos los extractos hidroalcohólicos que mostraron una inhibición del radical DPPH superior al 50 % ($IC_{50} < 10 \mu\text{g/mL}$), en total 168, se consideran extractos con una actividad antioxidante alta (Phongpaichit *et al.*, 2007).

Para la inhibición del radical ABTS, los resultados mostraron una tendencia similar a los datos reportados para el DPPH, con una alta inhibición a bajas concentraciones, con valores en un rango de 2.10 % a 91.51 %. Veintidós (22) extractos presentaron valores de porcentajes de inhibición mayores al 60 %, siendo superiores a lo mostrado por el control de referencia, ácido ascórbico, con un 30.18 %. El extracto hidroalcohólico de la corteza de *Caryocar glabrum* (172C) fue el que presentó el valor más alto, seguidos de las cortezas de *R. guianensis* (46C) y *Trichilia poeppigii* (22C), con un 88.85 y 79.13 % de inhibición, respectivamente. De la corteza de *C. glabrum* se han aislado compuestos del tipo glucósidos de dihidroisocumarina (Magid *et al.*, 2007). Las dihidroisocumarinas son compuestos fenólicos que unidos a un glicósido pueden presentar una buena actividad antioxidante, dependiendo del número de grupos hidroxilos y la glicosilación (Al-Tamimi *et al.*, 2020; Shabir *et al.*, 2024, 2021).

El potencial antioxidante mediante la prueba de FRAP, un método que mide la reducción del ion férrico (Fe^{3+}) al ion ferroso (Fe^{2+}) mediante antioxidantes en entornos ácidos (Munteanu & Apetrei, 2021), se expresó en relación con el ácido ascórbico. Los valores de inhibición de los extractos oscilaron entre 0.01 % y 1.61 %. Veinte (20) muestras presentaron un valor FRAP (%) igual o superior al 1.00 %. La corteza de *R. guianensis* (46C) fue la que presentó el valor más alto, seguido de las cortezas de *T. poeppigii* (22C) y *P. stevensonii* (161C), con 1.58 % y 1.52 %, respectivamente.

Por otra parte, es importante destacar que los siguientes extractos hidroalcohólicos, las hojas de *Eschweilera coriacea* (9H), *Eugenia patriisii* (93H), y las cortezas de *T. poeppigii* (22C), *R. guianensis* (46C), *Jacqueshuberia lorentensis* (61C), *Ecclinusa guianensis* (77C) y *D. cuspidata* (170C), presentaron valores elevados en los 3 ensayos de actividad antioxidante y así como,

en el contenido de fenoles totales. Cabe mencionar, que en la bibliografía no existe información relevante sobre identificación de compuestos químicos y evaluación de actividades biológicas de estas especies, que presentaron resultados sobresalientes en los diferentes ensayos de actividad antioxidante, lo que se presenta como una buena alternativa para futuros estudios. Otras especies que mostraron resultados interesantes son aquellas que tanto la hoja como la corteza presentaron buenos resultados, como es el caso de *Sloanea spathulata* (65) y *R. caracolito* (172). Las cuales pueden ser candidatas para un estudio integral de todas las partes de la planta.

POTENCIAL DE INHIBICIÓN ENZIMÁTICA

Los resultados de la actividad anti-enzimática de los 428 extractos hidroalcohólicos sobre las enzimas α -glucosidasa y α -amilasa, se muestran en la Tabla 1. Con respecto a la α -glucosidasa, 23 extractos presentaron un porcentaje de inhibición mayor al 80 %, valores superiores al mostrado por la acarbosa, utilizado como patrón de referencia, con un 7.44 %. El extracto hidroalcohólico de las hojas de *E. patrisii* (93H) fue el que presentó el mayor porcentaje de inhibición (98.50 %), seguido de las hojas de *Calliandra trinervia* (144H), la corteza de *S. mombin* (208C), las hojas de *Hurtea glandulosa* (155H) y la corteza de *Inga ciliata* (133C), con 94.81, 93.98, 93.63 y 92.16 %, respectivamente.

Respecto a la enzima α -amilasa, el extracto hidroalcohólico con mayor porcentaje de inhibición fue nuevamente las hojas de *E. patrisii* (93H) con un 83.44 %, superior al estándar acarbosa que presentó un porcentaje de inhibición del 52.18 %, seguido de las cortezas de *S. mombin* (208C) y *Alchornea triplinervia* (107C), con un 43.17 y 40.69 %, respectivamente.

A varias especies del género *Eugenia*, se les atribuye altas concentraciones de compuestos

fenólicos, taninos hidrolizables y flavonoides, que pueden estar relacionados con su buena actividad antidiabética (Souza *et al.*, 2018). En el aceite esencial extraído de las hojas de *E. patrisii*, se encontraron sesquiterpenoides en altas concentraciones, identificando al germacreno D, biciclogermacreno y E-cariofileno como los principales componentes (Franco *et al.*, 2021). A diferencia de la gran mayoría de las plantas de este estudio, *S. mombin* (208), es una especie muy utilizada tradicionalmente para tratar diferentes enfermedades y su fruto se consume como alimento. En estudios recientes se ha demostrado que los extractos de acetato de etilo y n-butanol de la corteza de *S. mombin* poseen un buen potencial como antioxidantes y antidiabéticos a nivel de ensayos *in vitro* como *in vivo* (Omoboyowa *et al.*, 2025, 2023).

En cuanto a los valores negativos observados en la actividad inhibitoria de varios de extractos, es probable que, ciertos compuestos presentes en cada extracto estén potenciando la actividad enzimática. Esto podría ser el resultado de un cambio conformacional resultante de la unión de estos compuestos a sitios activos específicos de las enzimas α -glucosidasa y α -amilasa (KIM *et al.*, 2000); no obstante, se requieren más datos experimentales para comprobar esta hipótesis.

A las especies con alta inhibición de la enzima α -glucosidasa y alta-moderada inhibición de α -amilasa, se les podría considerar para futuros estudios como posibles candidatas prometedoras para el manejo de la diabetes mellitus tipo 2 (Dirir *et al.*, 2022).

ANÁLISIS DE COMPONENTES PRINCIPALES (ACP)

El Análisis de Componentes Principales (ACP), basado en la matriz de correlación de los valores de DPPH, FRAP, ABTS, TPC, α -amilasa y α -glucosidasa, explicó una variabilidad total del 87.39%,

distribuida en un 71.15% para el primer componente (CP1) y un 16.24% para el segundo componente (CP2) (Tabla S2). La prueba permitió identificar los extractos hidroalcohólicos destacados, al concentrar los mayores autovalores en los componentes principales asociados a dichos ensayos biológicos (Figura 2).

Las variables DPPH, FRAP, ABTS, TPC y α -glucosidasa mostraron las mayores cargas en el CP1. En contraste, la variable α -amilasa presentó la contribución más elevada en el CP2, y en menor medida la α -glucosidasa (Tabla S3). Considerando la relevancia de los parámetros en el CP1 y CP2, se identificaron como extractos destacados a aquellos con autovalores superiores a 3.41 en el CP1, y autovalores superiores a 1.08 en el CP2 (Tabla S4). Bajo estos criterios, en el CP1 se identificaron 28 extractos hidroalcohólicos pertenecientes a 25 especies vegetales con alto potencial antioxidante y significativa inhibición frente a la α -glucosidasa. Destacando las especies *S. spathulata* (65), *E. patrisii* (93) y *C. glabrum* (172) de las cuales los extractos de las hojas y las cortezas presentaron buen potencial, lo que refuerza la idea de realizar un estudio integral a futuro de todas las partes de estas especies.

De los 28 extractos seleccionados, en lo que corresponde al CP2, se identifican cuatro (04) extractos hidroalcohólicos con significativa actividad antioxidante y potencial de inhibición enzimática en general: las hojas de *E. patrisii* (93H) y *P. opacum* (36 H), y las cortezas de *S. mombin* (208C) e *I. ciliata* (133C) (Figura S1).

ANÁLISIS DE CORRELACIÓN

El análisis de correlación de Spearman ($p < 0.00001$) evidenció relaciones altamente significativas entre los parámetros antioxidantes (DPPH, ABTS, FRAP), fenoles totales (TPC) y las actividades inhibitorias de las enzimas α -glucosidasa y α -amilasa. Los valores obtenidos

muestran correlaciones positivas y muy fuertes entre los ensayos antioxidantes y fenoles totales, con coeficientes que oscilaron entre 0.90 y 0.96. Las asociaciones más elevadas se registraron entre FRAP y TPC ($r = 0.959$), DPPH y ABTS ($r = 0.930$) y DPPH y FRAP ($r = 0.919$), lo que indica una estrecha relación entre el contenido de fenoles totales y la capacidad antioxidante evaluada por diferentes métodos. Estos resultados sugieren que los compuestos fenólicos desempeñan un papel fundamental en la actividad reductora y en la neutralización de radicales libres presentes en los extractos analizados.

Por otro lado, se observaron correlaciones moderadas y positivas entre los parámetros antioxidantes y la inhibición de α -glucosidasa ($r = 0.64-0.70$), siendo DPPH ($r = 0.696$) y FRAP ($r = 0.682$) los que mostraron las mayores asociaciones con esta enzima. Esto evidencia que los extractos con mayor capacidad antioxidante tienden también a poseer una mayor actividad inhibitoria de α -glucosidasa. En contraste, las correlaciones con la inhibición de α -amilasa fueron bajas ($r = 0.19-0.27$), lo que indica que esta actividad se encuentra débilmente asociada con la capacidad antioxidante y con el contenido de fenoles (Figura 3).

CONCLUSIONES

Este estudio constituye el primer reporte y una de las evaluaciones más amplias sobre el contenido de fenoles totales, la actividad antioxidante y el potencial inhibidor de enzimas relacionadas con la diabetes, de un banco de extractos representativo de la biodiversidad amazónica conformado por 428 muestras elaborados a partir de las hojas y cortezas de 214 especies de plantas.

En cuanto al contenido de fenoles totales y la actividad antioxidante, las hojas de *E. coriacea* (9H), *E. patrisii* (93H), y las cortezas de *T.*

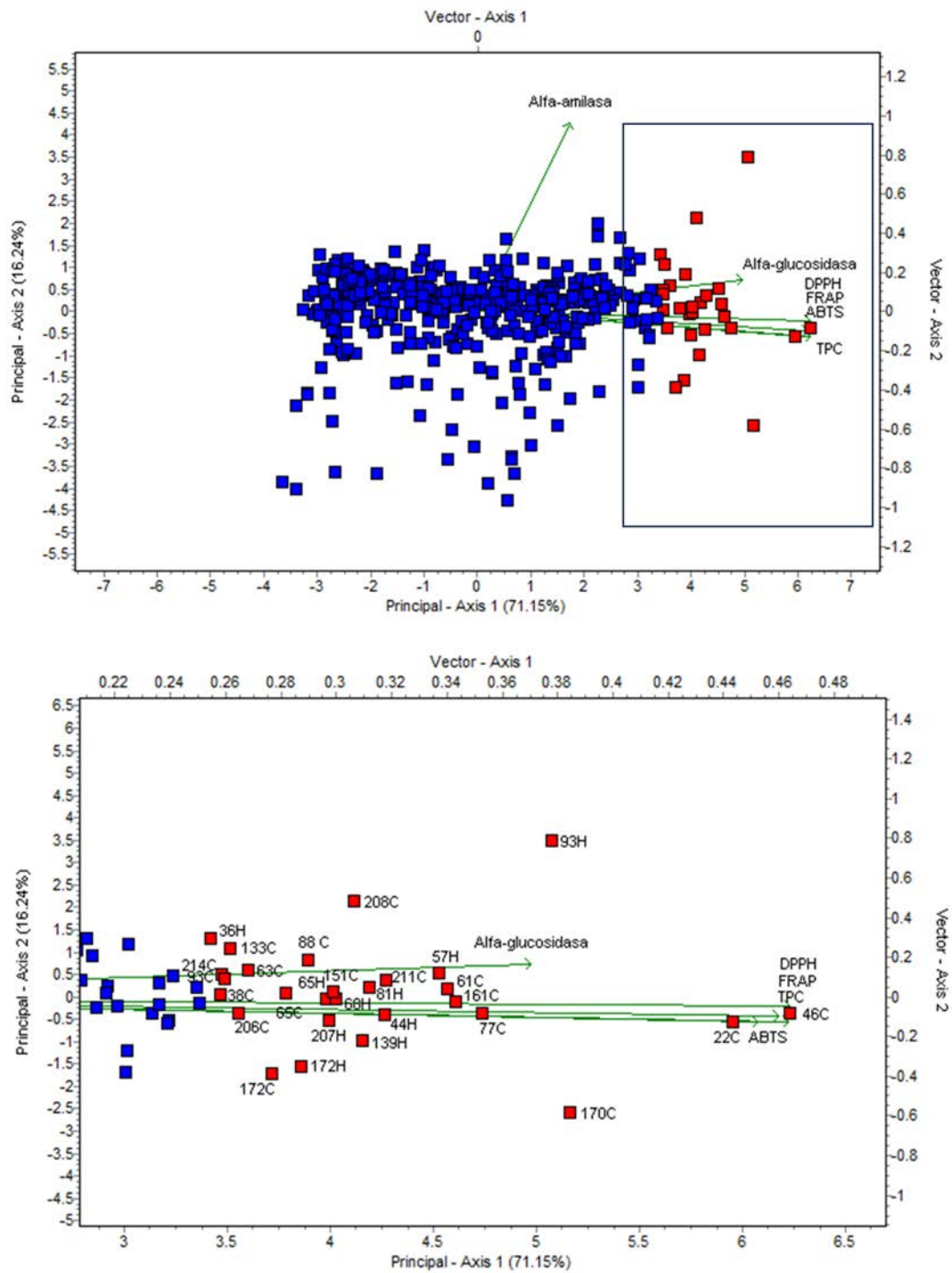


Figura 2. Análisis de Componentes Principales (ACP) basado en los parámetros de actividad antioxidante, fenoles totales y potencial inhibidor enzimático de los extractos vegetales.

	ABTS	FRAP	TPC	Alfa-glucosidasa	Alfa-amilasa
DPPH	0.93	0.919	0.911	0.696	0.268
ABTS		0.903	0.907	0.646	0.196
FRAP			0.959	0.682	0.222
TPC				0.664	0.203
Alfa-glucosidasa					0.278

Figura 3. Matriz de correlación de Spearman entre parámetros de actividad antioxidante, fenoles totales y potencial inhibidor enzimático de los extractos hidroalcohólico. Colores más oscuros indican mayor coeficiente de correlación (r). Todas las combinaciones tuvieron al menos $p < 0.00001$.

poepigii (22C), *R. guianensis* (46C), *J. lorentensis* (61C), *E. guianensis* (77C) y *D. cuspidata* (170C), fueron los extractos más potentes, con valores notablemente superiores a lo reportado para especies amazónicas, especialmente considerando las bajas concentraciones utilizadas en los ensayos, lo cual los posiciona como fuente excepcional de compuestos bioactivos.

Los extractos hidroalcohólicos de las hojas de *E. patrisii* (93H) y la corteza de *S. mombin* (208C), presentaron un alto potencial inhibidor de las enzimas α -glucosidasa y α -amilasa, asimismo, tienen un perfil de selectividad que es altamente deseable para el desarrollo de terapias antidiabéticas más seguras.

El análisis de componentes principales (ACP) permitió identificar 28 extractos hidroalcohólicos pertenecientes a 25 especies como destacados. Presentando valores con alto potencial antioxidante y significativa inhibición enzimática en conjunto. La combinación de un alto potencial antioxidante y un perfil de selectividad enzimática favorable coloca a estos extractos, particularmente a las hojas de *E. patrisii* (93H), en una posición excelente para ser considerados en el desarrollo de suplementos nutraceuticos o fitomedicamentos para el manejo de la diabetes y el estrés oxidativo.

Este estudio no solo confirma el potencial de géneros ampliamente conocidos, sino que también revela el valor, hasta ahora subestimado, de numerosas otras especies, las cuales se perfilan como candidatas prioritarias para futuras investigaciones. Asimismo, pone de manifiesto el potencial y el aprovechamiento futuro de un banco de extractos para su análisis mediante cribado de alto rendimiento (HTS) en la evaluación de otras actividades biológicas.

Estos hallazgos refuerzan la importancia de la biodiversidad amazónica como reservorio de metabolitos de interés biomédico y abren la posibilidad de desarrollar alternativas terapéuticas basadas en recursos naturales de la región.

AGRADECIMIENTOS

Al Banco Interamericano de Desarrollo (BID), por el financiamiento de la investigación. Número de contrato RG-T4005-P002.

REFERENCIAS BIBLIOGRÁFICAS

Al-Tamimi, M.; Al-Massarani, S.M.; El-Gamal, A.A.; Basudan, O.A.; Abdel-Kader, M.S.; Abdel-Mageed, W.M. 2020. Vacillantins A and B, New Anthrone C-glycosides, and a New

- Dihydroisocoumarin Glucoside from Aloe vacillans and Its Antioxidant Activities *Plants*, 9(12): 1632 DOI: <https://doi.org/10.3390/plants9121632>
- Aryal, D.; Joshi, S.; Thapa, N.K.; Chaudhary, P.; Basaula, S.; Joshi, U.; Bhandari, D.; Rogers, H.M.; Bhattarai, S.; Sharma, K.R.; Regmi, B.P.; Parajuli, N. 2024. Dietary phenolic compounds as promising therapeutic agents for diabetes and its complications: A comprehensive review *Food Science & Nutrition*, 12(5): 3025-3045 DOI: <https://doi.org/10.1002/fsn3.3983>
- Asim, M.; Hussien, H.; Poveda, L.; Arnason, J.T.; Durst, T. 2010. Triterpenoids from the bark of *Ruptiliocarpon caracolito* *Phytochemistry*, 71(11): 1418-1422 DOI: <https://doi.org/10.1016/j.phytochem.2010.04.020>
- Burlando, B.; Cornara, L. 2017. Revisiting Amazonian Plants for Skin Care and Disease Cosmetics, 4(3): 25 DOI: <https://doi.org/10.3390/cosmetics4030025>
- Castro, J.C.; Maddox, J.D.; Cobos, M.; Paredes, J.D.; Fasabi, A.J.; Vargas-Arana, G.; Marapara, J.L.; Adrianzen, P.M.; Casuso, M.Z.; Estela, S.L.; Castro, J.C.; Maddox, J.D.; Cobos, M.; Paredes, J.D.; Fasabi, A.J.; Vargas-Arana, G.; Marapara, J.L.; Adrianzen, P.M.; Casuso, M.Z.; Estela, S.L. 2018. Medicinal Plants of the Peruvian Amazon: Bioactive Phytochemicals, Mechanisms of Action, and Biosynthetic Pathways. *Pharmacognosy - Medicinal Plants*. IntechOpen DOI: <https://doi.org/10.5772/intechopen.82461>
- Chew, N.W.S.; Ng, C.H.; Tan, D.J.H.; Kong, G.; Lin, C.; Chin, Y.H.; Lim, W.H.; Huang, D.Q.; Quek, J.; Fu, C.E.; Xiao, J.; Syn, N.; Foo, R.; Khoo, C.M.; Wang, J.-W.; Dimitriadis, G.K.; Young, D.Y.; Siddiqui, M.S.; Lam, C.S.P.; Wang, Y.; Figtree, G.A.; Chan, M.Y.; Cummings, D.E.; Nouredin, M.; Wong, V.W.-S.; Ma, R.C.W.; Mantzoros, C.S.; Sanyal, A.; Muthiah, M.D. 2023. The global burden of metabolic disease: Data from 2000 to 2019 *Cell Metabolism*, 35(3): 414-428.e3 DOI: <https://doi.org/10.1016/j.cmet.2023.02.003>
- Daraban, G.M.; Rusu, L.; Dinica, R.M.; Roşca, M.; Badeanu, M.; Mihaila, M.D.I.; Suteu, D. 2022. Exploring the Antioxidant and Bioinsecticidal Activity of Spontaneous Flora Vegetal Extracts for Plant Protection and Prevention of Soil Contamination *Separations*, 9(9): 260 DOI: <https://doi.org/10.3390/separations9090260>
- Díaz, D.M.V. 2013. Multivariate analysis of morphological and anatomical characters of *Calophyllum* (Calophyllaceae) in South America *Botanical Journal of the Linnean Society*, 171(3): 587-626 DOI: <https://doi.org/10.1111/boj.12012>
- Dirir, A.M.; Daou, M.; Yousef, A.F.; Yousef, L.F. 2022. A review of alpha-glucosidase inhibitors from plants as potential candidates for the treatment of type-2 diabetes *Phytochemistry Reviews*, 21(4): 1049-1079 DOI: <https://doi.org/10.1007/s11101-021-09773-1>
- Fernandez, I.M.; Chagas, E.A.; Filho, A.A.M.; Maldonado, S.A.S.; Santos, R.C.D.; Chagas, P.C.; Duarte, E.D.R.D.S. 2018. Evaluation of Total Phenolic Compounds and Antioxidant Activity in Amazon Fruit *Chemical Engineering Transactions*, 64: 649-654 DOI: <https://doi.org/10.3303/CET1864109>
- Franco, C. de J.P.; Ferreira, O.O.; Antônio Barbosa de Moraes, Â.; Varela, E.L.P.; Nascimento, L.D. do; Percário, S.; de Oliveira, M.S.; Andrade, E.H. de A. 2021. Chemical Composition and Antioxidant Activity of Essential Oils from *Eugenia patrisii* Vahl, *E. puniceifolia* (Kunth) DC., and *Myrcia tomentosa* (Aubl.) DC., Leaf of Family Myrtaceae *Molecules*, 26(11): 3292 DOI: <https://doi.org/10.3390/molecules26113292>
- Gentry, A.H. 1993. A field guide to the families and genera of woody plants of northwest South America (Colombia, Ecuador, Peru), with supplementary

- notes on herbaceous taxa. Washington, DC: Conservation International. 895pp.
- Gomez, R.Z.; Vargas, T.J.M.; Arevalo, F.F.R.; Doza, H.P.D.; Gonzales, G.P.G.; Huaymacari, G.C. 2015. Updated List and identification key of 219 tree species of white sand forests of the Allpahuayo Mishana National Reserve, Loreto, Peru *Acta Amazonica*, 45: 133-156 DOI: <https://doi.org/10.1590/1809-4392201402922>
- Indrianiingsih, A.W.; Tachibana, S.; Dewi, R.T.; Itoh, K. 2015. Antioxidant and α -glucosidase inhibitor activities of natural compounds isolated from *Quercus gilva* Blume leaves *Asian Pacific Journal of Tropical Biomedicine*, 5(9): 748-755 DOI: <https://doi.org/10.1016/j.apjtb.2015.07.004>
- International Diabetes Federation. 2025. IDF Diabetes Atlas, 11th ed. International Diabetes Federation
- Judd, W.S.; Campbell, C.S.; Kellogg, E.A.; Stevens, P.F.; Donoghue, M.J. 1999. Plant systematics: a phylogenetic approach *Ecología mediterránea*, 25(2): 215
- Kashtoh, H.; Baek, K.-H. 2023. New Insights into the Latest Advancement in α -Amylase Inhibitors of Plant Origin with Anti-Diabetic Effects *Plants*, 12(16): 2944 DOI: <https://doi.org/10.3390/plants12162944>
- Kim J.-S.; Kwon, C.-S.; Son, K.H. 2000. Inhibition of Alpha-glucosidase and Amylase by Luteolin, a Flavonoid *Bioscience, Biotechnology, and Biochemistry*, 64(11): 2458-2461 DOI: <https://doi.org/10.1271/bbb.64.2458>
- Liu, X.; Zhu, L.; Tan, J.; Zhou, X.; Xiao, L.; Yang, X.; Wang, B. 2014. Glucosidase inhibitory activity and antioxidant activity of flavonoid compound and triterpenoid compound from *Agrimonia Pilosa* Ledeb *BMC Complementary and Alternative Medicine*, 14(1): 12 DOI: <https://doi.org/10.1186/1472-6882-14-12>
- López-Martínez, L.X.; Aguilar Cisneros, L.M.; Dublán-García, O. 2014. Actividad antioxidante e inhibidora de α -glucosidasa y α -amilasa de tres variedades de cebolla (*Allium cepa* L.) *Nova scientia*, 6(12): 234-347
- Maas, P.J.M.; Chatrou, L.W. 1996. Studies in Annonaceae XXVII. Novelties in neotropical Annonaceae *Feddes Repertorium*, 106(5-8): 341-346 DOI: <https://doi.org/10.1002/fedr.19961060504>
- Maas, P.; Westra, L.Y.T.; Vermeer, M. 2007. Revision of the Neotropical genera *Bocageopsis*, *Onychopetalum*, and *Unonopsis* (Annonaceae) *Blumea: Biodiversity, Evolution and Biogeography of Plants*, 52(3): 413-554
- Magid, A.A.; Voutquenne-Nazabadioko, L.; Moroy, G.; Moretti, C.; Lavaud, C. 2007. Dihydroisocoumarin glucosides from stem bark of *Caryocar glabrum* *Phytochemistry, Reports on Structure Elucidation* 68(19): 2439-2443 DOI: <https://doi.org/10.1016/j.phytochem.2007.05.011>
- María, R.; Shirley, M.; Xavier, C.; Jaime, S.; David, V.; Rosa, S.; Jodie, D. 2018. Preliminary phytochemical screening, total phenolic content and antibacterial activity of thirteen native species from Guayas province Ecuador *Journal of King Saud University - Science*, 30(4): 500-505 DOI: <https://doi.org/10.1016/j.jksus.2017.03.009>
- Munteanu, I.G.; Apetrei, C. 2021. Analytical Methods Used in Determining Antioxidant Activity: A Review *International Journal of Molecular Sciences*, 22(7): 3380 DOI: <https://doi.org/10.3390/ijms22073380>
- Omoboyowa, D.A.; Agoi, M.D.; Shodehinde, S.A.; Saibu, O.A.; Saliu, J.A. 2023. Antidiabetes study of *Spondias mombin* (Linn) stem bark fractions in high-sucrose diet-induced diabetes in *Drosophila melanogaster* *Journal of Taibah University Medical Sciences*, 18(4): 663-675 DOI: <https://doi.org/10.1016/j.jtumed.2023.01.011>

- Omoboyowa, D.; Aribigbola, T.; Fagbomedo, O.; Oni, A. 2025. Anti-diabetic Effect of Ethyl acetate Extract of *Spondias mombin* (Linn) Stem Bark in Streptozotocin-Induced Diabetic Rats *Tropical Journal of Natural Product Research*, 9(5): 2191-2197 DOI: <https://doi.org/10.26538/tjnpr/v9i5.45>
- Pennington, T.D. 1990. Sapotaceae *Flora Neotropica*, (52): 1-770
- Phongpaichit, S.; Nikom, J.; Rungjindamai, N.; Sakayaroj, J.; Hutadilok-Towatana, N.; Rukachaisirikul, V.; Kirtikara, K. 2007. Biological activities of extracts from endophytic fungi isolated from *Garcinia* plants *FEMS Immunology & Medical Microbiology*, 51(3): 517-525 DOI: <https://doi.org/10.1111/j.1574-695X.2007.00331.x>
- Pico-Poma, J.P.; Chiriboga-Ruilova, M.V.; Sarabia-Guevara, D.A.; Landívar-Valverde, M.D.; Pico-Poma, J.P.; Chiriboga-Ruilova, M.V.; Sarabia-Guevara, D.A.; Landívar-Valverde, M.D. 2024. Frutas y vegetales amazónicos como materia prima para la producción de alimentos *Agroecología Global. Revista Electrónica de Ciencias del Agro y Mar*, 6(10): 75-88 DOI: <https://doi.org/10.35381/a.g.v6i10.3578i>
- Rana, A.; Samtiya, M.; Dhewa, T.; Mishra, V.; Aluko, R.E. 2022. Health benefits of polyphenols: A concise review *Journal of Food Biochemistry*, 46(10): e14264 DOI: <https://doi.org/10.1111/jfbc.14264>
- Re, R.; Pellegrini, N.; Proteggente, A.; Pannala, A.; Yang, M.; Rice-Evans, C. 1999. Antioxidant activity applying an improved ABTS radical cation decolorization assay *Free Radical Biology and Medicine*, 26(9-10): 1231-1237 DOI: [https://doi.org/10.1016/S0891-5849\(98\)00315-3](https://doi.org/10.1016/S0891-5849(98)00315-3)
- Ribeiro, J.E.L. da S. 1999. *Flora da Reserva Ducke: guia de identificação das plantas vasculares de uma floresta de terra-firme na Amazônia Central*. INPA. 828pp.
- Rodríguez-Cortina, A.; Hernández-Carrión, M. 2025. Amazonian fruits in Colombia: Exploring bioactive compounds and their promising role in functional food innovation *Journal of Food Composition and Analysis*, 137: 106878 DOI: <https://doi.org/10.1016/j.jfca.2024.106878>
- Rojas-Ocampo, E.; Torrejón-Valqui, L.; Muñoz-Astecker, L.D.; Medina-Mendoza, M.; Mori-Mestanza, D.; Castro-Alayo, E.M. 2021. Antioxidant capacity, total phenolic content and phenolic compounds of pulp and bagasse of four Peruvian berries *Heliyon*, 7(8): e07787 DOI: <https://doi.org/10.1016/j.heliyon.2021.e07787>
- Sagar, N.A.; Pareek, S. 2020. Antimicrobial assessment of polyphenolic extracts from onion (*Allium cepa* L.) skin of fifteen cultivars by sonication-assisted extraction method *Heliyon*, 6(11): e05478 DOI: <https://doi.org/10.1016/j.heliyon.2020.e05478>
- Salau, V.F.; Erukainure, O.L.; Islam, Md.S. 2020. Chapter 29 - Phenolics: therapeutic applications against oxidative injury in obesity and type 2 diabetes pathology *En: Preedy, V.R. (Ed.). Pathology. Academic Press*. p. 297-307 DOI: <https://doi.org/10.1016/B978-0-12-815972-9.00029-9>
- Salih, A.M.; Al-Qurainy, F.; Nadeem, M.; Tarroum, M.; Khan, S.; Shaikhaldein, H.O.; Al-Hashimi, A.; Alfagham, A.; Alkahtani, J. 2021. Optimization Method for Phenolic Compounds Extraction from Medicinal Plant (*Juniperus procera*) and Phytochemicals Screening *Molecules*, 26(24): 7454 DOI: <https://doi.org/10.3390/molecules26247454>
- Sánchez-González, A. 2007. Técnicas de recolecta y herborización de plantas. *La Sistemática, base del conocimiento de la biodiversidad*. Universidad Autónoma del Estado de Hidalgo. p. 177-193
- Shabir, G.; Saeed, A.; El-Seedi, H.R. 2021. Natural isocoumarins: Structural styles and biological activities, the revelations carry on...

- Phytochemistry, 181: 112568 DOI: <https://doi.org/10.1016/j.phytochem.2020.112568>
- Shabir, G.; Saeed, A.; Haq, M.; Choudry, F.; Kiran, R.; Irfan, M.; Tariq, S.; El-Seedi, H.R. 2024. Update on Chemistry and Biological Activities of Naturally Occuring Isocoumarins and 3,4-Dihydroisocoumarins (A Review) Russian Journal of Bioorganic Chemistry, 50(6): 2426-2444 DOI: <https://doi.org/10.1134/S1068162024060153>
- Sharma, O.P.; Bhat, T.K. 2009. DPPH antioxidant assay revisited Food Chemistry, 113(4): 1202-1205 DOI: <https://doi.org/10.1016/j.foodchem.2008.08.008>
- Souza, A.M. de; Oliveira, C.F. de; Oliveira, V.B. de; Betim, F.C.M.; Miguel, O.G.; Miguel, M.D. 2018. Traditional Uses, Phytochemistry, and Antimicrobial Activities of Eugenia Species – A Review Planta Medica, 84: 1232-1248 DOI: <https://doi.org/10.1055/a-0656-7262>
- Spichiger, R.; Méroz, J.; Loizeau, P.; Stutz, L. 1990. Contribución a la Flora de la Amazonía Peruana: Los Árboles del Arboretum Jenaro Herrera. Conservatoire et Jardin Botanique de Genève, Génova. 565pp.
- Tauchen, J.; Bortl, L.; Huml, L.; Miksatkova, P.; Doskocil, I.; Marsik, P.; Villegas, P.P.P.; Flores, Y.B.; Damme, P.V.; Lojka, B.; Havlik, J.; Lapcik, O.; Kokoska, L. 2016. Phenolic composition, antioxidant and anti-proliferative activities of edible and medicinal plants from the Peruvian Amazon Revista Brasileira de Farmacognosia, 26(6): 728-737 DOI: <https://doi.org/10.1016/j.bjp.2016.03.016>
- Vargas-Arana, G.; Rengifo-Salgado, E.; Simirgiotis, M.J. 2023. Potencial antidiabético de plantas medicinales de la amazonía peruana: Una revisión Boletín Latinoamericano y del Caribe de Plantas Medicinales y Aromáticas, 22(3): 277-300 DOI: <https://doi.org/10.37360/blacpma.23.22.3.21>
- Vargas-Arana, G.; Torres-Benítez, A.; Ortega-Valencia, J.E.; Merino-Zegarra, C.; Carranza-Rosales, P.; Simirgiotis, M.J. 2025. Untargeted Chemical Profile, Antioxidant, and Enzyme Inhibition Activity of Physalis angulata L. from the Peruvian Amazon: A Contribution to the Validation of Its Pharmacological Potential Antioxidants, 14(3): 246 DOI: <https://doi.org/10.3390/antiox14030246>
- Vásquez Martínez, R.; Rojas Gonzáles, R. 2004. Plantas de la Amazonía peruana: clave para identificar las familias de Gymnospermae y Angiospermae. Museo de Historia Natural, Trujillo, Perú DOI: <https://doi.org/10.5962/bhl.title.61812>
- Vásquez, R.; Lleras, A.R. 1997. Flórula de las reservas biológicas de Iquitos, Perú: Allpahuayo-Mishana, Explornapo Camp, Explorama Lodge. Missouri Botanical Garden. 1072pp.
- Werff, H. van der. 2008. A Synopsis of the Genus Tachigali (Leguminosae: Caesalpinioideae) in Northern South America Annals of the Missouri Botanical Garden, 95(4): 618-661 DOI: <https://doi.org/10.3417/2007159>
- Willcox, M.L.; Elugbaju, C.; Al-Anbaki, M.; Lown, M.; Graz, B. 2021. Effectiveness of Medicinal Plants for Glycaemic Control in Type 2 Diabetes: An Overview of Meta-Analyses of Clinical Trials Frontiers in Pharmacology, 12 DOI: <https://doi.org/10.3389/fphar.2021.777561>
- Youn, J.S.; Kim, Y.-J.; Na, H.J.; Jung, H.R.; Song, C.K.; Kang, S.Y.; Kim, J.Y. 2019. Antioxidant activity and contents of leaf extracts obtained from Dendropanax morbifera LEV are dependent on the collecting season and extraction conditions Food Science and Biotechnology, 28(1): 201-207 DOI: <https://doi.org/10.1007/s10068-018-0352-y>

Recibido: 28 de octubre de 2025 **Aceptado para publicación:** 22 de enero de 2026

MATERIAL SUPLEMENTARIO

Figura S1. Plantas que destacaron de manera general en el contenido de fenoles totales, actividad antioxidante y potencial inhibidor.

Planta # 93. *Eugenia patrisii* Vahl.



Figura S1. Continúa.

Planta # 36. *Protium opacum* Swart.



Figura S1. Continúa.

Planta # 208. *Spondias mombin* L.



Figura S1. Continúa.

Planta # 133. *Inga ciliata* C. Presl.



Tabla S1. Nombre científico, familia y coordenadas (UTM) de colecta de las 214 especies del estudio.

Código	Nombre científico	Familia	Coordenadas		Registro de Herbario
			X (E)	Y (N)	
1	<i>Pouteria guianensis</i> Aubl.	Sapotaceae	674946	9560995	7181
2	<i>Micropholis egensis</i> Pierre	Sapotaceae	674956	9560993	7182
3	<i>Minquartia guianensis</i> Aubl.	Olacaceae	674963	9560992	7183
4	<i>Virola decorticans</i> Ducke	Myristicaceae	674969	9560994	7184
5	<i>Rinorea guianensis</i> Aubl.	Violaceae	674946	9560993	7185
6	<i>Otoba parvifolia</i> (Markgr.) A.H.Gentry	Myristicaceae	674983	9560960	7186
7	<i>Tachigali paniculata</i> Aubl.	Fabaceae	674961	9560990	7187
8	<i>Ophiocaryon heterophyllum</i> (Benth.) Urb.	Sabiaceae	674942	9560994	7188
9	<i>Eschweilera coriacea</i> (DC.) S.A.Mori	Lecythidaceae	674944	9560991	7189
10	<i>Rinorea lindeniana</i> Kuntze	Violaceae	674950	9560987	7260
11	<i>Tetrathylacium macrophyllum</i> Poepp.	Salicaceae	674964	9560989	7190
12	<i>Theobroma obovatum</i> Klotzsch ex Bernoulli	Malvaceae	674968	9560989	7191
13	<i>Vatairea erythrocarpa</i> (Ducke) Ducke	Fabaceae	674964	9560999	7192
14	<i>Virola duckei</i> A.C.Sm.	Myristicaceae	675048	9560989	7193
15	<i>Guarea guentheri</i> Harms	Meliaceae	675018	9560982	7194
16	<i>Warszewiczia coccinea</i> (Vahl) Klotzsch	Rubiaceae	675014	9560982	7195
17	<i>Otoba glycyarpa</i> (Ducke) W.A. Rodrigues & T.S. Jaram.	Myristicaceae	675008	9560969	7196
18	<i>Ampelocera edentula</i> Kuhlman	Ulmaceae	675022	9560966	7197
19	<i>Virola flexuosa</i> A.C.Sm.	Myristicaceae	675010	9560966	7198
20	<i>Virola pavonis</i> (A.DC.) A.C.Sm.	Myristicaceae	675003	9560970	7199
21	<i>Duguetia spixiana</i> Mart.	Annonaceae	674946	9560995	7334
22	<i>Trichilia poeppigii</i> C.DC.	Meliaceae	674946	9560988	7200
23	<i>Guarea purusana</i> C.DC.	Meliaceae	674944	9560988	7201
24	<i>Sterculia pruriens</i> (Aubl.) K.Schum.	Malvaceae	674952	9560994	7202
25	<i>Tetrastylidium peruvianum</i> Sleumer	Olacaceae	674944	9560989	7203
26	<i>Cassipourea peruviana</i> Alston	Rhizophoraceae	674981	9560958	7204
27	<i>Siparuna decipiens</i> (Tul.) A.DC.	Siparunaceae	674978	9560966	7205
28	<i>Protium nodulosum</i> Swart	Burseraceae	674976	9560961	7206
29	<i>Meliosma herbertii</i> Rolfe	Sabiaceae	674964	9560959	7207
30	<i>Licania micrantha</i> Miq.	Chrysobalanaceae	674968	9560952	7208
31	<i>Pseudolmedia laevis</i> (Ruiz & Pav.) J.F.Macbr.	Moraceae	675038	9560929	7209
32	<i>Perebea xanthochyma</i> H.Karst.	Moraceae	675024	9560919	7210
33	<i>Eugenia discreta</i> McVaugh	Myrtaceae	675023	9560917	7211
34	<i>Strychnos schunkei</i> Krukoff & Barneby	Loganiaceae	675035	9560927	7212
35	<i>Hebepetalum humiriifolium</i> (Planch.) Benth. & Hook.f. ex B.D.Jacks.	Linaceae	675025	9560923	7213

Tabla S1. Continúa.

Código	Nombre científico	Familia	Coordenadas		Registro de Herbario
			X (E)	Y (N)	
36	<i>Protium opacum</i> Swart	Burseraceae	675038	9560929	7214
37	<i>Siparuna pachyantha</i> A.C.Sm.	Siparunaceae	675038	9560929	7215
38	<i>Trichilia poeppigii</i> C.DC.	Meliaceae	675038	9560929	7200
39	<i>Andira inermis</i> (W.Wright) Kunth ex DC.	Fabaceae	675037	9560908	7216
40	<i>Protium goudotianum</i> (Tul.) Byng & Christenh.	Burseraceae	675038	9560929	7310
41	<i>Allophylus lorentensis</i> Standl. ex J.F.Macbr.	Sapindaceae	674932	9560963	7217
42	<i>Iryanthera laevis</i> Markgr.	Myristicaceae	674932	9560963	7218
43	<i>Neea verticillata</i> Ruiz & Pav.	Nyctaginaceae	674880	9560827	7219
44	<i>Palicourea</i> sp.	Rubiaceae	674871	9560808	7220
45	<i>Trichilia poeppigii</i> C.DC.	Meliaceae	674930	9560961	7200
46	<i>Rinorea guianensis</i> Aubl.	Violaceae	672801	9558926	7221
47	<i>Sloanea eichleri</i> K.Schum.	Elaeocarpaceae	674942	9560960	7222
48	<i>Zygia macbridei</i> (C.Barbosa) L.Rico	Fabaceae	674932	9560950	7223
49	<i>Pseudolmedia laevis</i> (Ruiz & Pav.) J.F.Macbr.	Moraceae	675059	9560938	7209
50	<i>Siparuna cristata</i> (Poepp. & Endl.) A.DC.	Siparunaceae	675015	9560928	7314
51	<i>Pouteria cuspidata</i> (A.DC.) Baehni	Sapotaceae	675040	9560906	7224
52	<i>Sterculia pruriens</i> (Aubl.) K.Schum.	Malvaceae	675029	9560912	7202
53	<i>Cordia nodosa</i> Lam.	Boraginaceae	675028	9560906	7225
54	<i>Guarea pterorhachis</i> Harms	Meliaceae	674943	9560963	7226
55	<i>Siparuna cuspidata</i> (Tul.) A.DC.	Siparunaceae	674942	9560960	7227
56	<i>Swartzia peruviana</i> (R.S.Cowan) Torke	Fabaceae	674939	9560961	7228
57	<i>Conceveiba rhytidocarpa</i> Müll.Arg.	Euphorbiaceae	674932	9560963	7229
58	<i>Guarea purusana</i> C.DC.	Meliaceae	674930	9560961	7201
59	<i>Brosimum lactescens</i> (S.Moore) C.C.Berg	Moraceae	674930	9560961	7230
60	<i>Calophyllum longifolium</i> Willd.	Calophyllaceae	672766	9558925	7231
61	<i>Jacqueshuberia lorentensis</i> R.S.Cowan	Fabaceae	672770	9558922	7232
62	<i>Dendropanax umbellatus</i> (Ruiz & Pav.) J.F.Macbr.	Araliaceae	672765	9558923	7233
63	<i>Dicymbe uaiparuensis</i> R.S.Cowan	Fabaceae	672802	9558915	7234
64	<i>Caraipa utilis</i> R.Vásquez	Calophyllaceae	672801	9558926	7235
65	<i>Sloanea spathulata</i> Earle Sm.	Elaeocarpaceae	672809	9558908	7236
66	<i>Pachira brevipes</i> (A.Robyns) W.S.Alverson	Malvaceae	672796	9558926	7237
67	<i>Leptobalanus latus</i> (J. F. Macbr.) Sothers & Prance	Chrysobalanaceae	672805	9558921	7238
68	<i>Macrolobium suaveolens</i> Spruce ex Benth.	Fabaceae	672811	9558910	7239
69	<i>Rudgea lanceifolia</i> Salisb.	Rubiaceae	672812	9558908	7240
70	<i>Macrolobium microcalyx</i> Ducke	Fabaceae	672809	9558901	7241

Tabla S1. Continúa.

Código	Nombre científico	Familia	Coordenadas		Registro de Herbario
			X (E)	Y (N)	
71	<i>Leonia glycyarpa</i> Ruiz & Pav.	Violaceae	674896	9560826	7242
72	<i>Ilex petiolaris</i> Benth.	Lauraceae	674890	9560842	7243
73	<i>Protium trifoliolatum</i> Engl.	Burseraceae	674890	9560824	7244
74	<i>Simira rubescens</i> (Benth.) Bremek. ex Steyerl.	Rubiaceae	674880	9560827	7245
75	<i>Virola calophylla</i> (Spruce) Warb.	Myristicaceae	674871	9560808	7246
76	<i>Matisia malacocalyx</i> (A.Robyns & S.Nilsson) W.S.Alverson	Malvaceae	674876	9560823	7247
77	<i>Ecclinusa guianensis</i> Eyma	Sapotaceae	674882	9560828	7248
78	<i>Swartzia polyphylla</i> DC.	Fabaceae	674873	9560812	7249
79	<i>Neea divaricata</i> Poepp. & Endl.	Nyctaginaceae	674894	9560820	7250
80	<i>Dendrobangia multinervia</i> Ducke	Icacinaceae	674892	9560814	7251
81	<i>Inga capitata</i> Desv.	Fabaceae	674888	9560822	7252
82	<i>Curupira tefeensis</i> G.A.Black	Olacaceae	674890	9560814	7253
83	<i>Guarea gomme</i> Pulle	Meliaceae	674874	9560814	7254
84	<i>Trichilia pallida</i> Sw.	Meliaceae	674877	9560810	7255
85	<i>Protium calendulinum</i> Daly	Burseraceae	674884	9560810	7256
86	<i>Gustavia longifolia</i> O.Berg	Lecythidaceae	674891	9560806	7257
87	<i>Guatteria decurrens</i> R.E.Fr.	Annonaceae	674881	9560785	7258
88	<i>Quiina florida</i> Tul.	Ochnaceae	674884	9560785	7259
89	<i>Rinorea lindeniana</i> Kuntze	Violaceae	674882	9560784	7260
90	<i>Mezilaurus opaca</i> Kubitzki & van der Werff	Lauraceae	674886	9560787	7261
91	<i>Diclinanona tessmannii</i> Diels	Annonaceae	674888	9560790	7262
92	<i>Swartzia simplex</i> (Sw.) Spreng.	Fabaceae	674882	9560781	7263
93	<i>Eugenia patrisii</i> Vahl	Myrtaceae	674889	9560780	7264
94	<i>Oxandra</i> sp.	Annonaceae	674888	9560777	7265
95	<i>Simaba polyphylla</i> (Cavalcante) W.W.Thomas	Simaroubaceae	674898	9560772	7266
96	<i>Leonia crassa</i> L.B.Sm. & A.Fernández	Violaceae	674887	9560778	7267
97	<i>Fusaea longifolia</i> (Aubl.) Saff.	Annonaceae	674893	9560777	7268
98	<i>Tapura acreana</i> (Ule) Rizzini	Dichapetalaceae	674886	9560776	7269
99	<i>Pseudosenefeldera inclinata</i> (Müll.Arg.) Esser	Euphorbiaceae	674898	9560780	7270
100	<i>Unonopsis spectabilis</i> Diels	Annonaceae	674893	9560776	7271
101	<i>Hevea brasiliensis</i> (Willd. ex A.Juss.) Müll.Arg.	Euphorbiaceae	672757	9558815	7272
102	<i>Homalolepis cavalcantei</i> (W.W.Thomas) Devecchi & Pirani	Simaroubaceae	672804	9558910	7273
103	<i>Emmotum floribundum</i> R.A.Howard	Metteniusaceae	672799	9558929	7274
104	<i>Ternstroemia klugiana</i> Kobuski	Pentaphragmaceae	672801	9558926	7275

Tabla S1. Continúa.

Código	Nombre científico	Familia	Coordenadas		Registro de Herbario
			X (E)	Y (N)	
105	<i>Adiscanthus fusciflorus</i> Ducke	Rutaceae	672706	9558838	7276
106	<i>Macrolobium bifolium</i> (Aubl.) Pers.	Fabaceae	672724	9558388	7277
107	<i>Alchornea triplinervia</i> (Spreng.) Müll.Arg.	Euphorbiaceae	672633	9557909	7278
108	<i>Ocotea aciphylla</i> (Nees & Mart.) Mez	Lauraceae	673451	9557349	7279
109	<i>Brosimum utile</i> (Kunth) Oken	Moraceae	673471	9557325	7280
110	<i>Ficus ursina</i> Standl.	Moraceae	673485	9557317	7281
111	<i>Tovomita carinata</i> Eyma	Clusiaceae	674911	9560769	7282
112	<i>Dendropanax arboreus</i> (L.) Decne. & Planch.	Araliaceae	674911	9560764	7283
113	<i>Hirtella racemosa</i> Lam.	Chrysobalanaceae	674908	9560768	7284
114	<i>Dendrobangia boliviana</i> Rusby	Metteniusaceae	674910	9560780	7285
115	<i>Casearia sylvestris</i> Sw.	Salicaceae	674906	9560782	7286
116	<i>Protium grandifolium</i> Engl.	Burseraceae	674912	9560784	7287
117	<i>Caryodaphnopsis fosteri</i> van der Werff	Lauraceae	674916	9560791	7288
118	<i>Vantanea guianensis</i> Aubl.	Humiriaceae	674913	9560784	7289
119	<i>Ocotea</i> sp.	Lauraceae	674912	9560770	7290
120	<i>Ocotea bofo</i> Kunth	Lauraceae	674912	9560772	7291
121	<i>Iryanthera macrophylla</i>	Myristicaceae	674915	9560783	7292
122	<i>Malmea manausensis</i> Maas & Miralha	Annonaceae	674917	9560783	7293
123	<i>Adenocalymma cladotrichum</i> (Sandwith) L.G.Lohmann	Bignoniaceae	674917	9560790	7294
124	<i>Naucleopsis macrophylla</i> Miq.	Moraceae	674914	9560784	7295
125	<i>Brosimum utile</i> (Kunth) Oken	Moraceae	674916	9560786	7280
126	<i>Pentagonia macrophylla</i> Benth.	Rubiaceae	674938	9560778	7296
127	<i>Chrysochlamys membranacea</i> Planch. & Triana	Clusiaceae	674944	9560772	7297
128	<i>Platymiscium pinnatum</i> (Jacq.) Dugand	Fabaceae	674939	9560775	7298
129	<i>Compsonera capitellata</i> (Poepp. ex A.DC.) Warb.	Myristicaceae	674924	9560775	7299
130	<i>Swartzia benthamiana</i> Miq.	Fabaceae	674923	9560773	7300
131	<i>Aspidosperma parvifolium</i> A.DC.	Apocynaceae	674915	9560763	7301
132	<i>Tapura amazonica</i> Poepp.	Dichapetalaceae	674913	9560821	7302
133	<i>Inga ciliata</i> C. Presl	Fabaceae	674914	9560822	7303
134	<i>Vitex triflora</i> Vahl	Lamiaceae	674919	9560820	7304
135	<i>Talisia clathrata</i> Radlk.	Sapindaceae	674918	9560821	7305
136	<i>Symphonia globulifera</i> L.f.	Clusiaceae	674919	9560820	7306
137	<i>Nealchornea yapurensis</i> Huber	Euphorbiaceae	674931	9560820	7307
138	<i>Neea divaricata</i> Poepp. & Endl.	Nyctaginaceae	674951	9560827	7250

Tabla S1. Continúa.

Código	Nombre científico	Familia	Coordenadas		Registro de Herbario
			X (E)	Y (N)	
139	<i>Ruptiliocarpon caracolito</i> Hammel & N.Zamora	Lepidobotryaceae	674950	9560828	7308
140	<i>Pouteria torta</i> Radlk.	Sapotaceae	674963	9560804	7309
141	<i>Protium goudotianum</i> (Tul.) Byng & Christenh.	Burseraceae	674895	9560888	7310
142	<i>Trigynaea cinnamomea</i> D.M.Johnson & N.A.Murray	Annonaceae	674898	9560888	7311
143	<i>Calliandra trinervia</i> Benth.	Fabaceae	674899	9560890	7312
144	<i>Calliandra trinervia</i> Benth.	Fabaceae	674902	9560880	7312
145	<i>Dilkea cuneata</i> Feuillet	Passifloraceae	674916	9560895	7313
146	<i>Siparuna cristata</i> (Poepp. & Endl.) A.DC.	Siparunaceae	674920	9560897	7314
147	<i>Licaria macrophylla</i> (A.C.Sm.) Kosterm.	Lauraceae	674925	9560882	7315
148	<i>Iryanthera paraensis</i> Huber	Myristicaceae	674933	9560889	7316
149	<i>Garcinia macrophylla</i> Mart.	Clusiaceae	674940	9560883	7317
150	<i>Iryanthera hostmannii</i> (Benth.) Warb.	Myristicaceae	674923	9560886	7318
151	<i>Myrcia plicata</i> (Mc Vaugh) A. R. Lourenço & E. Lucas	Myristicaceae	674936	9560890	7319
152	<i>Iryanthera tessmannii</i> Markgr.	Myristicaceae	674920	9560888	7320
153	<i>Piparea multiflora</i> C.F.Gaertn.	Salicaceae	674936	9560810	7321
154	<i>Heisteria duckei</i> Sleumer	Olacaceae	674967	9560796	7322
155	<i>Huerteia glandulosa</i> Ruiz & Pav.	Staphyleaceae	675026	9560779	7323
156	<i>Mouriri vernicosa</i> Naudin	Melastomataceae	675028	9560777	7324
157	<i>Protium rhoifolium</i> (Benth.) Byng & Christenh.	Burseraceae	675039	9560802	7325
158	<i>Heisteria nitida</i> Engl.	Olacaceae	675038	9560785	7326
159	<i>Sorocea pubivena</i> Hemsl.	Moraceae	675028	9560774	7327
160	<i>Rinorea flavescens</i> Kuntze	Violaceae	675022	9560781	7328
161	<i>Protium stevensonii</i> (Standl.) Daly	Burseraceae	675029	9550765	7329
162	<i>Zygia basijuga</i> (Ducke) Barneby & J.W.Grimes	Fabaceae	675030	9560762	7330
163	<i>Annona montana</i> Macfad.	Annonaceae	675037	9560756	7331
164	<i>Theobroma speciosum</i> Willd. ex Spreng.	Malvaceae	675034	9560762	7332
165	<i>Lindackeria paludosa</i> (Benth.) Gilg	Achariaceae	675030	9560745	7333
166	<i>Duguetia spixiana</i> Mart.	Annonaceae	675028	9560733	7334
167	<i>Micropholis egensis</i> Pierre	Sapotaceae	675035	9560755	7182
168	<i>Chionanthus</i> sp.	Olacaceae	675046	9560753	7335
169	<i>Caryodendron orinocense</i> H.Karst.	Euphorbiaceae	675044	9560729	7336
170	<i>Dacryodes cuspidata</i> (Cuatrec.) Daly	Burseraceae	675048	9560734	7337
171	<i>Heisteria acuminata</i> (Bonpl.) Engl.	Olacaceae	675030	9560762	7338
172	<i>Caryocar glabrum</i> (Aubl.) Pers.	Caryocaraceae	675042	9560757	7339

Tabla S1. Continúa.

Código	Nombre científico	Familia	Coordenadas		Registro de Herbario
			X (E)	Y (N)	
173	<i>Matisia bracteolosa</i> Ducke	Malvaceae	675045	9560760	7340
174	<i>Naucleopsis oblongifolia</i> (Kuhl.) Carauta	Boraginaceae	675037	9560756	7341
175	<i>Pouteria</i> sp.	Sapotaceae	675051	9560750	7342
176	<i>Tachigali setifera</i> (Ducke) Zarucchi & Herend.	Fabaceae	675050	9560750	7343
177	<i>Protium guacayanum</i> Cuatrec.	Menispermaceae	675050	9560749	7344
178	<i>Leonia cymosa</i> Mart.	Violaceae	675040	9560742	7345
179	<i>Matisia</i> sp.	Malvaceae	675053	9560752	7346
180	<i>Protium ferrugineum</i> (Engl.) Engl.	Burseraceae	675035	9560754	7347
181	<i>Croton lechleri</i> Müll.Arg.	Euphorbiaceae	675459	9561008	7348
182	<i>Cedrela odorata</i> L.	Meliaceae	675446	9561079	7349
183	<i>Ficus maxima</i> Mill.	Moraceae	675485	9561085	7350
184	<i>Qualea multiflora</i> Mart.	Vochysiaceae	675494	9561069	7351
185	<i>Conceveiba martiana</i> Baill.	Euphorbiaceae	675486	9561098	7352
186	<i>Allophylus divaricatus</i> Radlk.	Caryocaraceae	675441	9560957	7353
187	<i>Vochysia venulosa</i> Warm.	Vochysiaceae	675438	9560961	7354
188	<i>Tapirira guianensis</i> Aubl.	Anacardiaceae	675403	9560982	7355
189	<i>Himatanthus tarapotensis</i> (Schumann ex Markgr.) Plumel	Apocynaceae	675280	9560769	7356
190	<i>Piper aduncum</i> L.	Piperaceae	675264	9560759	7357
191	<i>Senna reticulata</i> (Willd.) H.S.Irwin & Barneby	Fabaceae	675246	9560775	7358
192	<i>Garcinia madruno</i> (Kunth) Hammel	Clusiaceae	675199	9560797	7359
193	<i>Inga edulis</i> Mart.	Fabaceae	675187	9560792	7360
194	<i>Genipa americana</i> L.	Rubiaceae	675194	9560809	7361
195	<i>Hymenaea oblongifolia</i> Huber	Fabaceae	675247	9560850	7362
196	<i>Herrania nycterodendron</i> R.E.Schult.	Malvaceae	675240	9560893	7363
197	<i>Pouteria caimito</i> Radlk.	Sapotaceae	675263	9560890	7364
198	<i>Cecropia sciadophylla</i> Mart.	Urticaceae	675108	9560642	7365
199	<i>Abuta grandifolia</i> (Mart.) Sandwith	Menispermaceae	675438	9560947	7366
200	<i>Vismia tomentosa</i> Ruiz & Pav.	Hypericaceae	675462	9561010	7367
201	<i>Jacaranda copaia</i> (Aubl.) D.Don	Bignoniaceae	675458	9561013	7368
202	<i>Ficus insipida</i> Willd.	Moraceae	675311	9560283	7369
203	<i>Solanum kioniotrichum</i> Bitter ex J.F.Macbr.	Solanaceae	675275	9560184	7370
204	<i>Bellucia pentamera</i> Naudin	Melastomataceae	675256	9560121	7371
205	<i>Couma macrocarpa</i> Barb.Rodr.	Apocynaceae	675224	9560866	7372
206	<i>Cedrelinga cateniformis</i> (Ducke) Ducke	Fabaceae	675236	9560851	7373
207	<i>Simarouba amara</i> Aubl.	Simaroubaceae	675268	9560811	7374

Tabla S1. Continúa.

Código	Nombre científico	Familia	Coordenadas		Registro de Herbario
			X (E)	Y (N)	
208	<i>Spondias mombin</i> L.	Anacardiaceae	675240	9560836	7375
209	<i>Aniba rosaeodora</i> Ducke	Lauraceae	675483	9561156	7376
210	<i>Parkia multijuga</i> Benth.	Fabaceae	675549	9561309	7377
211	<i>Bertholletia excelsa</i> Bonpl.	Lecythidaceae	675783	9561848	7378
212	<i>Handroanthus incanus</i> (A.H.Gentry) S.O.Grose	Bignoniaceae	675285	9560779	7379
213	<i>Virola sebifera</i> Aubl.	Myristicaceae	6755658	9561334	7380
214	<i>Cespedesia spathulata</i> Planch.	Ochnaceae	675610	9561170	7381

Tabla S2. Autovalores de cada variable en los componentes principales.

Axis	Autovalores	Acumulado Total	% Varianza total	% Varianza total acumulada
1	4.269	4.269	71.149	71.149
2	0.975	5.243	16.242	87.391
3	0.469	5.713	7.822	95.213
4	0.158	5.871	2.637	97.850
5	0.077	5.948	1.287	99.137
6	0.052	6.000	0.863	100

Tabla S3. Porcentaje de varianza total y acumulada por cada componente principal.

	Componente 1	Componente 2	Componente 3	Componente 4	Componente 5	Componente 6
DPPH	0.464	-0.048	-0.117	-0.390	0.784	-0.042
ABTS	0.452	-0.128	-0.239	-0.590	-0.608	-0.062
FRAP	0.461	-0.101	-0.149	0.563	-0.057	-0.659
TPC	0.463	-0.128	-0.160	0.425	-0.054	0.748
Alfa-glucosidasa	0.369	0.167	0.909	-0.032	-0.088	0.007
Alfa-amilasa	0.129	0.963	-0.233	0.024	-0.040	0.019

Tabla S4. Resultados de los autovalores en el análisis de componentes principales (ACP).

N°	Comp. Scores	Componente 1	Componente 2	Componente 3	Componente 4	Componente 5	Componente 6
1	46C	6.234	-0.374	-1.726	0.750	-1.093	-0.290
2	22C	5.954	-0.547	-0.296	0.776	-0.760	-0.650
3	170C	5.162	-2.586	-1.136	1.148	-0.491	0.080
4	93H	5.074	3.504	0.069	0.076	-0.575	-0.002
5	77C	4.738	-0.355	-1.096	0.991	-0.284	-0.062
6	161C	4.608	-0.123	-0.472	2.445	0.798	0.108
7	61C	4.565	0.180	0.170	0.394	-0.361	-0.654
8	57H	4.528	0.521	0.513	0.435	0.191	0.069
9	211C	4.272	0.381	0.475	0.027	-0.085	-0.293
10	44H	4.264	-0.388	0.622	-1.081	-0.471	0.128
11	81H	4.186	0.218	0.758	0.644	0.396	0.666
12	139H	4.152	-0.975	0.601	0.350	0.341	0.222
13	208C	4.111	2.129	0.609	0.099	0.214	0.068
14	68H	4.029	-0.027	-0.457	0.654	0.063	0.025
15	151C	4.013	0.113	0.675	0.756	0.213	0.070
16	207H	3.993	-0.526	0.226	0.008	0.063	0.193
17	65H	3.982	-0.040	0.885	0.367	-0.331	0.168
18	88 C	3.889	0.836	0.421	-0.152	0.143	-0.240
19	172H	3.856	-1.551	0.249	0.882	-0.066	-0.177
20	65C	3.780	0.092	0.280	-0.151	-0.057	0.209
21	172C	3.718	-1.722	-1.964	-1.089	-1.187	0.279
22	63C	3.601	0.603	0.271	-0.361	0.279	0.040
23	206C	3.551	-0.372	-0.356	-1.029	-0.655	-0.463
24	133C	3.512	1.084	0.929	0.134	-0.218	0.357
25	214C	3.485	0.405	0.040	-0.164	0.181	0.285
26	93C	3.475	0.495	1.035	-0.200	-0.024	0.064
27	38C	3.468	0.039	-0.758	-0.150	0.197	0.216
28	36H	3.416	1.311	0.527	-0.598	0.305	-0.279
29	204H	3.365	-0.134	-0.189	0.322	0.074	0.329
30	151H	3.349	0.227	0.757	0.534	0.102	-0.285
31	103C	3.238	0.481	-0.173	-0.470	-0.117	0.037
32	170H	3.218	-0.528	0.855	0.462	-0.297	-0.220
33	210C	3.205	-0.588	0.018	-0.183	-0.503	-0.039
34	155H	3.168	0.302	1.295	0.066	0.084	-0.158
35	210H	3.165	-0.174	0.020	-0.514	-0.814	-0.106
36	66C	3.134	-0.365	-1.272	0.289	-0.419	-0.061
37	103H	3.021	1.189	0.204	-0.402	0.081	0.409

Tabla S4. Continúa.

N°	Comp. Scores	Componente 1	Componente 2	Componente 3	Componente 4	Componente 5	Componente 6
38	139C	3.016	-1.208	0.112	-0.131	-0.409	0.093
39	9H	3.003	-1.699	-1.324	0.277	0.084	-0.202
40	25H	2.967	-0.218	-0.162	0.237	0.228	0.111
41	67C	2.921	0.262	-0.205	-0.131	-0.117	0.009
42	77 H	2.914	0.078	-0.207	0.262	0.058	-0.446
43	154C	2.863	-0.250	-0.233	0.524	-0.175	-0.267
44	46H	2.844	0.929	-0.833	-0.315	0.333	-0.052
45	48H	2.817	1.319	0.434	-0.625	0.026	-0.070
46	135H	2.786	0.378	0.751	0.157	-0.053	0.611
47	155C	2.769	1.061	0.887	0.202	0.198	0.121
48	25C	2.679	0.444	0.100	-0.090	0.222	-0.045
49	118C	2.679	1.665	-0.727	0.390	-0.030	-0.295
50	90 H	2.657	1.106	-0.014	-0.284	0.455	0.238
51	40C	2.538	0.265	-0.117	-0.753	0.447	-0.242
52	81C	2.486	0.135	0.596	-0.185	0.144	0.286
53	88 H	2.456	0.483	0.174	0.256	0.374	0.134
54	33C	2.450	0.151	-1.151	0.460	-0.108	-0.321
55	195C	2.411	0.586	0.079	0.168	0.087	0.204
56	113H	2.381	0.571	0.054	0.061	-0.265	-0.560
57	185C	2.377	0.092	0.802	0.454	-0.269	0.068
58	75 C	2.357	0.339	-1.213	-0.185	0.309	0.001
59	143H	2.335	0.309	1.442	0.132	-0.101	0.477
60	87 H	2.322	0.740	0.803	-0.365	0.385	-0.214
61	180C	2.278	-1.809	-0.940	-0.334	0.457	-0.208
62	106C	2.273	0.339	1.092	-0.539	0.221	0.010
63	42H	2.261	2.002	1.089	-0.080	0.176	-0.025
64	107C	2.240	1.711	-1.803	-0.171	0.213	-0.080
65	188C	2.212	0.709	1.093	0.777	-0.007	-0.087
66	36C	2.207	-0.145	-1.425	-0.456	0.321	-0.084
67	90C	2.205	1.079	-0.114	-0.146	-0.245	0.121
68	64C	2.204	0.096	-0.274	-0.087	0.068	-0.026
69	107H	2.183	0.243	-1.570	-0.662	0.099	0.481
70	60C	2.088	0.374	-0.301	-0.542	0.615	0.009
71	193C	2.077	0.404	0.610	0.546	-0.203	-0.384
72	157C	2.075	-0.184	-0.338	0.555	0.647	0.129
73	31C	2.075	0.205	-0.945	-0.153	0.388	-0.223
74	211H	2.069	0.690	0.811	-0.055	0.021	-0.176

Tabla S4. Continúa.

N°	Comp. Scores	Componente 1	Componente 2	Componente 3	Componente 4	Componente 5	Componente 6
75	205H	1.963	-0.133	0.296	-0.442	0.070	-0.167
76	30C	1.955	-0.130	-0.423	-0.583	0.542	-0.120
77	54H	1.942	0.757	-1.125	-0.338	0.065	0.013
78	40H	1.925	0.261	-0.045	-0.815	0.360	-0.130
79	33H	1.918	0.688	-0.202	-0.036	0.151	-0.248
80	108H	1.901	-0.721	-0.113	-0.443	0.269	0.114
81	185H	1.881	-0.240	1.089	0.009	-0.056	-0.119
82	44C	1.881	0.232	0.331	-0.724	0.025	0.075
83	9C	1.879	0.403	0.622	0.130	-0.493	-0.168
84	204C	1.873	-0.109	-0.181	-0.098	0.079	0.304
85	175C	1.831	-0.451	0.457	0.560	0.022	0.016
86	116H	1.825	-0.736	-0.821	0.291	0.244	0.190
87	52H	1.821	0.658	-0.134	0.532	0.324	0.504
88	64H	1.814	0.525	1.018	-0.088	0.040	-0.105
89	7C	1.808	0.195	0.022	0.210	0.177	-0.285
90	97C	1.782	0.383	-0.245	-0.852	-0.738	0.368
91	156C	1.775	0.324	0.528	-0.073	-0.058	-0.070
92	180H	1.727	-1.981	0.401	1.330	-0.061	-1.535
93	161H	1.723	-0.360	-1.016	-0.302	-0.813	-0.160
94	54C	1.673	1.041	-0.131	-0.446	0.257	0.258
95	213H	1.662	-0.327	-0.062	-0.231	0.075	-0.022
96	119C	1.659	-1.003	-1.153	-0.563	0.004	0.135
97	17H	1.644	-0.469	0.038	-0.682	-0.100	-0.185
98	22H	1.605	-0.220	0.071	0.421	0.230	-0.188
99	68C	1.602	0.236	-0.377	0.237	0.231	0.039
100	182C	1.585	0.181	-0.193	0.188	0.010	-0.037
101	61H	1.565	0.262	-0.174	-0.616	0.027	-0.461
102	171C	1.539	-1.008	1.394	-1.140	-1.291	0.155
103	49H	1.522	0.646	-0.875	-0.363	0.332	0.090
104	166H	1.515	-0.687	0.114	0.122	0.305	-0.010
105	29H	1.514	0.046	-0.514	-0.573	0.266	0.054
106	137H	1.507	0.804	1.230	0.225	-0.137	0.097
107	150H	1.503	-2.576	-0.157	-0.223	0.418	0.208
108	214H	1.500	0.887	0.571	-1.380	0.296	-0.110
109	3H	1.487	-0.824	-0.631	0.072	0.491	0.052
110	99H	1.467	-0.376	-1.010	-0.063	-0.174	0.246
111	127C	1.421	0.468	0.947	0.019	0.621	0.107

Tabla S4. Continúa.

N°	Comp. Scores	Componente 1	Componente 2	Componente 3	Componente 4	Componente 5	Componente 6
112	158C	1.409	-0.117	0.012	0.572	0.015	-0.016
113	121H	1.405	0.516	0.861	0.090	-0.096	0.597
114	184C	1.398	0.319	0.153	0.013	0.152	0.018
115	135C	1.357	-0.285	0.319	0.182	-0.075	0.479
116	175H	1.356	-1.152	0.911	0.304	-0.066	-0.251
117	152H	1.349	0.441	0.172	-0.813	0.222	-0.040
118	113C	1.336	-0.252	-0.287	-0.696	-0.492	0.017
119	120C	1.312	-1.060	-0.591	-0.292	-0.213	0.186
120	49C	1.299	0.542	-0.910	0.001	0.194	0.045
121	60H	1.287	0.577	-0.810	-0.822	0.097	0.075
122	120H	1.282	-0.926	-0.372	0.011	-0.192	0.011
123	20H	1.281	0.252	-1.084	0.010	-0.163	-0.420
124	205C	1.275	0.039	0.238	-0.160	0.061	0.004
125	167H	1.263	-1.639	-0.621	0.294	-0.167	0.115
126	181C	1.244	0.209	0.028	0.408	-0.248	-0.270
127	89 C	1.243	1.098	-0.213	0.110	0.186	0.066
128	63H	1.242	0.571	-0.072	0.159	0.091	0.166
129	116C	1.237	-0.990	-1.141	-0.385	0.409	-0.041
130	193H	1.211	-0.429	-0.959	0.542	0.175	0.023
131	85 C	1.163	0.253	0.175	-0.212	-0.024	-0.033
132	133H	1.114	-0.208	1.819	-0.154	-0.113	0.040
133	109H	1.107	-0.473	1.497	-0.361	0.277	-0.126
134	41H	1.107	0.492	0.017	-0.517	-0.303	-0.076
135	106H	1.103	-0.313	0.158	-0.109	0.270	0.191
136	42C	1.097	0.426	0.518	-0.547	0.258	-0.056
137	166C	1.080	-1.303	0.425	0.587	-0.009	0.364
138	158H	1.036	0.097	1.801	-0.025	-0.110	-0.041
139	70H	1.029	0.379	0.371	-0.580	0.390	0.000
140	149H	1.008	-3.011	0.560	-0.295	0.250	0.159
141	3C	1.004	-0.007	-0.250	-0.217	0.483	-0.262
142	188H	0.991	0.280	-0.606	0.613	0.126	-0.152
143	149C	0.978	-0.551	-0.630	-0.445	0.300	0.056
144	140H	0.965	-2.282	1.971	-0.276	-0.009	-0.070
145	213C	0.940	-0.096	-0.298	0.784	0.073	0.429
146	152C	0.865	0.383	0.183	-0.331	0.239	0.014
147	51H	0.837	1.199	0.633	-0.131	0.125	-0.196
148	8H	0.815	-0.941	0.406	-0.170	0.177	-0.136

Tabla S4. Continúa.

N°	Comp. Scores	Componente 1	Componente 2	Componente 3	Componente 4	Componente 5	Componente 6
149	99C	0.811	0.024	-0.447	-0.054	-0.576	0.450
150	12C	0.801	-1.865	-0.064	0.291	-0.320	-0.152
151	32C	0.791	0.554	-0.125	-0.397	-0.125	-0.131
152	209C	0.774	-0.485	-1.290	-0.375	-0.317	0.221
153	12H	0.770	-1.620	0.817	-0.071	-0.212	-0.195
154	67H	0.743	0.260	0.209	0.139	-0.134	-0.216
155	174H	0.724	-1.222	-0.321	-0.633	-0.112	-1.861
156	157H	0.684	0.021	-0.453	0.306	0.211	0.062
157	108C	0.683	-0.294	1.590	-0.031	-0.158	0.175
158	148H	0.680	-3.664	0.010	-0.090	0.480	0.063
159	136H	0.675	0.639	-0.445	0.039	-0.316	0.481
160	197C	0.673	0.346	-0.065	0.065	0.074	0.167
161	1C	0.668	0.404	-0.488	-0.096	0.121	-0.005
162	59H	0.667	0.567	-0.538	-0.235	0.286	-0.058
163	148C	0.636	-3.346	0.696	-0.358	0.276	-0.050
164	200H	0.635	0.332	-0.536	0.003	0.224	0.234
165	14H	0.634	-3.270	1.051	0.010	0.320	-0.065
166	28C	0.620	0.090	-0.173	-0.336	0.131	-0.033
167	164H	0.607	-0.087	-0.046	0.398	0.317	0.057
168	75 H	0.597	0.434	-0.296	0.395	0.093	0.149
169	144C	0.570	0.135	2.361	-0.117	-0.524	0.419
170	118H	0.565	0.920	-0.390	-0.291	0.148	-0.315
171	104C	0.565	-0.443	-0.699	-0.687	-0.154	0.190
172	144H	0.561	-4.271	-0.890	0.259	0.351	0.514
173	17C	0.560	-0.442	-0.461	-0.697	0.413	-0.080
174	86 H	0.536	1.170	2.109	-0.093	0.104	-0.043
175	53H	0.527	1.640	1.866	0.041	-0.042	-0.083
176	31H	0.504	0.655	0.377	-0.157	-0.040	-0.150
177	30H	0.500	0.367	-0.429	-0.363	0.400	0.060
178	10C	0.454	-2.058	-0.320	0.289	-0.036	-0.182
179	73 C	0.427	0.800	0.353	0.281	0.099	-0.030
180	182H	0.418	0.217	-0.070	0.068	-0.033	-0.143
181	6H	0.384	0.431	0.520	0.192	0.022	-0.071
182	23H	0.372	0.126	0.066	-0.298	0.144	-0.083
183	117C	0.348	-0.508	-0.318	-0.089	0.309	-0.096
184	73 H	0.348	0.580	-0.258	-0.181	-0.072	0.034
185	70C	0.337	0.268	-0.511	-0.165	-0.112	-0.058

Tabla S4. Continúa.

N°	Comp. Scores	Componente 1	Componente 2	Componente 3	Componente 4	Componente 5	Componente 6
186	57C	0.336	0.939	1.021	1.747	-0.376	0.463
187	87 C	0.329	0.424	0.562	0.332	0.062	0.114
188	89 H	0.317	0.446	0.219	-0.028	0.017	0.004
189	200C	0.313	0.025	0.241	0.404	0.090	0.252
190	28H	0.285	-1.393	-0.335	-0.435	0.277	-0.170
191	24H	0.283	0.307	-0.683	-0.563	-0.250	-0.008
192	132H	0.281	-0.440	0.615	0.212	0.003	0.141
193	85 H	0.272	0.167	-0.287	-0.326	0.039	0.059
194	171H	0.267	-1.353	-0.746	0.214	-0.302	0.251
195	195H	0.263	-0.063	0.161	0.551	-0.026	0.134
196	96C	0.247	-0.236	-0.212	0.011	0.276	-0.087
197	208H	0.241	0.009	-0.194	-0.404	-0.153	-0.020
198	10H	0.238	-0.232	0.155	0.228	0.314	-0.136
199	181H	0.219	1.165	0.489	0.218	-0.138	-0.101
200	6C	0.198	0.343	-0.708	0.444	0.166	-0.042
201	100H	0.195	-0.379	-1.080	0.148	-0.151	0.264
202	141C	0.190	-3.897	0.766	-0.175	0.079	0.298
203	209H	0.187	-0.231	-0.230	-0.188	-0.261	0.145
204	41C	0.175	0.360	-0.335	-0.698	-0.424	0.023
205	207C	0.167	-0.247	0.037	-0.297	-0.007	-0.104
206	198H	0.130	0.182	-1.021	0.114	0.014	0.074
207	126H	0.123	0.800	1.088	-0.153	0.035	0.215
208	16H	0.119	0.777	-0.149	-0.700	-0.657	-0.108
209	51C	0.075	0.490	-0.295	-0.078	0.097	-0.059
210	32H	0.050	0.490	-0.454	-0.234	0.383	-0.104
211	173H	0.035	-1.261	-0.913	0.272	0.421	-0.103
212	167C	-0.021	-0.778	-0.378	0.058	0.016	-0.043
213	2H	-0.021	0.221	0.060	-0.181	-0.081	0.059
214	52C	-0.048	0.879	-0.470	-0.260	0.385	-0.046
215	150C	-0.059	-3.071	-0.437	0.063	0.296	0.116
216	154H	-0.074	-0.029	-0.206	0.174	-0.137	-0.011
217	4H	-0.124	-0.180	0.670	-0.209	0.147	-0.040
218	153H	-0.150	0.505	-0.093	-0.142	-0.269	0.322
219	79C	-0.157	0.421	-1.008	0.576	0.323	0.704
220	102H	-0.163	0.146	-0.328	-0.148	-0.269	-0.105
221	119H	-0.196	-0.725	-0.321	0.162	-0.248	-0.073
222	176H	-0.202	-0.317	0.309	0.095	0.032	-0.060

Tabla S4. Continúa.

N°	Comp. Scores	Componente 1	Componente 2	Componente 3	Componente 4	Componente 5	Componente 6
223	19H	-0.218	0.305	-0.449	-0.403	0.523	-0.129
224	66H	-0.265	0.503	0.126	0.017	0.086	0.100
225	20C	-0.272	-0.401	-0.410	-0.009	-0.006	-0.233
226	164C	-0.282	-0.490	0.695	0.130	0.174	-0.057
227	7H	-0.295	0.252	-0.337	0.205	0.124	-0.331
228	117H	-0.308	-0.219	-0.316	-0.279	0.286	0.092
229	2C	-0.311	-0.274	-0.354	-0.156	-0.184	-0.052
230	59C	-0.324	0.550	-0.433	1.950	-0.230	0.199
231	21H	-0.357	0.146	-0.999	0.343	-0.506	0.027
232	4C	-0.365	-1.884	0.949	-0.137	0.153	-0.112
233	111C	-0.380	-0.385	0.241	-0.005	0.464	0.021
234	37H	-0.394	0.372	-0.546	-0.286	0.261	-0.166
235	91C	-0.404	0.102	-0.360	0.252	-0.044	0.249
236	177C	-0.406	-0.805	0.396	0.130	0.046	-0.019
237	121C	-0.439	0.264	0.007	-0.219	0.213	0.223
238	177H	-0.453	-0.777	-0.746	0.442	-0.047	-0.114
239	125C	-0.473	0.483	-0.047	0.377	0.008	0.285
240	104H	-0.483	-0.575	-0.494	-0.042	-0.069	0.000
241	140C	-0.493	-2.674	0.941	-0.014	0.113	0.192
242	58H	-0.496	0.783	-0.498	0.272	-0.087	-0.022
243	129C	-0.535	-0.616	-0.050	0.009	-0.159	0.179
244	141H	-0.569	-3.346	0.613	-0.082	0.032	0.207
245	91H	-0.583	0.317	-0.897	0.202	-0.135	0.070
246	192C	-0.598	0.458	0.134	-0.185	-0.307	0.225
247	165H	-0.629	0.192	0.716	-0.184	0.030	-0.076
248	100C	-0.634	-0.031	-1.100	0.185	-0.438	0.297
249	97H	-0.649	-0.243	-0.636	-0.277	-0.055	0.214
250	136C	-0.661	0.038	-0.072	-0.262	-0.368	0.173
251	137C	-0.669	0.380	0.511	0.387	0.083	0.082
252	26H	-0.703	0.419	-0.353	-0.747	-0.396	0.114
253	130H	-0.716	1.041	1.769	-0.236	-0.397	-0.062
254	55C	-0.762	0.944	-0.662	0.311	0.027	-0.070
255	203H	-0.777	0.036	0.729	0.332	-0.085	0.228
256	98H	-0.790	-0.018	-1.102	0.861	-0.104	-0.200
257	13C	-0.806	-0.699	0.378	0.413	-0.870	-0.088
258	58C	-0.821	1.003	-0.053	-0.546	0.308	-0.051
259	168H	-0.828	-1.091	0.117	-0.084	-0.121	0.325

Tabla S4. Continúa.

N°	Comp. Scores	Componente 1	Componente 2	Componente 3	Componente 4	Componente 5	Componente 6
260	21C	-0.837	0.168	-0.688	-0.566	0.318	-0.118
261	197H	-0.867	0.829	1.252	0.092	0.007	-0.054
262	29C	-0.873	0.899	0.578	-0.102	0.050	-0.044
263	38H	-0.883	0.492	-0.498	-0.630	-0.053	-0.016
264	8C	-0.900	0.234	-0.013	-0.347	-0.395	-0.123
265	13H	-0.904	0.319	0.189	-0.751	-0.465	-0.039
266	114C	-0.917	-0.603	0.093	-0.338	0.331	-0.186
267	39H	-0.919	0.492	-0.349	-0.358	0.084	0.064
268	165C	-0.926	0.530	-0.245	0.263	0.075	0.039
269	101C	-0.926	0.088	-1.020	-0.556	0.472	-0.042
270	109C	-0.934	-0.213	1.083	-0.173	0.350	-0.077
271	14C	-0.954	-1.654	0.631	-0.070	-0.276	-0.090
272	19C	-0.972	0.209	-0.417	0.061	0.145	-0.100
273	23C	-0.978	0.263	0.412	-0.197	0.067	-0.023
274	53C	-1.005	1.389	-0.674	0.485	-0.036	0.014
275	184H	-1.033	0.364	0.005	-0.230	-0.412	0.181
276	199C	-1.039	0.115	-1.127	-0.113	-0.001	0.141
277	83H	-1.043	0.552	0.158	-0.373	0.292	-0.081
278	156H	-1.046	1.158	1.004	0.010	-0.159	0.073
279	143C	-1.053	-0.708	-1.214	0.530	-0.963	0.487
280	55H	-1.071	0.690	-0.783	-0.122	0.164	-0.123
281	26C	-1.072	-2.351	0.189	-0.468	-0.037	0.006
282	82C	-1.096	0.327	-0.209	-0.100	-0.173	0.033
283	24C	-1.143	0.992	-0.142	0.056	0.188	0.053
284	132C	-1.223	0.161	-0.482	0.267	0.121	-0.117
285	125H	-1.225	0.409	-0.083	0.306	0.143	0.202
286	83C	-1.231	0.644	0.105	0.281	0.116	0.201
287	129H	-1.255	-0.471	-0.094	-0.001	0.070	0.034
288	176C	-1.266	-0.723	-0.118	0.326	-0.120	0.131
289	191C	-1.269	0.220	0.166	-0.224	-0.498	0.110
290	127H	-1.274	0.576	-0.043	0.280	0.170	0.261
291	168C	-1.311	-1.580	-0.099	0.060	0.013	0.015
292	16C	-1.348	-0.084	-0.333	0.161	-0.217	-0.122
293	110H	-1.381	0.415	2.996	-0.128	-0.042	-0.145
294	78C	-1.414	0.562	0.172	-0.145	-0.274	0.008
295	74 C	-1.419	0.833	-0.206	-0.439	0.221	0.206
296	62H	-1.433	0.657	-0.132	0.125	0.183	-0.043

Tabla S4. Continúa.

N°	Comp. Scores	Componente 1	Componente 2	Componente 3	Componente 4	Componente 5	Componente 6
297	82H	-1.442	0.668	-0.075	0.010	0.269	-0.128
298	122H	-1.451	0.838	0.082	0.079	-0.052	0.101
299	174C	-1.493	-0.817	0.196	0.089	-0.011	0.040
300	27H	-1.511	0.893	-0.363	-0.080	-0.012	-0.311
301	86 C	-1.515	0.559	0.445	0.062	-0.118	0.000
302	112H	-1.526	-0.391	1.247	-0.070	-0.069	-0.129
303	146C	-1.530	-1.615	-0.781	-0.201	0.027	0.297
304	48C	-1.560	1.348	-0.477	-0.207	-0.093	0.020
305	110C	-1.569	0.221	2.426	-0.125	-0.162	-0.053
306	18H	-1.612	-0.070	-0.513	-0.842	1.213	-0.182
307	111H	-1.619	-0.090	0.795	-0.048	0.232	0.070
308	201H	-1.633	-0.061	-0.613	0.108	-0.027	0.191
309	126C	-1.687	-0.168	0.268	0.273	0.143	0.153
310	50H	-1.687	0.828	-0.338	-0.084	-0.277	-0.262
311	162H	-1.690	0.874	0.228	0.053	0.043	-0.040
312	128C	-1.735	0.143	-0.632	0.145	-0.439	-0.208
313	98C	-1.736	0.472	0.216	0.221	-0.408	-0.182
314	189H	-1.745	0.933	0.067	0.197	-0.014	-0.015
315	78H	-1.753	0.470	-0.186	0.413	0.140	0.038
316	196H	-1.771	0.563	-0.300	0.201	-0.077	-0.039
317	72 C	-1.797	0.811	0.282	0.081	-0.128	0.023
318	74 H	-1.799	0.983	0.059	0.647	-0.078	0.054
319	202H	-1.805	-0.022	-0.234	-0.138	0.066	-0.061
320	39C	-1.807	0.344	-0.196	-0.476	-0.662	0.239
321	124H	-1.888	-0.445	0.110	0.092	0.071	0.130
322	146H	-1.890	-3.672	0.690	-0.346	-0.316	0.048
323	163H	-1.931	0.287	-0.242	0.180	-0.056	0.164
324	114H	-1.931	-0.451	0.367	0.072	0.201	-0.042
325	84 H	-1.934	0.711	0.316	0.019	0.008	0.175
326	138C	-1.946	-0.458	-0.604	0.166	-0.010	0.177
327	45C	-1.961	0.373	-0.266	0.007	-0.053	-0.080
328	115H	-1.963	-0.303	1.679	0.073	-0.199	0.157
329	56H	-1.964	0.840	-0.514	0.223	-0.035	-0.050
330	190H	-1.971	0.780	-0.211	0.160	-0.019	0.135
331	192H	-2.005	0.860	0.001	0.121	-0.054	0.171
332	191H	-2.046	0.448	-0.098	0.017	-0.289	0.043
333	101H	-2.055	0.577	-0.265	-0.032	0.080	-0.018

Tabla S4. Continúa.

N°	Comp. Scores	Componente 1	Componente 2	Componente 3	Componente 4	Componente 5	Componente 6
334	112C	-2.073	-0.083	1.888	-0.019	-0.171	-0.042
335	189C	-2.088	0.421	0.344	0.072	-0.016	-0.005
336	130C	-2.097	-0.255	0.122	-0.038	-0.239	0.005
337	72 H	-2.134	0.878	0.217	0.070	0.004	-0.029
338	1H	-2.154	0.948	0.062	1.409	0.097	-1.428
339	43H	-2.155	0.775	0.243	-0.028	0.009	0.029
340	35H	-2.178	0.565	0.082	-0.016	-0.266	-0.041
341	190C	-2.183	0.589	0.014	0.260	-0.068	0.054
342	199H	-2.195	0.441	-0.875	0.315	0.117	0.107
343	159C	-2.208	0.623	0.628	-0.052	-0.128	0.015
344	194H	-2.209	0.682	-0.346	0.030	0.039	-0.013
345	105C	-2.212	0.180	-0.754	-0.187	-0.111	-0.036
346	37C	-2.237	0.448	-0.061	0.017	-0.128	-0.169
347	212H	-2.238	1.052	-0.213	0.069	-0.086	-0.023
348	35C	-2.239	0.815	0.661	0.047	-0.144	-0.002
349	115C	-2.249	0.274	0.547	0.037	-0.127	-0.068
350	163C	-2.266	-0.944	-2.145	-0.530	-0.482	-0.078
351	5H	-2.272	0.268	1.152	-0.114	0.196	-0.081
352	43C	-2.273	0.449	0.083	-0.130	-0.157	-0.052
353	79H	-2.286	0.742	0.177	0.216	0.092	-0.032
354	159H	-2.301	0.987	0.660	-0.107	-0.076	-0.014
355	50C	-2.309	0.976	-0.362	0.017	0.171	0.007
356	187H	-2.313	0.366	-0.450	-0.169	-0.318	0.033
357	80H	-2.342	0.854	0.136	0.145	-0.013	-0.034
358	203C	-2.345	0.753	-0.536	0.229	0.152	0.048
359	45H	-2.376	0.468	0.354	0.026	-0.059	-0.055
360	123C	-2.392	0.304	-0.042	0.470	0.160	0.139
361	198C	-2.412	0.694	-0.649	0.217	0.255	0.015
362	153C	-2.419	0.472	-0.072	-0.039	-0.041	-0.049
363	138H	-2.424	0.157	-0.555	0.152	0.038	0.073
364	56C	-2.432	1.216	-0.206	-0.118	0.139	-0.124
365	128H	-2.432	-0.123	-0.408	0.165	-0.158	-0.106
366	62C	-2.438	0.762	0.257	-0.162	0.068	0.212
367	178H	-2.439	-0.835	1.036	-0.095	-0.084	-0.124
368	34C	-2.454	0.328	-0.361	0.185	0.063	-0.043
369	71 H	-2.456	0.866	0.582	-0.016	-0.166	-0.049
370	196C	-2.459	0.847	-0.170	0.111	-0.092	-0.071

Tabla S4. Continúa.

N°	Comp. Scores	Componente 1	Componente 2	Componente 3	Componente 4	Componente 5	Componente 6
371	162C	-2.463	0.642	-0.138	0.082	-0.060	-0.029
372	94C	-2.467	0.238	-0.668	0.122	-0.003	-0.177
373	18C	-2.470	0.508	-0.011	-0.052	-0.227	-0.104
374	69C	-2.471	0.946	0.423	-0.021	-0.034	-0.050
375	147C	-2.473	-0.477	-0.649	0.072	0.219	0.120
376	105H	-2.501	0.022	-0.631	-0.139	-0.162	-0.045
377	69H	-2.507	0.818	0.354	-0.061	0.061	-0.034
378	142C	-2.515	-0.988	0.497	-0.072	-0.078	-0.007
379	186H	-2.520	0.748	0.356	0.122	-0.040	-0.010
380	102C	-2.520	-0.067	-0.986	0.167	-0.508	-0.064
381	186C	-2.522	0.615	0.137	0.051	-0.040	-0.059
382	173C	-2.529	-0.927	0.288	0.060	-0.082	-0.010
383	27C	-2.533	0.443	-0.496	0.121	0.187	-0.209
384	134C	-2.533	-0.452	0.011	0.344	0.120	0.127
385	34H	-2.534	0.345	-0.577	0.282	-0.217	0.061
386	122C	-2.537	0.576	-0.496	0.185	-0.056	0.057
387	84 C	-2.550	0.851	0.365	0.165	-0.072	0.150
388	123H	-2.600	0.170	-0.142	0.230	-0.187	0.250
389	47H	-2.622	1.165	-0.712	-0.128	-0.175	-0.015
390	169H	-2.643	-0.734	0.220	0.181	-0.051	0.162
391	92C	-2.649	-0.487	-1.083	0.232	0.130	0.044
392	160C	-2.656	-0.179	0.236	0.104	0.171	0.079
393	145C	-2.657	-3.632	0.579	0.059	-0.046	-0.026
394	212C	-2.662	0.925	0.150	-0.021	-0.050	-0.068
395	76 C	-2.675	1.083	0.392	0.101	0.053	-0.052
396	183H	-2.685	0.364	0.080	0.100	-0.025	0.128
397	124C	-2.712	0.923	-0.544	0.262	0.052	0.005
398	94H	-2.717	0.410	-0.414	0.126	0.177	-0.038
399	147H	-2.718	-2.468	0.709	-0.024	0.030	0.003
400	134H	-2.721	-0.443	0.050	0.346	0.109	0.035
401	95C	-2.721	-0.107	0.193	0.017	-0.066	-0.241
402	160H	-2.728	-0.396	0.342	-0.007	0.139	-0.068
403	11H	-2.768	-1.850	0.694	0.218	-0.168	0.068
404	92H	-2.769	-0.161	-0.696	-0.333	0.017	-0.028
405	179H	-2.783	-0.847	0.254	0.054	0.077	-0.061
406	194C	-2.801	0.185	-0.158	0.012	0.166	-0.127
407	131H	-2.816	-0.233	-0.413	-0.076	-0.092	0.027

Tabla S4. Continúa.

N°	Comp. Scores	Componente 1	Componente 2	Componente 3	Componente 4	Componente 5	Componente 6
408	201C	-2.819	0.170	-0.217	0.149	0.045	0.066
409	80C	-2.820	0.974	0.250	0.094	-0.100	-0.050
410	96H	-2.841	0.265	-0.233	0.151	0.645	0.151
411	187C	-2.875	0.505	0.005	0.139	-0.056	-0.079
412	76 H	-2.903	0.779	-0.414	0.220	0.112	-0.031
413	169C	-2.938	-1.260	0.128	0.184	0.054	0.147
414	202C	-2.942	-0.086	-0.142	-0.024	-0.010	-0.056
415	15H	-2.944	-0.082	0.080	0.116	-0.117	-0.074
416	47C	-2.960	1.290	-0.542	-0.078	-0.084	-0.071
417	179C	-2.969	0.051	0.031	0.021	0.143	-0.054
418	71 C	-2.974	0.928	0.199	-0.019	-0.029	-0.098
419	131C	-3.008	0.011	-0.409	-0.012	-0.044	-0.042
420	183C	-3.055	0.461	0.176	0.070	-0.005	-0.051
421	178C	-3.076	-0.057	-0.078	0.029	-0.033	-0.069
422	95H	-3.157	0.369	0.082	0.011	0.012	-0.094
423	11C	-3.193	-1.872	0.549	0.108	-0.080	-0.053
424	5C	-3.194	-1.826	0.522	-0.069	0.163	-0.136
425	206H	-3.259	0.051	-1.153	-0.175	-0.174	-0.093
426	15C	-3.386	-2.136	0.549	0.004	0.129	-0.112
427	142H	-3.394	-4.025	0.130	-0.045	0.204	-0.045
428	145H	-3.646	-3.859	0.413	-0.201	0.086	-0.301